

ผลของเบาะรองนั่งเพื่อลดแรงสั่นสะเทือนในพนักงานขับรอกติดตั้งตัวตอกเสาเข็มพีด
ระบบสั่นสะเทือน

THE EFFECTS OF SEAT CUSHION ON REDUCING VIBRATION
AMONG VIBRATORY HAMMER PILE DRIVERS

สุกาวดี บุญจง

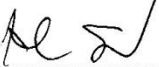
วิทยานิพนธ์นี้เป็นส่วนหนึ่งของการศึกษาตามหลักสูตรวิทยาศาสตร์มหาบัณฑิต
สาขาวิชาอาชีวอนามัยและความปลอดภัย
คณะสารสนเทศศาสตร์ มหาวิทยาลัยบูรพา
กรกฎาคม 2560
ลิขสิทธิ์เป็นของมหาวิทยาลัยบูรพา

คณะกรรมการความคุณวิทยานิพนธ์และคณะกรรมการสอบวิทยานิพนธ์ ได้พิจารณา
วิทยานิพนธ์ของ สุภาวดี บุญจะ ฉบับนี้แล้วเห็นสมควรรับเป็นส่วนหนึ่งของการศึกษา
ตามหลักสูตรวิทยาศาสตรมหาบัณฑิต สาขาวิชาอาชีวอนามัยและความปลอดภัย
คณะสารสนเทศศาสตร์ มหาวิทยาลัยบูรพาได้

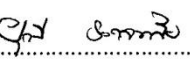
คณะกรรมการความคุณวิทยานิพนธ์

 อาจารย์ที่ปรึกษาหลัก
 (อาจารย์ ดร.พรพิพิพัฒ์ เย็นใจ)
 อาจารย์ที่ปรึกษาร่วม
 (ผู้ช่วยศาสตราจารย์ ดร.ปวีณา มีประดิษฐ์)

คณะกรรมการสอบวิทยานิพนธ์

 ประธานกรรมการ
 (รองศาสตราจารย์ ดร.นลินี ชิตกิติกิริย์)
 กรรมการ
 (อาจารย์ ดร.พรพิพิพัฒ์ เย็นใจ)
 กรรมการ
 (ผู้ช่วยศาสตราจารย์ ดร.ปวีณา มีประดิษฐ์)
 กรรมการ
 (ผู้ช่วยศาสตราจารย์ ดร.ทนงศักดิ์ อิงรัตนสุข)

คณะสารสนเทศศาสตร์ อนุมัติให้รับวิทยานิพนธ์ฉบับนี้เป็นส่วนหนึ่งของการศึกษา
ตามหลักสูตรวิทยาศาสตรมหาบัณฑิต สาขาวิชาอาชีวอนามัยและความปลอดภัย
ของคณะสารสนเทศศาสตร์ มหาวิทยาลัยบูรพา

 คณบดีคณะสารสนเทศศาสตร์
 (รองศาสตราจารย์ ดร.ยุทธิ์ รอดชากรกษ์)
 วันที่.....เดือน.....พ.ศ. 2560

งานวิจัยนี้ได้รับทุนอุดหนุนการวิจัยระดับบัณฑิตศึกษา
จากมหาวิทยาลัยบูรพา
ปีการศึกษา 2560

ประกาศคุณภาพ

วิทยานิพนธ์ฉบับนี้สำเร็จได้ด้วยความกรุณาจากอาจารย์ ดร.พรพิพิญ เย็นใจ อาจารย์ที่ปรึกษาวิทยานิพนธ์ ผู้ช่วยศาสตราจารย์ ดร.ปวีณา มีประดิษฐ์ อาจารย์ที่ปรึกษาร่วม ซึ่งได้ให้คำปรึกษาถ่ายทอดความรู้ ให้ข้อเสนอแนะ ติดตามปรับปรุงและแก้ไขวิทยานิพนธ์โดยตลอด ผู้วิจัยขอขอบพระคุณอย่างสูงมา ณ โอกาสนี้ ขอขอบพระคุณ รศ.ดร.เนลิมชัย ชัยกิตติกร ประธานกรรมการสอบวิทยานิพนธ์ และกรรมการสอบวิทยานิพนธ์ทุกท่าน ที่ให้ข้อเสนอแนะในการปรับแก้ไขวิทยานิพนธ์ให้สมบูรณ์ยิ่งขึ้น

ขอขอบพระคุณผู้ทรงคุณวุฒิทั้ง 3 ท่านที่กรุณาตรวจสอบเครื่องมือ ได้แก่ รศ.ดร.อนามัย เทศกะทึก อาจารย์ ดร.ธีรบุษ เสถิ่นยมศักดิ์ และ รศ.ดร.นันทพร กัทรพุทธและคณะกรรมการจริยธรรมทุกท่าน ที่ให้คำแนะนำ และช่วยเหลือแก้ไขข้อบกพร่องต่าง ๆ ที่เป็นประโยชน์ต่อการศึกษา นอกเหนือนี้ ยังได้รับความอนุเคราะห์จากท่านนายช่างวัญชัย แสนรุ่มเย็น ผู้จัดการโครงการก่อสร้างเชื่อมป้องกันคลื่นพังไนแม่น้ำป่าสักระยะที่ 1 นายช่างกัมปนาท ลิ่มสุชาติ นายช่างสัมภูติ สุนแดง นายช่างสิทธิชัย บุญพิทักษ์ และนายช่าง ศราวุฒ พุดสวัสดิ์ ในการเก็บรวบรวมข้อมูลที่ใช้ในการวิจัย ทำให้วิทยานิพนธ์ฉบับนี้สำเร็จได้ด้วยดี

ขอกราบขอบพระคุณ นายช่างมนต์ชัย ถิรสิริสิน ที่ให้ความอนุเคราะห์ สนับสนุนให้ได้ศึกษาเล่าเรียนในครั้งนี้ กราบขอบพระคุณนายช่างทวีศักดิ์ อุ่ยมดา拉ที่ได้ให้คำปรึกษา ข้อเสนอแนะให้วิทยานิพนธ์นี้สมบูรณ์ ขอบพระคุณบริษัท แสงไทยผลิตยาง จำกัด ที่กรุณาผลิตยางให้ในการศึกษาวิจัยในครั้งนี้

ขอกราบขอบพระคุณ คุณพ่อแสวง คุณแม่หนูเกต บุญจง คุณป้าหนูจีน ทองคำจันทร์ คุณลุงสมหวัง ทองคำจันทร์ ครอบครัว ญาติพี่น้อง เพื่อน ๆ พี่ ๆ ทุกท่านที่ให้ความสนับสนุน ให้กำลังใจแก้ข้าพเจ้าเสมอมาของคุณร้านส้มตำ ไก่ย่างวิเชรนุรี หัววัดตลาดล้อ หนองมน ชลบุรี ที่ทำให้มีแรงบันดาลใจในเดินทางมาศึกษาวิจัยในครั้งนี้

สุดท้ายนี้ ขอขอบคุณครอบครัว เพื่อน ๆ สาขาวิชาชีวอนามัยและความปลอดภัย รุ่น 6 รุ่น 7 มหาวิทยาลัยบูรพา และผู้เกี่ยวข้องทุกท่าน ที่ให้การสนับสนุน และให้กำลังใจในการศึกษา ครั้งนี้จนสำเร็จ

คุณค่าและประโยชน์ที่เกิดจากวิทยานิพนธ์นี้ ผู้ศึกษาขอขอบคุณที่เป็นเกตัญญู กตเวทิตา แด่ บุพการี คณาจารย์ และผู้มีพระคุณทุกท่านทั้งในอดีตและปัจจุบัน ที่ทำให้ข้าพเจ้าเป็นผู้มีการศึกษา และประสบความสำเร็จจนทุกวันนี้

สุภาวดี บุญจง

57920347: วท.ม. (อาชีวอนามัยและความปลอดภัย)

คำสำคัญ: เบาะรองนั่ง/ แรงสั่นสะเทือน/ การรับสัมผัสแรงสั่นสะเทือน/ พนักงานขับรถติดตัว

ตอกเสาเข็มพีดระบบสั่นสะเทือน

สุภาษี บุญจง: ผลงานเบาะรองนั่งเพื่อลดแรงสั่นสะเทือนในพนักงานขับรถติดตัว
ตอกเสาเข็มพีดระบบสั่นสะเทือน (THE EFFECTS OF SEAT CUSHION ON REDUCING
VIBRATION AMONG VIBRATORY HAMMER PILE DRIVERS).

คณะกรรมการควบคุมวิทยานิพนธ์: พรทิพย์ เช็นใจ, Ph.D.; ปวิณามีประดิษฐ์, Dr. Med., 83 หน้า.
ปี พ.ศ. 2560.

การวิจัยนี้มีวัตถุประสงค์เพื่อศึกษาผลของเบาะรองนั่งที่ทำจากยางธรรมชาติ ยางไนไตรล์ และยางบิวไทร์ประสานด้วยกาวยาง เพื่อลดแรงสั่นสะเทือน โดยรูปแบบการวิจัยแบบภาคตัดขวาง กัดเลือกกลุ่มตัวอย่างแบบเฉพาะเจาะจงจากพนักงานขับรถติดตัวตอกเสาเข็มพีดระบบสั่นสะเทือนของงานก่อสร้างที่นอนป้องกันตลิ่งพังแห่งหนึ่ง ในจังหวัดพระนครศรีอยุธยา กำหนดเกณฑ์คัดเข้าคือขับรถติดตัวตอกเสาเข็มระบบสั่นสะเทือนในช่วงระยะเวลาที่ทำการศึกษา ยินดีเข้าร่วมการวิจัย และไม่เป็นโรคประจำตัวที่เกี่ยวกับกล้ามเนื้อและกระดูก จำนวน 15 คน เครื่องมือที่ใช้ในการเก็บข้อมูล ได้แก่ แบบสอบถามข้อมูลทั่วไป แบบสอบถามความรู้สึกปวดบริเวณหลัง ส่วนล่างและเครื่องวัดแรงสั่นสะเทือน ผลการศึกษาพบว่ากลุ่มตัวอย่างมีอายุเฉลี่ย 43 ปี (± 10.62) น้ำหนักเฉลี่ย 68 กิโลกรัม (± 6.6) ในหนึ่งวันขับรถเฉลี่ย 8 ชั่วโมง ขับรถต่อเนื่องยาวนานที่สุดในหนึ่งวันเฉลี่ย 4.6 ชั่วโมง (± 1.18) ประสบการณ์ในการขับรถติดตัวตอกเสาเข็มพีด โดยเฉลี่ยคือ 15.87 ปี (± 9.87) ผลการประเมินการรับสัมผัสแรงสั่นสะเทือนพบว่าก่อนใช้เบาะรองนั่งกลุ่มตัวอย่างรับสัมผัสแรงสั่นสะเทือนเกินกว่าค่ามาตรฐาน ISO 2631-1,1997 (0.5 m/s^2) ร้อยละ 86.67 และหลังการใช้เบาะรองนั่งกลุ่มตัวอย่างรับสัมผัสแรงสั่นสะเทือนเกินกว่าค่ามาตรฐานร้อยละ 53.33 ผลประเมินอาการปวดหลังส่วนล่าง พบร่วมกันก่อนและหลังการใช้เบาะรองนั่งกลุ่มตัวอย่างที่มีอาการปวดหลัง ส่วนล่างระดับมาก ร้อยละ 53.33 มีอาการปวดหลังส่วนล่างปานกลาง ร้อยละ 46.67 และหลังการใช้เบาะรองนั่งกลุ่มตัวอย่างมีอาการปวดหลังส่วนล่างมาก ร้อยละ 13.33 และมีอาการปวดหลังส่วนล่างปานกลาง ร้อยละ 40 ผลการเปรียบเทียบแรงสั่นสะเทือนที่กลุ่มตัวอย่างรับสัมผัสก่อน-หลังการใช้เบาะรองนั่ง พบร่วมกันก่อนการใช้เบาะรองนั่ง แกน X เท่ากับ 0.124 m/s^2 แกน Y เท่ากับ 0.077 m/s^2 และแกน Z เท่ากับ 0.366 m/s^2 หลังใช้เบาะรองนั่งวัดแรงสั่นสะเทือนได้เท่ากับ 0.062 m/s^2 , 0.011 m/s^2 และ 0.282 m/s^2 ตามลำดับแตกต่างกันมีนัยสำคัญ P-value เท่ากับ 0.001 ผลเปรียบเทียบความแตกต่างของค่าเฉลี่ยของค่าความเร่งของแรงสั่นสะเทือนของแต่ละความถี่ ก่อนและหลัง

การใช้เบาะรองนั่งพบว่า มีความแตกต่างกันมีนัยสำคัญทางสถิติที่ระดับ 0.05 ที่ความถี่ 0.8 Hz, 25 Hz, 31.5 Hz, 40 Hz, 50 Hz ,80 Hz ค่า P-Value เท่ากับ 0.034, 0.001, 0.001, 0.001, 0.012, 0.041 ตามลำดับ กลุ่มตัวอย่างมีความพึงพอใจมากในการใช้เบาะรองนั่งมีค่าเฉลี่ยเท่ากับ 4.04 จากผลการศึกษาดังกล่าว เบาะรองนั่งที่ใช้สามารถลดแรงสั่นสะเทือนทั้งร่างกายในพนักงานกลุ่มตัวอย่าง โดยทำให้ความรู้สึกปวดบริเวณหลังส่วนล่างลดลง และมีความพึงพอใจในการใช้งานระดับมาก

57920347: M.Sc. (OCCUPATIONAL HEALTH AND SAFETY)

KEYWORDS: SEAT CUSHION/ VIBRATION/ EXPOSURE TO VIBRATION/ DRIVERS
OPERATING VIBRATORY HAMMER PILE VEHICLE.

SUPHAWADI BUNCHONG: THE EFFECTS OF SEAT CUSHION ON REDUCING
VIBRATION AMONG VIBRATORY HAMMER PILE DRIVERS.

ADVISOR COMMITTEE: PORNTHIP YENJAI, Ph.D.; PARVENA MEEPRAKIT, Dr.Med.,

83 P. 2017.

This study aims to study the effects of seat cushion made from natural rubber, nitrile rubber and butyl rubber attached by rubber glue on reducing vibration among drivers who have to operate the vehicles equipped with vibratory hammer pile. In this cross-sectional study, the selection criteria for the informants has specifically focused on the drivers who operate the vehicles equipped with vibratory hammer pile at one of the dike construction sites in Ayutthaya Province. 15 Informants have participated the study on voluntary basis. They do not have muscle and bone related illnesses. Data collection tools include the questionnaire on general information, questionnaire to assess the lower back pain and the vibration meter. The study has shown that the average age of the sample group is 43 years-old (± 10.62). The average weight is 68 kilograms (± 6.6). The average working hours of the driver is 8 hours per day, and the average duration they have to drive continuously in one day is 4.6 hours per day (± 1.18). Regarding experience in operating the vehicles equipped with vibratory hammer pile, the average period that the driver have been working is 15.87 years (± 9.87). The result of the vibration exposure assessment has indicated that before using the seat cushion, 86.67 % of the sample group has been exposed the vibration which exceed the standard recommended by ISO 2631-1,1997 (0.5 m/s^2). After using the seat cushion, the number of the informants who are still exposed to vibration which exceed the standard has been decreased by 53.33%. The result of the lower back pain assessment has shown that, before using the seat cushion, 53.33% has high level of the lower back pain symptom. 46.67% has medium level of the pain. After using the seat cushion, 13.33% has high level of the lower back pain symptom. 40% has medium level of the pain. The findings from the comparison of the vibration exposure before/after using the seat cushion has shown that before using the seat cushion, the X axis is 0.124 m/s^2 , the Y axis is 0.077 m/s^2 , the Z axis is 0.366 m/s^2 . After

using the seat cushion, the vibration scale has been changed to 0.062 m/s^2 , 0.011 m/s^2 and 0.282 m/s^2 respectively. The P-value is at 0.001. In terms of statistical significance, the comparison of the average scale of the vibration acceleration in each frequency before and after using the seat cushion has indicated that the statistical significance at 0.05 level of 0.8 Hz, 25 Hz, 31.5 Hz, 40 Hz, 50 Hz, 80 Hz frequencies. The P-Value is equivalent to 0.034, 0.001, 0.001, 0.001, 0.012, 0.041 respectively. The sample group has high satisfaction when using the seat cushion, the average scale is 4.04.

From the result of the study, the seat cushion can reduce the physical effects caused by vibration to the employees who are the sample group in this study. The lower back pain has been alleviated and they have high level of satisfaction when using the seat cushion.

สารบัญ

	หน้า
บทคัดย่อภาษาไทย	๑
บทคัดย่อภาษาอังกฤษ	๒
สารบัญ	๓
สารบัญตาราง	๔
สารบัญภาพ	๕
บทที่	
1 บทนำ	1
ความเป็นมาและความสำคัญของปัจจุบัน	1
วัตถุประสงค์ของการวิจัย	4
สมมติฐานของการวิจัย	4
กรอบแนวคิดในการวิจัย	5
ขอบเขตของการวิจัย	5
นิยามศัพท์เฉพาะ	6
2 เอกสารและงานวิจัยที่เกี่ยวข้อง	8
ขั้นตอนการก่อสร้างเพื่อนป้องกันตลอด	8
เครื่องจักรกลหนักและแรงสั่นสะเทือน	12
ผลกระทบต่อสุขภาพจากแรงสั่นสะเทือนทั้งร่างกาย	16
การประเมินแรงสั่นสะเทือนทั้งร่างกาย	18
การควบคุมแรงสั่นสะเทือนทั้งร่างกาย	22
การประเมินความรู้สึกปวดหลังส่วนล่าง	28
3 วิธีดำเนินการวิจัย	31
รูปแบบวิธีการวิจัย	31
ประชากรและกลุ่มตัวอย่าง	31
เครื่องมือที่ใช้ในการวิจัย	32
การตรวจสอบคุณภาพเครื่องมือ	39
การพิทักษ์สิทธิของกลุ่มตัวอย่าง	40
การเก็บรวบรวมข้อมูล	40

สารบัญ (ต่อ)

บทที่	หน้า
การวิเคราะห์ข้อมูล	42
4 ผลการวิจัย	43
ส่วนที่ 1 ข้อมูลทั่วไปของกลุ่มตัวอย่าง	43
ส่วนที่ 2 การประเมินและการเปรียบเทียบการรับสัมผัสแรงสั่นสะเทือน	45
ส่วนที่ 3 การประเมินและการเปรียบเทียบความรู้สึกปวดบริเวณหลังส่วนล่าง ระหว่างก่อนและหลังการใช้เบาะรองนั่ง	54
ส่วนที่ 4 ความพึงพอใจหลังการใช้เบาะรองนั่น	55
ส่วนที่ 5 ผลการเปรียบเทียบความรู้สึกปวดหลังส่วนล่าง	52
ส่วนที่ 6 ความพึงพอใจหลังการใช้เบาะรองนั่น	53
5 สรุป อภิปรายผล และข้อเสนอแนะ	57
สรุปผลการวิจัย	57
อภิปรายผลการวิจัย	59
ข้อเสนอแนะ	61
บรรณานุกรม	63
ภาคผนวก	69
ภาคผนวก ก	70
ภาคผนวก ข	72
ภาคผนวก ค	81
ประวัติย่อของผู้วิจัย	83

สารบัญตาราง

ตารางที่	หน้า
2-1 ค่าแนะนำ ค่าขีดจำกัดการรับสัมผัสแรงสั่นสะเทือนทั้งร่างกาย 8 ชม.การทำงาน.....	22
2-2 ชนิดวัสดุที่ช่วยลดความสั่นสะเทือน	24
4-1 ข้อมูลทั่วไปของกลุ่มตัวอย่าง	44
4-2 ค่าร้อยละของค่าความเร่งของแรงสั่นสะเทือนที่ลดหลังจากการใช้เบาะรองนั่ง	46
4-3 ค่าแรงสั่นสะเทือนที่กลุ่มตัวอย่างรับสัมผัสเทียบกับค่าแนะนำการเฝ้าระวังอันตราย ต่อสุขภาพ ISO 2631-1,1997	47
4-4 ค่าความเร่งของแรงสั่นสะเทือนที่กลุ่มตัวอย่างรับสัมผัส ก่อนและหลัง การใช้เบาะรองนั่ง	47
4-5 ผลการเปรียบเทียบ ความแตกต่างของค่าเฉลี่ยของค่าความเร่งของแรงสั่นสะเทือน ก่อนและหลังการใช้เบาะรองนั่ง	49
4-6 ผลการเปรียบเทียบความแตกต่างของค่าเฉลี่ยของค่าความเร่งของแรงสั่นสะเทือน ของแต่ละความถี่ ก่อนและหลังการใช้เบาะรองนั่น	50
4-7 ผลการประเมินความรู้สึกปวดหลังส่วนล่างก่อนการใช้เบาะรองนั่น	54
4-8 ผลการเปรียบเทียบความแตกต่างของคะแนนความรู้สึกปวดหลังส่วนล่างก่อน และหลังการใช้เบาะรองนั่น	55
4-9 ผลการศึกษาความพึงพอใจหลังการใช้เบาะรองนั่น	56

สารบัญภาพ

ภาพที่	หน้า
1-1 กรอบแนวคิดในการวิจัย	5
2-1 รถติดตัวตอกเสาเข็มระบบสั่นสะเทือน	10
2-2 รถขุด (Excavator)	13
2-3 เครื่องดึงระบบสั่นสะเทือน (Vibrator hammer)	14
2-4 รถติดเครื่องดึงตอกเสาเข็มระบบสั่นสะเทือน (Excavator vibratory pile hammer)	15
2-5 การตอกเสาเข็มระบบสั่นสะเทือน	15
2-6 ลักษณะการควบคุมรถติดตัวตอกเสาเข็มพีดระบบสั่นสะเทือน	15
2-7 ทิศทางเข้าสู่ร่างกายของแรงสั่นสะเทือน (ISO 2631/1, 1997)	19
2-8 กราฟแสดงค่าความสั่นสะเทือนที่อาจมีผลต่อสุขภาพ (ISO 2631/1, 1997)	21
2-9 เบาร่องนั่งเพื่อลดแรงสั่นสะเทือนทั้งร่างกาย	28
3-1 การประเมินความรู้สึกปวดของหลังส่วนล่างโดยการให้คะแนน	33
3-2 เครื่องมือวิเคราะห์ความสั่นสะเทือน (Vibration meter) ยี่ห้อ Quest technologies, Inc. รุ่น: VI-410SN :21729	35
3-3 ลักษณะการตรวจวัดแรงสั่นสะเทือนและตำแหน่งการวางเบาาร่องนั่ง	37
3-4 ภาพประกอบเบาะชั้นที่ 1 ด้วยยางธรรมชาติ	38
3-5 ภาพประกอบเบาะชั้นที่ 2 ด้วยยางไนโตรล์	38
3-6 ภาพประกอบเบาะชั้นที่ 3 ด้วยยางบิวไทรล์	39
3-7 การตรวจวัดค่าความเร่งของแรงสั่นสะเทือนก่อนการใช้เบาาร่องนั่ง	41
3-8 การตรวจวัดค่าความเร่งของแรงสั่นสะเทือนหลังการใช้เบาาร่องนั่ง	41
3-9 ภาพการสอบถามความรู้สึกปวดบริเวณหลังส่วนล่าง	42
4-1 ค่าความเร่งของแรงสั่นสะเทือนที่กลุ่มตัวอย่างรับสัมผัส ก่อนและหลังการใช้เบาาร่องนั่ง	45
4-2 ค่าความเร่งเฉลี่ยของแรงสั่นสะเทือนในแต่ละความถี่ ก่อนและหลังการใช้เบาาร่องนั่ง	49

บทที่ 1

บทนำ

ความเป็นมาและความสำคัญของปัจจุบัน

ปัจจุบันประเทศไทยการเจริญเติบโตทางด้านเศรษฐกิจเปลี่ยนเข้าสู่ระบบอุตสาหกรรมเกิดข่ายตัวทางด้านอุตสาหกรรมเพิ่มมากขึ้น ทำให้มีการสร้างสิ่งปลูกสร้างต่าง ๆ เพื่อรับภาคอุตสาหกรรมจากการพัฒนาดังกล่าว ทำให้มีการใช้แรงงานจำนวนมากในกิจการก่อสร้างส่งผลทำให้แรงงานในกิจการก่อสร้างประสบอันตรายและการเจ็บป่วยจากการทำงานมากเป็นอันดับหนึ่งตั้งแต่ปี พ.ศ. 2554-2558 เฉลี่ย 5 ปี มีจำนวนลูกจ้างกิจการก่อสร้าง ประสบอันตรายเฉลี่ย 8,637 รายต่อปี หรือร้อยละ 7.58 ต่อปี ของจำนวนการประสบอันตรายทั้งหมด (สำนักงานกองทุนเงินทดแทนสำนักงานประกันสังคม, 2559)

ในงานก่อสร้างนั้นการทำงานมีความจำเป็นในการใช้เครื่องมือเครื่องจักรกลหนักเป็นเครื่องทุ่นแรงแบบทุกหน่วยงาน เนื่องจากลดค่าใช้จ่ายด้านแรงงาน และเพื่อให้เป็นไปตามมาตรฐานของการก่อสร้างที่กำหนด ได้แก่ รคอนกรีต รดบุค รดเจาะ รดเครน รดบด รดดันคิน รดติดตั้งตัวตอกเสาเข็ม เป็นต้น ทำให้พนักงานที่ทำงานควบคุมเครื่องจักรกลหนักในกิจกรรมการก่อสร้างมีความเสี่ยงในการรับสัมผัสปัจจัยเสี่ยงด้านต่าง ๆ โดยเฉพาะอย่างยิ่งการควบคุมจักรกลหนัก เช่นรดแทรกเตอร์ รดบีบันจัน มีโอกาสในการรับสัมผัสแรงสั่นสะเทือนทั้งร่างกายที่เกิดจาก การปฏิบัติงานทำให้มีความเสี่ยงต่อสุขภาพอนามัยของพนักงานได้ (อนามัย ชีริวิโรจน์, 2556)

งานก่อสร้างเป็นป้องกันตั้งที่มีความสูงชันมาก นักก่อสร้างเป็นป้องกันตั้งชนิดแนวตั้ง (กรมชลประทาน, 2557) ด้วยเสาเข็มพื้ด เช่นแม่น้ำป่าสัก เป็นเส้นทางหลักในการขนส่งสินค้าเกษตรกรรมและอุตสาหกรรมทางน้ำ ปัจจุบันการจราจรในแม่น้ำมีความหนาแน่นคับคั่ง ทางเดินเรือแคบและตั้งพัง กระแทกกับวิถีชีวิตของชุมชนริมแม่น้ำ อาจทำให้บ้านเรือนและสิ่งปลูกสร้างริมแม่น้ำพังลง เกิดความเสียหายได้ จึงต้องแก้ปัจจัยทางน้ำ จากจุดเชื่อมต่อกับแม่น้ำเจ้าพระยาหน้าวัดพนัญเชิง อำเภอพระนครศรีอยุธยา ผ่านอำเภอกรุงเทพฯ ไปจนถึงอำเภอท่าเรือ จังหวัดพระนครศรีอยุธยา เพื่อพัฒนาการขนส่งทางลั่นน้ำ พัฒนาโครงสร้างพื้นฐาน เพิ่มศักยภาพในการขนส่งทางน้ำของประเทศไทย เชื่อมโยงภาคเหนือ ภาคตะวันออกเฉียงเหนือ กับแม่น้ำป่าสัก แม่น้ำเจ้าพระยา และชัยปั่งทะเล เนื่องจากการขนส่งด้วยทางน้ำประ hely ดกว่า การขนส่งทางถนน (กรมเจ้าท่า กระทรวงคมนาคม, 2558) งานเป็นป้องกันตั้ง ใช้เครื่องจักรกลหนักมากมายหลายประเภทในการก่อสร้าง

จากการสำรวจข้อมูลเบื้องต้น ในพนักงานที่ปฏิบัติงานควบคุมเครื่องจักรกลหนัก ในโครงการก่อสร้างแห่งหนึ่ง พบว่า พนักงานที่ควบคุมเครื่องจักรกลหนัก โดยมีระยะเวลาการปฏิบัติงาน 8 ชั่วโมงต่อวัน ทำงานสับปด้าห์ละ 6 วัน ลักษณะการปฏิบัติงานมีการนั่งควบคุมเครื่องจักรกลหนัก มีการส่งผ่านแรงสั่นสะเทือนจากเครื่องจักรผ่านจากที่นั่งเข้าสู่ร่างกายของผู้ปฏิบัติงาน ซึ่งเป็นแรงสั่นสะเทือนชนิดทั้งร่างกาย (Whole body vibration) ทำการตรวจวัดความสั่นสะเทือนเบื้องต้นพบว่ารถแทรคเตอร์ดินตะบาน (Bulldozer) รถบรรทุก รถบุ๊ค ค่าความเร่งเฉลี่ยอยู่ที่ 0.84 m/s^2 0.75 m/s^2 0.67 m/s^2 ตามลำดับ ทั้งนี้ประเภทที่ก่อให้เกิดแรงสั่นสะเทือนทั้งร่างกายที่ส่งผ่านมาสู่พนักงานควบคุมเครื่องจักรกลหนัก หากที่สุด คือ การขับรถติดตั้งตัวตอกเสาเข็มระบบสั่นสะเทือน มากถึง 1.41 m/s^2 ซึ่งแกน X มีค่าเฉลี่ยสูงกว่าแกน Z และแกน Y ตามลำดับ โดยแรงสั่นสะเทือนดังกล่าวเกินกว่าค่าแนะนำระดับแรงสั่นสะเทือนที่ต้องมีการดำเนินการสำรวจแรงสั่นสะเทือนทั้งร่างกายขององค์กรระหว่างประเทศว่าด้วยการมาตรฐานกำหนด 8 ชั่วโมงการทำงาน รับสัมผัสเกินกว่า 0.5 m/s^2 จะต้องเฝ้าระวังอันตรายจากแรงสั่นสะเทือนที่อาจมีอันตรายต่อสุขภาพ (ISO 2631/1, 1997)

เมื่อแยกความถี่จากการสำรวจข้อมูลเบื้องต้น พบว่า ช่วงความถี่ที่ค่าแรงสั่นสะเทือนดังกล่าวอยู่ในช่วง 1.6-315 เอิร์ต ซึ่งแรงสั่นสะเทือนในช่วงความถี่ 0.50-80 เอิร์ต ที่สัมผัสผ่านที่นั่ง马上ข้อความของร่างกาย อาจก่อให้เกิดผลกระทบต่อสุขภาพ เช่นกระดูกสันหลังส่วนล่างและระบบประสาท (ประมุขโอลิมปิก, 2555) การรับสัมผัสแรงสั่นสะเทือนอยู่ที่ช่วงความถี่ 0.1-20 เอิร์ต ทำให้เกิดอาการเรื้อรังแต่คลื่นไส้อาเจียน การมองเห็นบกพร่อง มือตราชารหายใจที่เรื้อรัง ตาพร่ามัว ชาปaley มือ ปลายเท้า ชี้พจรเด็นเรื้า ความดันโลหิตสูง อาจเกิดอาการมีนิ้งสับสน และเกิดอันตรายต่อระบบประสาท กล้ามเนื้อและกระดูกได้ (อนามัย ชีริวิโรจน์, 2556) สอดคล้องกับกุชช์ ทับทอง ที่กล่าวว่า การรับสัมผัสความสั่นสะเทือนที่ความถี่ต่ำระหว่าง 0.1-1.0 เอิร์ตตามแนวตั้ง อาจมีอาการอ่อนเพลีย มีนิ้ง คลื่นไส้อาเจียน และเบื่ออาหารหรือความสั่นสะเทือนที่ความถี่ 3-10 เอิร์ตซึ่งก็อาจมีอาการ มีนิ้งเนื่องจากปริมาณเลือดที่ไปเลี้ยงส่วนอื่นได้หรือลดลง และการรับสัมผัสแรงสั่นสะเทือนในช่วงความถี่สูงตั้งแต่ 10 เอิร์ตซึ่งไปเป็นระยะเวลานานก็อาจมีความเสี่ยงต่อความพิการของกระดูกสันหลัง (กุชช์ ทับทอง, 2554)

ผลการสำรวจเบื้องต้นเกี่ยวกับผลกระทบต่อสุขภาพของพนักงานควบคุมรถติดเครื่องตอกเสาเข็มระบบสั่นสะเทือนจำนวน 5 คน พบว่า มีความรู้สึกไม่สบายบริเวณบ่า/ไหล่ มีความรู้สึกไม่สบายบริเวณหลังส่วนล่าง ในจำนวน 4 คน และมีอาการหลังส่วนล่างในระดับปานกลางทั้ง 5 คน ซึ่งสอดคล้องกับการศึกษาที่ผ่านมา พบว่า การรับสัมผัสแรงสั่นสะเทือนทั้งร่างกาย กับผลกระทบที่ไม่พึงประสงค์ทางสุขภาพพบว่า มีความชุกต่อการปวดหลังส่วนล่างในพนักงานขับรถ

ส่งของรถไฟฟ้าได้ดี ที่รับสัมภัสสรงสั่นสะเทือนทึ่งร่างกาย (Olanrewaju et al., 2006) พนักงานควบคุมรถไฟฟ้าได้ดี ของการรถไฟฟ้าได้ดีในส่วนมวลชนแห่งเมืองนิวยอร์ก มีความชุกระดับสูงที่บริเวณหลังโดยเฉพาะหลังส่วนล่างที่พบว่าการรับสัมภัสสรงสั่นสะเทือนเกินมาตรฐาน ISO 2631 (Johanning et al., 1991) อาจทำให้เกิดการบาดเจ็บเกี่ยวกับกล้ามเนื้อและกระดูก และการศึกษาผลกระทบต่อสุขภาพของการสั่นสะเทือนทางกองบินว่า การรับสัมภัสสรงสั่นสะเทือนทึ่งร่างกายในระยะยาวมีความสัมพันธ์กับความเสี่ยงของความผิดของกระดูกสันหลังส่วนล่างและระบบประสาท (Bovenzi, 2005) รวมทั้งการศึกษาของอนุชิต เกตรวมที่ศึกษาพบว่า ขนาดของความสั่นสะเทือนที่เข้าสู่ร่างกาย มีความสัมพันธ์กับความรู้สึกปวดหลังส่วนล่างของพนักงานควบคุมเครื่องจักรกลหนักในเหมืองหิน (อนุชิต เกตรวม, 2545) และการศึกษาของ Carel ที่ทบทวนศึกษาด้านระบบประสาท ของแรงสั่นสะเทือนทึ่งร่างกายและการปวดหลังส่วนล่าง สรุปว่าการรับสัมภัสสรงสั่นสะเทือนทึ่งร่างกายระยะยาวเป็นอันตรายต่อระบบประสาทไปสันหลัง (Carel et al., 1987)

การลดการรับสัมภัสสรงสั่นสะเทือนทึ่งร่างกายจากการปฏิบัติงานเพื่อป้องกันผลกระทบที่เกิดขึ้นกับสุขภาพอนามัยของพนักงานนั้น ที่ผ่านมา มีผู้ศึกษาไว้หลากหลายวิธี เช่น การออกแบบและสร้างตัวคุณชับการสั่นสะเทือนแบบปรับค่าได้ ให้ความถี่ธรรมชาติของตัวคุณชับการสั่นสะเทือนเท่ากับความถี่ธรรมชาติของระบบหลักหรือแหล่งกำเนิดจะเกิดการหักดิ่งกันทำให้ตัวคุณชับสามารถลดแรงสั่นสะเทือนได้ (สุรัตน์ ปัญญาแก้ว, 2557) หรือ การลดการสั่นสะเทือนแรงสั่นสะเทือนที่ส่งมาซึ่งผู้ปฏิบัติงานเมื่อกระทบกับอุปกรณ์ลดการสั่นทำให้อุปกรณ์สั่นสะเทือนแทนทำให้แรงสั่นสะเทือนที่มาจากการแหล่งกำเนิดลดลง เป็นการควบคุมที่ทางผ่านให้ความถี่ของโครงสร้างอุปกรณ์ลดแรงสั่นสะเทือนตรงความถี่ธรรมชาติ เนื่องจากแรงสั่นสะเทือนที่มากระทำต่ออุปกรณ์มีพิษทางตรงกันข้ามแรงสั่นสะเทือนที่มาจากการแหล่งกำเนิด (สมนึก พงษ์สิน, 2548)

การควบคุมการส่งผ่านแรงสั่นสะเทือนจากแหล่งกำเนิดมาสู่ตัวคนมีหลักการ โดยตัวคุณชับการสั่นสะเทือน (Vibration absorber) การควบคุมการสั่นสะเทือนทำโดยการลดการส่งผ่านการสั่นสะเทือนทึ่งจากแหล่งกำเนิดการสั่นสะเทือนไปยังส่วนอื่น ๆ ซึ่งหนึ่งในวิธีการก็คือ การใช้วัสดุคุณชับลดแรงสั่นสะเทือนโดยแรงสั่นสะเทือนที่กลุ่มตัวอย่างรับสัมภัส อยู่ที่ 1.6 Hz - 315 Hz ใน การศึกษาคุณสมบัติของวัสดุที่ใช้ลดแรงสั่นสะเทือน พบร่วมกับ ยางคลอโรฟิลิน นิยมใช้ผลิตเป็นยางกันกระแทก ยางบิวไทร์ที่มีค่าการกระเด้งกระดอน(Rebound resilience) ที่อุณหภูมิห้องต่ำ (พงษ์ธาร แซ่อุย, 2547) สามารถลดแรงสั่นสะเทือนได้(ศุนย์วิจัยและพัฒนาอุตสาหกรรมยางไทย, 2558) ยางธรรมชาติลดที่ความถี่ไม่เกิน 12 Hz (Farrat., 2016) และ การศึกษาของอุมาเรนทร์ เตมีย์ พบว่า วัสดุที่ทำจากยางสังเคราะห์สามารถประยุกต์เป็นวัสดุลดการส่งผ่านแรงสั่นสะเทือนจากเครื่องจักรได้ (อุมาเรนทร์ เตมีย์, 2552) Hz จึงได้เลือกยางในไตรล็อกที่ช่วงความถี่ 3-40 Hz

(ศุภัชนันท์ รักพงษ์, 2558) บางบัวไทย 25-250 Hz และมยูรี หน่อพัฒน์ที่ออกแบบเบาะรองนั่งด้านในที่จาก โพริเมอร์เทน มีสปริงเหล็กอยู่ตรงกลางบุด้วย vinyl upholstery พบร้าเบาะรองนั่งสามารถลดความสั่นสะเทือนจากเครื่องจักรสู่คนขับรถบรรทุกหนักได้ (มยูรีหน่อพัฒน์, 2547) และจาก การศึกษาประสิทธิผลของอุปกรณ์ลดแรงสั่นสะเทือนที่เท้าในพนักงานแพนกี้เบิร์กผู้ของโรงงานแห่งหนึ่งในจังหวัดชลบุรี ของศุภัชนันท์ รักพงษ์ พบร้าอุปกรณ์ลดแรงสั่นสะเทือนที่เท้าจากการใช้วัสดุจากยางกันสะเทือน รังผึ้งโพลีไพรพลีน อิลาส โടเมอร์ (โพมยาง) สามารถลดแรงสั่นสะเทือนที่เท้าได้ที่ความถี่ 31.5 Hz และ 40 Hz (ศุภัชนันท์ รักพงษ์, 2558)

จากข้อมูลต่าง ๆ ดังที่กล่าวมา พบร้า พนักงานขับรถติดตั้งตัวตอกเสาเข็มพื้นระบบสั่นสะเทือน มีค่าแรงสั่นสะเทือนเกินกว่าค่ามาตรฐานการเฝ้าระวังด้านสุขภาพ และมีอาการหลังส่วนล่าง อีกทั้งยังไม่เคยมีการศึกษาวิจัยที่ลดค่าความสั่นสะเทือนของงานก่อสร้างนี้ ผู้วิจัยจึงสนใจที่จะศึกษาผลของการรองนั่งเพื่อลดแรงสั่นสะเทือนในพนักงานขับรถติดตั้งตัวตอกเสาเข็มพื้นระบบสั่นสะเทือน ของงานก่อสร้างเป็นป้องกันตั้ง ในจังหวัดพระนครศรีอยุธยาการวิจัยในครั้งนี้เลือกวิธี ควบคุมการส่งผ่านแรงสั่นสะเทือนจากแหล่งกำเนิดมาสู่ตัวคน โดยใช้วัสดุคือ ยางบัวไทย ยางไนไตรด์ ยางธรรมชาติ มาประกบกันด้วยวัสดุประสาน

วัตถุประสงค์ของการวิจัย

1. เพื่อศึกษาความเร่งของแรงสั่นสะเทือนในการขับรถติดตั้งตัวตอกเสาเข็มพื้นระบบสั่นสะเทือน ก่อนและหลังการใช้เบาะรองนั่งเพื่อลดแรงสั่นสะเทือน
2. เพื่อเปรียบเทียบค่าความเร่งของแรงสั่นสะเทือนในการขับรถติดตั้งตัวตอกเสาเข็มพื้นระบบสั่นสะเทือน ก่อนและหลังการใช้เบาะรองนั่ง
3. เพื่อศึกษาความรู้สึกปวดหลังส่วนล่างก่อนและหลังการใช้เบาะรองนั่ง
4. เพื่อเปรียบเทียบความรู้สึกปวดหลังส่วนล่างก่อนก่อนและหลังการใช้เบาะรองนั่ง
5. เพื่อวัดความพึงพอใจหลังใช้เบาะรองนั่ง

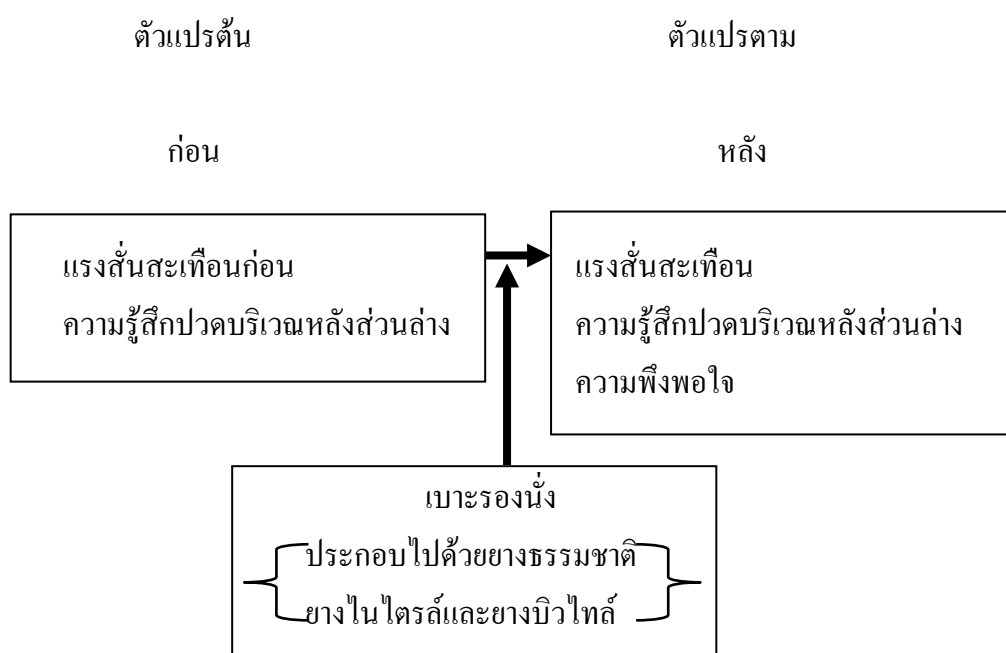
สมมติฐานของการวิจัย

1. ค่าความเร่งของแรงสั่นสะเทือนในการขับรถติดตั้งตัวตอกเสาเข็มพื้นระบบสั่นสะเทือน มีค่าลดลงหลังจากใช้เบาะรองนั่ง
2. ความรู้สึกปวดหลังส่วนล่าง มีค่าลดลงหลังการใช้เบาะรองนั่ง
3. พนักงานขับรถติดตั้งตัวตอกเสาเข็มพื้นระบบสั่นสะเทือนที่ใช้เบาะรองนั่งแล้วมีความพึงพอใจในระดับมาก

กรอบแนวคิดในการวิจัย

จากการทบทวนวรรณกรรมและงานวิจัยที่เกี่ยวข้อง กรอบแนวคิดในการวิจัย ผลของเบาะร่องนั้งทำจากยางธรรมชาติ ยางในไตรล์ และยางบิวไทร์ประسانด้วยกาวยาง เพื่อลดการลดแรงสั่นสะเทือนในพนักงานที่ปฏิบัติงานขับรถติดตั้งตัวตอกเสาเข็มพีดระบบสั่นสะเทือน ในบริษัทก่อสร้างแห่งหนึ่งในจังหวัดพระนครศรีอยุธยา สามารถลดชินบายได้

ดังรูปภาพที่ 1-1



ภาพที่ 1-1 กรอบแนวคิดในการวิจัย

ขอบเขตของการวิจัย

งานวิจัยนี้เป็นงานวิจัยกึ่งทดลอง มีการวัดผลก่อนและหลังการทดลอง (Pretest and posttest quasi experimental design) ประชากรที่ใช้ในงานวิจัยครั้งนี้ เป็นพนักงานขับรถติดตั้งตัวตอกเสาเข็มพีดระบบสั่นสะเทือน ในงานก่อสร้างเขื่อนป้องกันตลิ่ง ในจังหวัดพระนครศรีอยุธยา จำนวน 15 คน กลุ่มตัวอย่างที่ใช้ในการวิจัย พนักงานขับรถติดตั้งตัวตอกเสาเข็มพีดระบบสั่นสะเทือน ในงานก่อสร้างเขื่อนป้องกันตลิ่ง ในจังหวัดพระนครศรีอยุธยา

นิยามศัพท์เฉพาะ

ผล หมายถึง ผลการศึกษาที่เป็นไปตามวัตถุประสงค์ของการศึกษาวิจัยที่ตั้งไว้ คือ การใช้ เบาร่องนั่งในการขับรถติดตั้งตัวตอกเสานี้มีพัฒนาระบบสั่นสะเทือนสามารถลดแรงสั่นสะเทือน (ความเร่งของแรงสั่นสะเทือน) ลดความรู้สึกปวดบริเวณหลังส่วนล่าง และมีความพึงพอใจระดับมาก

เบาร่องนั่ง คือ เบาร่องนั่งที่ใช้วัสดุจากยางธรรมชาติ ยางในไตร์ ยางบิวไทร์ (พงษ์ชร แซ่ อุย, 2547) สามารถดูดซับแรงสั่นสะเทือน (ศูนย์วิจัยและพัฒนาอุตสาหกรรมยางไทย, 2558) ประกอบกับด้วยวัสดุประสาน ติดตั้งบนเบาร่องนั่ง เพื่อช่วยลดแรงสั่นสะเทือนที่ส่งผ่านบริเวณที่นั่ง ยางธรรมชาติลดที่ความถี่ไม่เกิน 12 Hz (Farrat., 2016) ยางในไตร์ลดที่ช่วงความถี่ 3 -40 Hz (ศุภัทชันน์ รักพงษ์, 2558) ยางบิวไทร์ 25- 250 Hz (TDL., 2016)

รถติดตั้งตัวตอกเสานี้มีพัฒนาระบบสั่นสะเทือน หมายถึง รถติดตั้งตัวตอกเสานี้มีพัฒนาระบบสั่นสะเทือน ในงานก่อสร้างเขื่อนป้องกันคลื่นแห่งหนึ่งในจังหวัดพระนครศรีอยุธยา

พนักงานขับรถติดตั้งตัวตอกเสานี้มีพัฒนาระบบสั่นสะเทือน หมายถึง พนักงานที่นั่ง ควบคุม รถติดตั้งตัวตอกเสานี้มีพัฒนาระบบสั่นสะเทือน

แรงสั่นสะเทือน หมายถึง ค่าความเร่งของแรงสั่นสะเทือนทั้งร่างกาย จากการวัดบริเวณที่นั่งขณะควบคุมรถติดตั้งตัวตอกเสานี้มีพัฒนาตามแนวแกน X Y และ Z โดยคำนวณค่าความเร่งเฉลี่ยจากการใช้เครื่องวัดแรงสั่นสะเทือนและประเมินผลตามมาตรฐานของ ISO 2631-1: 1997 มีหน่วย เป็น เมตร/วินาที²

ความรู้สึกปวดหลังส่วนล่าง หมายถึง ความรู้สึกปวดกล้ามเนื้อและกระดูกบริเวณกระดูก บริเวณหลังส่วนล่าง ที่เกิดจากการขับรถติดตั้งตัวตอกเสานี้มีพัฒนา โดยใช้แบบสอบถามที่ประยุกต์มา จากแบบสอบถามอาการปวดกล้ามเนื้อและกระดูกนอร์ดิกเฉพาะหลังส่วนล่าง (Nordic Musculoskeletal Questionnaire: NMQ) (Kuorinka et al., 1987) ประยุกต์ประเมินผลร่วมกับแบบประเมินวัดระดับความรุนแรงของการปวดคือ Visual Analogue Scale (VAS) (Crichton, 2011) ซึ่ง บ่งระดับอาการผิดปกติของมาเป็นตัวเลขเป็นคะแนนตั้งแต่ 0-10 คะแนน จากการสอบถามจากกลุ่ม ตัวอย่าง และแปลผลอาการปวดหลังส่วนล่างออกเป็น 5 ระดับตั้งแต่ไม่มีอาการปวด มีอาการปวดเล็กน้อย ปวดปานกลาง ปวดมาก จนถึงปวดรุนแรง (Wewers & Lowe, 1990)

ความพึงพอใจ หมายถึง ความรู้สึกพอใจ หลังใช้เบาร่องนั่งเพื่อลดแรงสั่นสะเทือน ได้แก่ ใช้สะดวก ไม่ขัดขวางการปฏิบัติงานปกติของพนักงานรถติดตั้งตัวตอกเสานี้มีพัฒนา วัดจาก แบบสอบถามความพึงพอใจหลังการใช้เบาร่องนั่ง ประยุกต์มาจากศุภัทชันน์ รักพงษ์ ประเมินผล 5 ระดับ คือ มากที่สุด มาก ปานกลาง น้อย น้อยที่สุด (ศุภัทชันน์ รักพงษ์, 2558)

1-5 คะแนน โดยแปลผลคะแนนแบบสอบถามความพึงพอใจเป็นแบบมาตราส่วนประมาณค่า (Rating scale) 5 ระดับ ตามเทคนิคของลิเกอร์ท (Likert) (บุญชุม ศรีสะอาด, 2545)

บทที่ 2

เอกสาร และงานวิจัยที่เกี่ยวข้อง

งานวิจัยนี้เป็นงานวิจัยแบบก่อนหลัง (Pretest and posttest quasi-experimental research) เพื่อศึกษาผลของเบาะรองนั่งเพื่อลดแรงสั่นสะเทือน ในพนักงานที่ปฏิบัติงานขับรถติดตั้งตัวตอกเสาเข็มพีดระบบสั่นสะเทือน ของงานก่อสร้างแห่งหนึ่งในจังหวัดพระนครศรีอยุธยา เพื่อศึกษาอาการส่วนล่างของพนักงานปฏิบัติงานขับรถติดตั้งตัวตอกเสาเข็มพีดระบบสั่นสะเทือน ดังมีหัวข้อที่จะศึกษาดังต่อไปนี้

1. ขั้นตอนการก่อสร้างเขื่อนป้องกันคลื่นพัง
2. เครื่องจักรกลหนักและแรงสั่นสะเทือน
3. ผลกระทบต่อสุขภาพจากแรงสั่นสะเทือนทั้งร่างกาย
4. การประเมินแรงสั่นสะเทือนทั้งร่างกาย
5. การควบคุมแรงสั่นสะเทือนทั้งร่างกาย
6. การประเมินความรู้สึกปวดบริเวณหลังส่วนล่าง

ขั้นตอนการก่อสร้างเขื่อนป้องกันคลื่นพัง

1. งานสำรวจ ตรวจสอบความถูกต้องของคำพิกัด ค่าระดับสร้างหมุดหลักฐานเพิ่มเติม เพื่อใช้ในการก่อสร้างเขื่อนป้องกันคลื่นพังแต่ละบริเวณที่กำหนดให้สร้าง โดยโดยคำพิกัด/ ระดับจากหมุดหลักฐานของหน่วยงานกรมเจ้าท่า กระทรวงคมนาคม สร้างอย่างน้อย 2 หมุดต่อ 1 บริเวณ พื้นที่ก่อสร้างเขื่อน สำรวจพื้นที่ก่อสร้าง โดยสำรวจสภาพภูมิประเทศ ความลึกพื้นท้องน้ำบริเวณพื้นที่ก่อสร้าง ครอบคลุมพื้นที่บนฝั่ง ระยะ 50 เมตร และความลึกพื้นท้องน้ำ ตลอดแนวการก่อสร้าง ทั้งหมด

2. งานเขื่อนป้องกันคลื่นพัง จัดหาวัสดุที่มีคุณสมบัติและขนาดตามแบบและรายการ กำหนด เตรียมพื้นที่ก่อสร้าง อุปกรณ์และเครื่องจักรที่ใช้ในการขนส่ง การบุดตัก การถอน และวิธีการก่อสร้างเขื่อนป้องกันคลื่น

2.1 งานเตรียมพื้นที่ได้แก่ การถางปา การตัดต้นไม้ พุ่มไทร วัชพืช วัตถุอื่น ๆ ที่ไม่พึงประสงค์ต่องานก่อสร้างออกให้หมด จากพื้นที่ที่จำเป็นเพื่อการปฏิบัติงานก่อสร้าง บุดตอกไม้รากไม้ วัชพืช เศษหญ้าที่ฝังลงดิน ขนขาย ทำลายเศษพืชและวัสดุที่เกิดจากการก่อสร้าง จากพื้นที่ที่จำเป็น เพื่อการปฏิบัติงานก่อสร้าง กระทำใบบริเวณที่จะก่อสร้างตัวเขื่อน หรือฐานราก

ของตัวเขื่อนป้องกันคลื่นพัง ตามวิธีที่ถูกต้องตามกฎหมายด้านสิ่งแวดล้อมจากหน่วยงานที่ได้รับอนุญาตในท้องถิน

2.2 การขุดและขันข้ายานคิด ขุดและขันข้ายานออกจากการบริเวณต่าง ๆ และต้องป้องกันวัสดุที่อยู่นอกขอบเขตแนวการขุดให้อยู่ในสภาพดี และใช้เครื่องจักรสำหรับงานดินบุกที่ใช้คือรถบุก (Backhoe) ให้มีความลาดชันด้านล่างการขุด $1:1.5$ และปรับแต่งลาดด้านข้างให้เรียบร้อย ตรวจสอบความลาดชันของคลื่นเดิม ว่าสามารถทำการขุดตัดรูปแบบใด จึงจะมีความเหมาะสมและปลอดภัย เพื่อที่จะปฏิบัติงานในขั้นต่อไป จัดเตรียมระบบระบายน้ำบริเวณก่อสร้าง ตลอดระยะเวลาในการก่อสร้างเพื่อไม่ให้เกิดความเสียหายหรืออุบัติเหตุเนื่องจากน้ำ

2.3 การคำยันชั่วคราว ใน การ ก่อ สร้าง กระทำ เพื่อ ป้อง กัน การ เกลื่อน ตัว ของ โครงสร้าง เขื่อน ขณะ ดำเนิน การ ก่อ สร้าง ประกอบ ด้วย รายการ คำนวณ ที่ รับ รอง ตาม หลัก ข้อ บังคับ วิศวกร

3. วิธีการก่อสร้างเขื่อน

วิธีการก่อสร้างเขื่อน จะแสดงถึง วิธีการ ขั้นตอนการก่อสร้าง รวมเครื่องจักร ที่ใช้ก่อสร้าง โครงสร้าง เขื่อน ป้อง กัน คลื่น พัง ตั้งแต่เริ่มต้นจนก่อสร้างแล้วเสร็จ ดังต่อไปนี้

3.1 กำหนดแนวแก้ก่อสร้างเขื่อนป้องกันคลื่น

3.2 ถางป่าขุดตอกจากขอบคลื่นแนวเขตก่อสร้างบนผิว

3.3 ตอกเสาเหล็กเข็มพีล (Steel sheet pile) เพื่อทำหน้าที่เป็นคำยันชั่วคราวให้ห่างจากแนวเขตก่อสร้าง ประมาณ $6-15$ เมตร (เนื่องจากการคำนวณสามารถคำยันได้ตามหลักวิศวกรรม และไม่เกิดขวางแก่การเดินเรือในพื้นที่ ก่อสร้าง)

3.4 ขุดดินตามดินปรับระดับพื้นก่อสร้างและถมดินบริเวณคำยันชั่วคราว ในขั้นตอนนี้ใช้เครื่องจักรกลหนักคือ รถบุก และรถบรรทุก

3.5 ตอกเสาเข็มพีลเหล็ก (Steel sheet pile) โดยใช้ เครื่องจักรระบบสั่นสะเทือน (Excavator vibratory pile hammer)



ภาพที่ 2-1 รถติดตัวตอกเสาเข็มพีดระบบสั่นสะเทือน

การตอกเสาเข็ม จะต้องวางแผนและปักหมุดแสดงตำแหน่งที่จะตอกเสาเข็มให้เสร็จเรียบร้อย จึงทำการตอกได้ตามขั้นตอนและวิธีดำเนินงานที่กำหนด

3.5.1 การตอกเสาเข็มพีด

3.5.1.1 การขัดวางตำแหน่ง จะต้องขัดวางตำแหน่งของเสาเข็มพีดให้ถูกต้องตามที่กำหนดไว้ในแบบและต้องตอกให้ได้แนวเดียว สำหรับเสาเข็มพีดเหล็กจะต้องยึดเกาะกับแผ่นข้างเคียงตลอดความยาวประกอบกันเป็นพีดตลอดแนว ในการทำงานจะต้องบุกร่องนำ หรือทำร่องช่วยให้เสาเข็มพีดอยู่ในแนวที่ถูกต้อง

3.5.1.2 เสาเข็มพีดเหล็กทุกแผ่นจะต้องตอกลงไปจนถึงระดับที่กำหนด และส่วนบนของเสาเข็มพีดจะต้องอยู่ในระดับตามที่กำหนดไว้ในแบบด้วย

3.5.1.3 เครื่องมือ ที่ใช้ในการตอกเสาเข็มพีดขึ้นอยู่กับลักษณะงานและปริมาณงานประกอบด้วยเครื่องมือต่อไปนี้

- (1) Hydraulic vibrator hammer
- (2) Diesel hammer, impact hammer
- (3) Vibratory hammer
- (4) Drop hammer
- (5) อื่น ๆ

ในงานวิจัยนี้ศึกษาในงานตอกเสาเข็มพีดโดยเครื่องตอกเสาแบบสั่นสะเทือน โดยระบบไฮดรอลิก (Hydraulic vibrator hammer)

3.5.1.4 การตอกจะต้องใช้วิธีการตอกโดยไม่ก่อให้เกิดการเสียหายต่อเสาเข็มพีด และต้องให้เสาเข็มพีดยึดเกาะกันตลอดทั้งแผ่นในการตอกเสาเข็มพีดแต่ละแผ่นจะต้องตอกให้ต่อเนื่องจนถึงระดับที่กำหนดโดยไม่มีการหยุด

3.5.1.5 ก่อนทำการตอกเสาเข็มพีด ต้องเสนอ วิธีการตอก รายละเอียดเครื่องบังคับ และเครื่องป้องกันหัวเสาเข็มพีด เพื่อป้องกันการนิ่กขาดหรือเสียหายต่อผู้ควบคุมงานของผู้ว่าจ้างและหรือคณะกรรมการตรวจสอบการข้า้ง

3.5.1.6 ในขณะตอกเสาเข็มพีดเกิดมีการเสียหายหรือตอกไม่ถูกแนวหรือไม่ได้ดัง จะต้องถอนออก และตอกใหม่ให้ถูกต้อง

3.5.1.7 เสาเข็มพีดที่ลอยตัวเคลื่อนกลับขึ้นมาจะต้องตอกกลับลงไปใหม่ เช่น การตอกเสาเข็มบริเวณดินเหนียว หรือดินตะกอน (Silt) คือ ดินจำพวกที่น้ำในดินระบายนอกได้ช้า เมื่อเสาเข็มแท่นที่ดินทำให้แรงดันของน้ำในดิน (Pore water pressure) เพิ่มขึ้น ทำให้มีกำลังดันเสาเข็มให้ลอยขึ้นมา ถ้าภายหลังการตอกเสาเข็มเมื่อตรวจสอบระดับแล้วพบว่าเสาเข็มมีการลอยตัวให้ทำการตอกซ้ำลงจนถึงระดับเดิม (กรมชลประทาน, 2552)

3.6 ก่อสร้างเสาเข็มดินซีเมนต์ (Soil cement column) ดังขั้นตอนต่อไปนี้

3.6.1 Drilling

3.6.2 Injecting grout

3.6.3 Mixing via rotating rod

3.6.4 Lifting to form a column

3.6.5 Completion

3.7 ติดตั้งอุปกรณ์ตรวจวัดการเคลื่อนตัวของเข็ม (Inclinometer)

3.8 ก่อสร้างร่างระบบนำ้และท่อระบบนำ้ตามแบบก่อสร้าง

3.9 ก่อสร้างถนนทางเท้า ตามแบบก่อสร้าง

3.9.1 ชั้นทรายรองพื้น (Compacted sand subbase)

3.9.2 ชั้นผิวทางแอสฟัลท์ (Asphaltic concrete)

3.10 ขุดลอกดินด้านในร่องนำ้โดยใช้ ปีบบรรทุกรถ (Back hole barge) และ ปีบบรรทุก (Tug barge) เพื่อบรรทุกดิน เมื่อปีบบรรทุกวัสดุขุดออกเต็ม ทำการตักวัสดุขุดออกขึ้นจากปีบบรรทุกโดยใช้รถตักไส่รถบรรทุก แล้วขนย้ายไปยังพื้นที่กองเก็บ

3.11 ขุดลอกดินบนหน้าเขื่อนหลังแนวคำยันชั่วคราว โดยใช้รถ (Back hole) ตักไส่รถบรรทุก ขนย้ายไปยังพื้นที่กองเก็บ หลังจากนั้นจึงทำการรื้อถอนคำยันชั่วคราวออก

3.12 บุดปรับระดับและความลาดเอียงหน้าเขื่อน ปูพื้นด้วยแผ่นไบสังเคราะห์ (Geotextile) แล้ววางกล่องลวดตาข่ายที่บรรจุหิน

3.13 ติดตั้งรางกันตกและบันได

เครื่องจักรกลหนักและแรงสั่นสะเทือน

1. เครื่องจักรกลหนัก หมายถึง เครื่องจักรหรืออุปกรณ์ขนาดใหญ่ที่ใช้ในอุตสาหกรรมการก่อสร้าง (Cambridge dictionary online, 1999) มีรอบหมุนเร็วเกิน 1,000 รอบต่อนาที โดยเครื่องมือกลหนักพกพาชนิดนี้มักใช้น้ำมันดีเซลเป็นเชื้อเพลิงในการทำงาน(ห้างหุ้นส่วนจีทีอาร์ ชัพพลาย, 2557) วัตถุประสงค์การใช้งาน เพื่อใช้บังคับความคุณการทำงานของ ให้ทำกิจกรรมตามขั้นตอนที่กำหนดให้ประสบความสำเร็จตามวัตถุประสงค์ของแผนงานการก่อสร้าง (เมฆา สุวรรณสาร, 2013) เช่น รถเกรน รถ รถดันดิน รถแทรกรถอร์ เป็นต้น โดยผู้ที่มีหน้าที่รับผิดชอบขับรถติดตั้งตัวตอก เสาเข็มพีดระบบสั่นสะเทือน ดังกล่าว คือ พนักงานที่ได้รับมอบหมายของแต่ละหน่วยงาน ให้ควบคุมเครื่องจักรกลแต่ละประเภทตามแต่ความรู้ ความสามารถ ทักษะความเชี่ยวชาญ ในงานนั้น ๆ กระบวนการการก่อสร้างเขื่อนป้องกันคลื่นพัง ดังกล่าว ใช้เครื่องจักรกลหนัก คือ รถบุกดัก (Excavator) รถบรรทุก (Truck) แทรกรถอร์ตันตะขاب (Bulldozer) รถติดตั้งตัวตอกเสาเข็มพีดระบบสั่นสะเทือน (Excavator vibratory pile hammer) โดยผู้ควบคุมเครื่องจักรแต่ละประเภทของงานก่อสร้างเขื่อน ป้องกันคลื่นพัง ปฏิบัติงาน 8 ชั่วโมงต่อวัน ทำงานลับปิดห้าละ 6 วัน มีหน้าที่และลักษณะงาน ดังนี้

1.1 ผู้ควบคุมรถบุกดัก (Excavator) จะทำหน้าที่ บุกดักวัตถุที่ไม่พึงประสงค์ต่องาน ก่อสร้างออกจากพื้นที่ก่อสร้าง ในช่วงการเตรียมพื้นที่ และบุดขนข้ายอดินออกจากบริเวณต่าง ๆ ผู้ควบคุมรถบรรทุก (Truck) จะทำหน้าที่บนขัยวัตถุที่ไม่พึงประสงค์ต่องานก่อสร้างออกจากพื้นที่ ก่อสร้าง ในช่วงการเตรียมพื้นที่ ก่อนก่อสร้าง ระหว่างการก่อสร้าง และหลังการก่อสร้าง รวมไปถึง การขนวัสดุอุปกรณ์ในการก่อสร้าง โดยเฉพาะการขนดินลงบริเวณหลังเขื่อนเพื่อเตรียมพื้นที่ สำหรับการก่อสร้าง โครงสร้างเขื่อน

1.2 ผู้ควบคุมรถแทรกรถอร์ตันตะขاب (Bulldozer) จะทำหน้าที่ดันดินลง เพื่อปรับ พื้นที่การก่อสร้างให้เป็นไปตามรูปแบบที่ต้องการ

1.3 ผู้ควบคุมรถติดตั้งตัวตอกเสาเข็มพีดระบบสั่นสะเทือน (Excavator vibratory pile hammer) ทำหน้าที่ ตอกเสาเข็มพีดเหล็ก ตามแนวที่กำหนด

1.3.1 รถติดตั้งเครื่องเสาเข็มพีดระบบสั่นสะเทือน (Excavator vibratory pile hammer)

1.3.1.1 รถบุคตัก (Excavator)

รถบุคตักเป็นเครื่องจักรกล ที่ทำหน้าที่ในการเคลื่อนย้ายวัสดุซึ่งสามารถทำการบุคดและตักได้โดยเคลื่อนย้าย โดยทั่วไปจะมีแขนยื่นบุ้งกี๊หรือที่จับออกไประบุคดและตัก และจะหมุนส่วนบนของตัวรถไปยังตำแหน่งที่ต้องการ แล้วก็จะเทวัสดุออกจากบุ้งกี๊ ส่วนด้านล่างของตัวรถที่สัมผัสกับพื้นจะไม่เคลื่อนย้ายสำหรับการทำงานและวางจักรบุคตัก

1.3.1.1.1 องค์ประกอบและอุปกรณ์ที่สำคัญที่ส่วนที่สำคัญ 3 ส่วน (สำนักเครื่องกลและสื่อสาร กรมทางหลวง, 2554) คือ

- (1) ส่วนบนหรือส่วนที่หมุน (Revolving superstructure) ซึ่งจะประกอบด้วยเครื่องยนต์ดันกำลัง ส่วนของระบบล้อหอดกำลัง ระบบควบคุมการทำงานของอุปกรณ์และห้องพนักงานขับเคลื่อน ซึ่งสามารถหมุนรอบตัวได้ 360 องศา โดยอาศัยมอเตอร์สวิง
- (2) ส่วนที่สองกี๊คือส่วนที่รองรับส่วนที่หมุนของชุดแท่นหมุน โดยมีลูกล้อเล็ก ๆ รองรับส่วนที่ใช้ในการเคลื่อนที่ (Mounting or travel unit) เป็นตีนตะขาบ (Crawler mounting) ประกอบด้วยชุดเครื่องล่างต่างๆ เช่น ล้อนำ เพรมแท็ค โซ่และไบแทร็ค เป็นต้น มีมอเตอร์ตัวเดินทำหน้าที่ในการขับเคลื่อนเดินหน้า-ถอยหลัง

- (3) ส่วนที่สามกี๊คือส่วนที่ทำงานบุคตักซึ่งติดตั้งเข้ากับส่วนบนหรือส่วนที่หมุน (Attachment) โดยทั่วไปก็จะประกอบด้วยแขน แขนต่อ และบุ้งกี๊ และชุดระบบอกไทรคลอติกทำงานบังคับทิศทางและตำแหน่งการบุคดของบุ้งกี๊ตามที่ต้องการ



ภาพที่ 2-2 รถบุค (Excavator)

1.3.1.2 เครื่องตอกเสาเข็ม (Vibrator hammer)

เครื่องตอกเสาเข็มที่ผลิตตามมาตรฐานเครื่องมือก่อสร้างระหว่างประเทศ (International construction equipment) หน่วยความถี่ต่ำของเครื่องตอก ดังต่อไปนี้ มาตรฐานเครื่องตอกเสาเข็มระบบสั่นสะเทือน (Standard vibratory hammer) ความถี่ในการสั่นสะเทือนอยู่ที่ 1600 vpm (Vibrations per minute)

เครื่องตอกเสาเข็มความถี่ต่ำ (Low frequency/ Light weight hammer) ความถี่ในการสั่นสะเทือนอยู่ที่ 1200 vpm (Vibrations per minute)

เครื่องตอกเสาเข็มความถี่ต่ำ (High frequency vibratory hammer) ความถี่ในการสั่นสะเทือนอยู่ที่ 2300 vpm (Vibrations per minute)

การเลือกใช้ตามลักษณะช่วงความสั่นสะเทือนที่ต้องการตามชนิดของงาน ความถี่ต่ำดันทุนจะต่ำ (International Construction Equipment, 2016)



ภาพที่ 2-3 เครื่องตอกรอบบสั่นสะเทือน (Vibrator hammer)

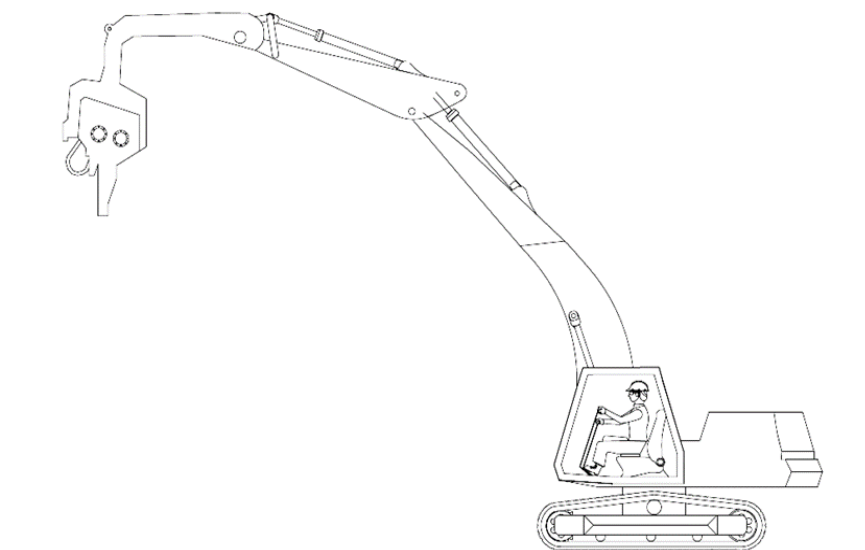
1.3.1.3 รถติดเครื่องตอกเสาเข็มพีดระบบสั่นสะเทือน (Excavator vibratory pile hammer) เป็นการต่อเชื่อมระบบไฮดรอลิคร่วงห่วงความสั่นสะเทือนความถี่สูงกับรถขุด ที่สามารถทำได้ทั้งกดและถอน มีระดับมลพิษทางเสียงลดลงและมีน้ำหนักเบา มีทั้งแบบความถี่สูง และความถี่ต่ำ (Hammersteel, 2008) จึงเป็นเครื่องจักรที่นิยมใช้ในการก่อสร้างระบบป้องกันดิน



ภาพที่ 2-4 รถติดเครื่องตอกเสาเข็มพีดระบบสั่นสะเทือน (Excavator vibratory pile hammer)



ภาพที่ 2-5 การตอกเสาเข็มพีดระบบสั่นสะเทือน



ภาพที่ 2-6 ลักษณะการควบคุมรถติดตัวตอกเสาเข็มพีดระบบสั่นสะเทือน

2. แรงสั่นสะเทือนทั้งร่างกาย (Whole body vibration) เกิดจากพลังงานที่ถูกส่งมาจากพื้นหรือโครงสร้างของวัสดุ มาบังบริเวณรับสัมผัสระหว่างโครงสร้างวัสดุหรือพื้นและร่างกายเข้าสู่ร่างกายผ่านไปยังอวัยวะทุกส่วนทั้งร่างกาย เช่น แรงสั่นสะเทือนที่นั่งขับรถบรรทุก รถปืนจั่น รถบุดรถบุดหน้าตักหลัง รถดันดิน เป็นต้น ส่วนมากแรงสั่นสะเทือนมักจะอยู่ในช่วง 0.1-20 เอิร์ต (อนามัย ธีรวิโรจน์, 2556) และในการศึกษาการรับสัมผัสแรงสั่นสะเทือนทั้งร่างกายของ Tammy Eger, Alison Godwin ตรวจวัดแรงสั่นสะเทือนพบว่า รถบรรทุกในเมือง (Haul truck) ค่าความเร่งเฉลี่ยอยู่ที่ 1.2 m/s^2 รถแทรกเตอร์ตีนตะขาบ(Bulldozer) ค่าความเร่งเฉลี่ยอยู่ที่ 1.64 m/s^2 รถบรรทุก (Damper) ค่าความเร่งเฉลี่ยอยู่ที่ 1.1 m/s^2 (Tammy Eger, Alison Godwin, 2014)

จากการสำรวจข้อมูลเบื้องต้น ในพนักงานที่ปฏิบัติงานควบคุมเครื่องจักรกลหนัก ในโครงการก่อสร้างแห่งหนึ่ง พบว่า พนักงานที่ควบคุมเครื่องจักรกลหนักโดยมีระยะเวลาการปฏิบัติงาน 8 ชั่วโมงต่อวัน ทำงานสัปดาห์ละ 6 วัน ลักษณะการปฏิบัติงานมีการนั่งควบคุมเครื่องจักรกลหนัก มีการสั่นผ่านแรงสั่นสะเทือนจากเครื่องจักรผ่านจากที่นั่งเข้าสู่ร่างกายของผู้ปฏิบัติงาน ซึ่งเป็นแรงสั่นสะเทือนชนิดทั้งร่างกาย (Whole body vibration) ทำการตรวจวัดความสั่นสะเทือนเบื้องต้นพบว่ารถแทรกเตอร์ตีนตะขาบ (Bulldozer) รถบรรทุก รถบุด ค่าความเร่งเฉลี่ยอยู่ที่ 0.84 m/s^2 0.75 m/s^2 0.67 m/s^2 ตามลำดับ ทั้งนี้ประเภทที่ก่อให้เกิดแรงสั่นสะเทือนทั้งร่างกายที่สั่นผ่านมาสู่พนักงานควบคุมเครื่องจักรกลหนัก มากที่สุด คือ การขับรถติดตั้งตัวตอกเสา ที่มีระบบสั่นสะเทือนมากถึง 1.41 m/s^2 ซึ่งแกน X มีค่าเฉลี่ยสูงกว่าแกน Z และแกน Y ตามลำดับ โดยแรงสั่นสะเทือนดังกล่าวเกินกว่าค่าแนะนำระดับแรงสั่นสะเทือนที่ต้องมีการดำเนินการสำหรับแรงสั่นสะเทือนทั้งร่างกายขององค์กรระหว่างประเทศฯ คือการมาตรฐานกำหนด 8 ชั่วโมงการทำงาน รับสัมผัสเกินกว่า 0.5 m/s^2 จะต้องเฝ้าระวังอันตรายจากแรงสั่นสะเทือนที่อาจมีอันตรายต่อสุขภาพ (ISO 2631/1, 1997)

ผลกระทบต่อสุขภาพจากแรงสั่นสะเทือนทั้งร่างกาย

แรงสั่นสะเทือนทั้งร่างกายในอุตสาหกรรมก่อสร้างนั้นส่วนใหญ่มาจากการควบคุมเครื่องจักรกลหนัก แม้ว่าการใช้เครื่องจักรกลหนักจะช่วยลดการรับสัมผัสด้วยความเสี่ยงด้านการยกกระตุ้นแก่พนักงาน แต่ในทางเดียวกันการใช้เครื่องมือเครื่องจักรกลหนักนั้นก็ช่วยเพิ่มความเสี่ยงของการรับสัมผัสแรงสั่นสะเทือน และหากรับสัมผัสซ้ำซาก ก็จะส่งผลกระทบต่อระบบการไหลเวียนของหลอดเลือด นำไปสู่ปัญหาสุขภาพและการบาดเจ็บของร่างกาย (Sign hit, 2559) แรงสั่นสะเทือนทั้งร่างกายจะส่งผลความผิดปกติหลายระบบ ขึ้นกับขนาดหรือความรุนแรง ความถี่ทิศทางการรับสัมผัส และระยะเวลาที่พนักงานที่รับสัมผัส (Tammy Eger, Alison Godwin, 2014)

ในขณะเดียวกันหากความถี่ที่เกิดขึ้นตรงกับความถี่ธรรมชาติของระบบทางกลใด ๆ จะเกิดปรากฏการณ์ ความถี่พ้อง (Resonance) จะทำให้เกิดการสั่นสะเทือนอย่างรุนแรง แม้ว่าจะมีแรงกระทำเล็กน้อย (จกร จันทร์ลักษณ์, 2545) ทำให้พนักงานผู้ควบคุมรับสัมผัสสั่นคลื่นความต่อสุขภาพหลายอย่างด้วยกัน โดยเฉพาะอย่างยิ่งการรับสัมผัสแรงสั่นสะเทือนทั้งร่างกาย อาจส่งผลให้เกิดผลกระทบต่อสุขภาพ เช่น การรับสัมผัสแรงสั่นสะเทือนอยู่ที่ช่วงความถี่ 0.1-20 เฮิรต ทำให้เกิดอาการเรื้อรังแต่ คลื่นไส้อาเจียน การมองเห็นบกพร่อง มีอัตราการหายใจที่เร็วขึ้น ตาพร่ามัว ชา ปลายมือ ปลายเท้า ซึ่งจะเรื้อรัง ความดันโลหิตสูง อาจเกิดอาการมีนงสับสน และเกิดอันตรายต่อระบบประสาท กล้ามเนื้อและกระดูกได้ (อนามัย ธีรวิโรจน์, 2556) เช่นเดียวกับกับกุชชงค์ ทับทองในปี พ.ศ. 2554 ที่กล่าวว่า การรับสัมผัสด้วยความสั่นสะเทือนที่ความถี่ต่ำระหว่าง 0.1-1.0 เฮิรตตามแนวตั้งอาจมีอาการอ่อนเพลีย มีนง คลื่นไส้อาเจียน และเบื่ออาหารหรือความสั่นสะเทือนที่ความถี่ 3-10 เฮิรต ก็อาจมีอาการ มีนงเนื่องจากปริมาณเลือดที่ไปเลี้ยงส่วนอื่นได้หรือลดลง และความสั่นสะเทือนในช่วงความถี่ 0.50-80 เฮิรต ที่สัมผัสผ่านที่นั่งมายังอวัยวะของร่างกาย อาจก่อให้เกิดผลกระทบต่อสุขภาพ เช่นกระดูกสันหลังส่วนล่างและระบบประสาท (ประมุข โอดิศิริ, 2555) ช่วงความถี่สูงตั้งแต่ 10 เฮิรตขึ้นไปเป็นระยะเวลานานก็อาจมีความเสี่ยงต่อความพิการของกระดูกสันหลัง (กุชชงค์ ทับทอง, 2554)

เมื่อสำรวจข้อมูลเบื้องต้นของพนักงานควบคุมรถเครื่องจักรกลหนัก จำนวน 5 คน ในงานเขื่อนปั้งกันตั้ง พบว่ามีความรู้สึกไม่สบายที่บ่า/ไหล่ มีความรู้สึกไม่สบายที่หลังด้านบน ในจำนวน 4 คน และมีอาการอาการหลังส่วนล่างในระดับปานกลางทั้ง 5 คน เมื่อ ทบทวนการศึกษาที่ผ่านมา พบว่า การรับสัมผัสแรงสั่นสะเทือนทั้งร่างกาย กับผลกระทบที่ไม่เพียงประสงค์ทางสุขภาพ พบว่ามีความชุกต่อการปวดหลังส่วนล่างในพนักงานขับรถส่งของรถไฟฟ้าได้ดี ที่รับสัมผัสแรงสั่นสะเทือนทั้งร่างกาย (Olanrewaju et al., 2006) พนักงานควบคุมรถไฟได้ดี ของการรถไฟได้ดีในส่วนส่งมวลชนแห่งเมืองนิวยอร์ก มีความชุกระดับสูงที่บริเวณหลังโดยเฉพาะหลังส่วนล่างที่พบว่าการรับสัมผัสแรงสั่นสะเทือนสูงเมื่อเทียบกับมาตรฐาน ISO 2631 และมาตรฐาน VDI 2057 (Johanning et al., 1991) จึงทำให้เกิดการบาดเจ็บเกี่ยวกับกล้ามเนื้อและกระดูกจากการวัดบนที่นั่งของพนักงานควบคุมรถได้ดี และการศึกษาผลกระทบต่อสุขภาพของการสั่นสะเทือนทางกลพบว่า การรับสัมผัสแรงสั่นสะเทือนทั้งร่างกายในระยะยาวมีความสัมพันธ์กับความเสี่ยงของความพิດของกระดูกสันหลังส่วนล่างและระบบประสาท (Bovenzi, 2005) รวมทั้งการศึกษาของอนุชิต ที่ศึกษาพบว่าขนาดของความสั่นสะเทือนที่เข้าสู่ร่างกาย มีความสัมพันธ์กับอาการปวดหลังส่วนล่างของพนักงานควบคุมเครื่องจักรกลหนักในเมืองหิน (อนุชิต เกตุรวม, 2545) และการศึกษาของ Carel (1997) ที่สรุปว่าการรับสัมผัสแรงสั่นสะเทือนทั้งร่างกายระยะยาวเป็นอันตรายต่อระบบประสาท

ไขสันหลัง

จากข้อมูลข้างต้นที่กล่าวถึงผลกระทบต่อสุขภาพจากแรงสั่นสะเทือนทั้งร่างกาย สามารถสรุปได้ว่า พนักงานขับรถติดตั้งตัวตลอดเวลาเข้มพื้นระบบสั่นสะเทือน ที่รับสัมผัสแรงสั่นสะเทือนทั้งร่างกาย อาจมีความเกิดอาการปวดหลังส่วนล่างและมีปัญหาต่อสุขภาพในระยะยาว เพื่อความปลอดภัยในการปฏิบัติงาน จึงจำเป็นต้องศึกษาผลของการรองนั่งทั้งร่างกาย เพื่อลดการรับสัมผัสแรงสั่นสะเทือนทั้งร่างกาย และความรู้สึกปวดหลังส่วนล่างในพนักงานขับรถติดตั้งตัวตลอดเวลาเข้มพื้นระบบสั่นสะเทือน ดังกล่าว

การประเมินแรงสั่นสะเทือนทั้งร่างกาย

1. พารามิเตอร์ที่เกี่ยวข้องกับความสั่นสะเทือน

1.1 ความถี่ของการสั่นสะเทือน หมายถึง จำนวนรอบของการสั่นสะเทือนต่อหน่วยเวลา ซึ่งหน่วยที่นิยมใช้จะเป็น Cycle Per Minutes (CPM)

1.2 ขนาดของการสั่นสะเทือน โดยทั่วไปแล้วหากขนาดของการสั่นสะเทือนมีขนาดใหญ่ย่อมหมายถึงเครื่องจักรเริ่มมีปัญหา โดยพารามิเตอร์หลักที่นิยมใช้ได้แก่

1.2.1 การกระจัดหรือระยะเคลื่อนที่ (Displacement) คือ ระยะการเคลื่อนที่ของมวลจากจุดสมดุล ใช้เมื่อมีความถี่ต่ำ

1.2.2 ความเร็ว (Velocity) คือ ความเร็วของการเคลื่อนที่กลับไปกลับมาของมวล มักใช้ในการสำรวจเบื้องต้น

1.2.3 ความเร่ง (Acceleration) คือ อัตราการเปลี่ยนแปลงความเร็วของมวลในขณะที่เคลื่อนที่กลับไปกลับมา ใช้เมื่อความสั่นสะเทือนมีความถี่สูง

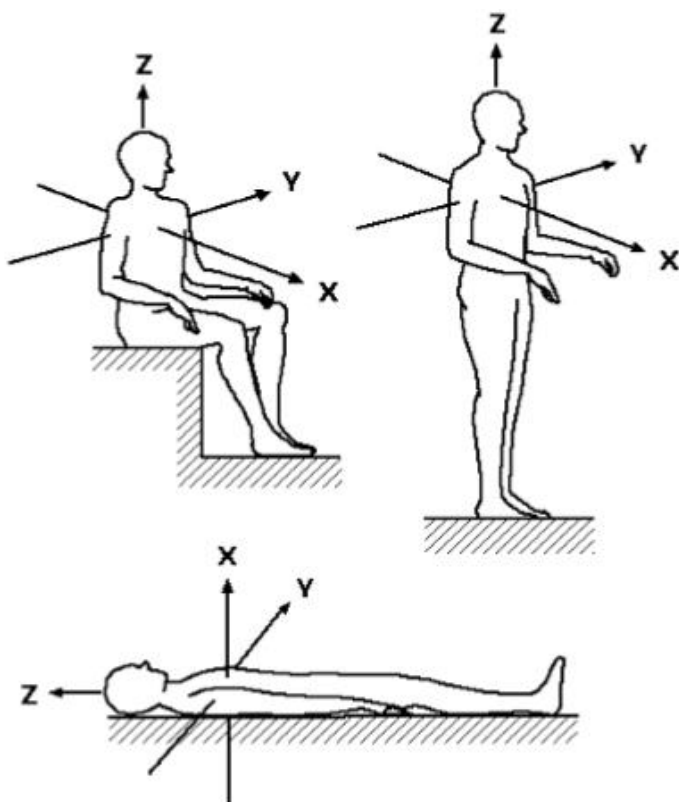
1.2.4 มุมไฟฟ์ จะเป็นค่าความแตกต่างของตำแหน่งชิ้นส่วนที่มีการสั่นสะเทือนชิ้นหนึ่งเมื่อเทียบกับชุดอ้างอิงหรือชิ้นส่วนที่มีการสั่นสะเทือนอีกชิ้นหนึ่ง มุมไฟฟ์มีหน่วยเป็นองศา ใช้เป็นข้อมูลเพิ่มเติมที่ใช้ประกอบการวิเคราะห์สัญญาณการสั่นสะเทือนบนโอดเมนความถี่ ทำให้สามารถบ่งบอกลักษณะความเสี่ยงหายได้ชัดเจนขึ้น

2. ปัจจัยที่เกี่ยวข้องกับการประเมินแรงสั่นสะเทือนทั้งร่างกาย

2.1 การติดตั้งหัววัด ติดตั้งอยู่ระหว่างแหล่งกำเนิดความสั่นสะเทือนกับร่างกายของผู้ปฏิบัติงาน คือติดตั้งหัววัดที่บนที่นั่งของเก้าอี้

2.2 ทิศทางการวัด วัดในทิศทางเดียวกันกับแรงสั่นสะเทือนที่เกิดขึ้น ติดตั้งหัววัดตามแนวแกน x, y และ z ยอดให้เบี่ยงเบนได้ 15 องศา ติดตั้งหัววัดเพื่อวัดความสั่นสะเทือนตามแนวแกนอื่นที่เหลือ (x, y) การติดหัววัดตามลักษณะนูนที่ตั้งจากกันทั้งสามแกน

แรงสั่นสะเทือนทั้งร่างกายคือการสั่นทางกลศาสตร์ที่ส่งผ่านเข้าสู่ร่างกายมนุษย์ มีทิศทางการเข้าสู่ร่างกายของ แรงสั่นสะเทือนสามารถเข้าได้ 3 ทิศทาง คือ แนวแกน X แกน Y และ แกน Z โดยผ่านพื้นผิวสัมผัสที่เป็นของแข็ง กล่าวคือ หากอยู่ในท่าขึ้นแรงสั่นสะเทือนจะเข้าสู่ร่างกายที่บริเวณเท้า ท่านั่งจะเข้าสู่ร่างกายบริเวณก้น หรือหากอยู่ในท่านอนก็ส่งผ่านบริเวณที่สัมผัส ในช่วงความถี่ที่ 1 ถึง 8 เอิร์ต วัด 3 แนวแกนตั้งจากกันพร้อมกัน ตามระบบพิกัด ชีวกลศาสตร์ (ISO 2631, 1977) ดังภาพ



ภาพที่ 2-7 ทิศทางเข้าสู่ร่างกายของแรงสั่นสะเทือน (ISO 2631/1, 1997)

2.3 ระยะเวลาในการวัด ต้องมีระยะเวลานานพอที่การวัดจะได้ค่าที่เที่ยงตรงตามหลักสถิติ เพราะงานแต่ละอย่างอาจมีลักษณะงานที่แตกต่างกันไป ซึ่งอาจจะต้องมีการวิเคราะห์งานเพิ่มเติม ถ้าต้องการวัดให้ได้ค่าที่แตกต่างกันไม่เกิน 3 เดซิเบล ที่ระดับความเชื่อมั่นร้อยละ 90 ต้องวัดความสั่นสะเทือนในเวลาที่ไม่น้อยกว่า 108 วินาที สำหรับความถี่ที่ไม่ต่ำกว่า 1 เอิร์ตซ์ และวัดไม่น้อยกว่า 227 วินาที สำหรับความถี่ที่ไม่ต่ำกว่า 0.5 เอิร์ตซ์

3. การประเมินค่าแรงสั่นสะเทือนทั้งร่างกายที่มีผลต่อสุขภาพผู้ปฏิบัติงาน

แรงสั่นสะเทือนที่มีผลต่อสุขภาพจะมีความถี่ในช่วง 0.5 ถึง 80 เฮิรตซ์ ต้องปรับค่าความสั่นสะเทือนที่ถ่วงน้ำหนักตามความถี่ แบ่งความถี่แบบ 1/3 ของแอนด์แคม์บาร์ (One-third-octave band frequencies) แรงสั่นสะเทือนทั้งร่างกายที่เคลื่อนที่ผ่านไปทั่วบริเวณจุดสัมผัสที่นั่งกับเบาะทำถ้าความเร่งที่เกิดในแนวแกนมากกว่าสองแนวแกนมีค่าใกล้เคียงกัน ให้ทำการรวมผลของเวกเตอร์ ให้นำค่าที่วัดความสั่นสะเทือนได้จากแต่ละแกน x, y และ z ไปคำนวณแยกกันในแต่ละแกน นำค่าสูงสุดไปเทียบกับค่ามาตรฐานทำงานนาน 8 ชั่วโมง ถ้าทำงานกับเครื่องจักรแต่ละชนิดก่อน แล้วจึงไปเปรียบเทียบกับค่ามาตรฐาน สำหรับการถ่วงน้ำหนักตามความถี่ที่ใช้กับผู้ปฏิบัติงานในท่านั่ง ใช้ค่าแฟกเตอร์ตัวคูณดังนี้ คือ

แนวแกน x : สำหรับ W_d ค่า $k = 1.4$

แนวแกน y : สำหรับ W_d ค่า $k = 1.4$

แนวแกน z : สำหรับ W_k ค่า $k = 1$

ดังนั้นสามารถค่าแรงสั่นสะเทือนที่ปรับค่าถ่วงน้ำหนักตามความถี่ได้จากสมการ (1)

$$a_w = \left[\sum_i (W_i a_i)^2 \right]^{\frac{1}{2}} \quad \dots\dots\dots \quad (1)$$

a_w = เป็นความเร่งที่ถ่วงค่าน้ำหนักตามความถี่ มีหน่วยเป็น เมตรต่อวินาที²

w_i = เป็นค่าแฟกเตอร์ถ่วงน้ำหนักที่ชั้น i ของความถี่ของ one-third octave band

a_i = เป็นค่ารากที่สองของค่าเฉลี่ยความเร่งที่ชั้น i ของความถี่ของ one-third octave band มีหน่วยเป็น เมตรต่อวินาที²

กรณีแรงสั่นสะเทือนที่มาจากการทิศทางที่มากกว่าหนึ่งแนวแกนให้คำนวณรวมแกน ซึ่งค่ารวมแรงสั่นสะเทือนที่มากกว่าหนึ่งแนวแกนที่ตั้งฉากกันตาม Orthogonal coordinates สามารถคำนวณได้จากสมการ (2) ดังต่อไปนี้

$$a_v = \left(k_x^2 a_{wx}^2 + k_y^2 a_{wy}^2 + k_z^2 a_{wz}^2 \right)^{\frac{1}{2}} \quad \dots\dots\dots \quad (2)$$

a_v = เป็นค่าแรงสั่นสะเทือนรวม (ความเร่ง)

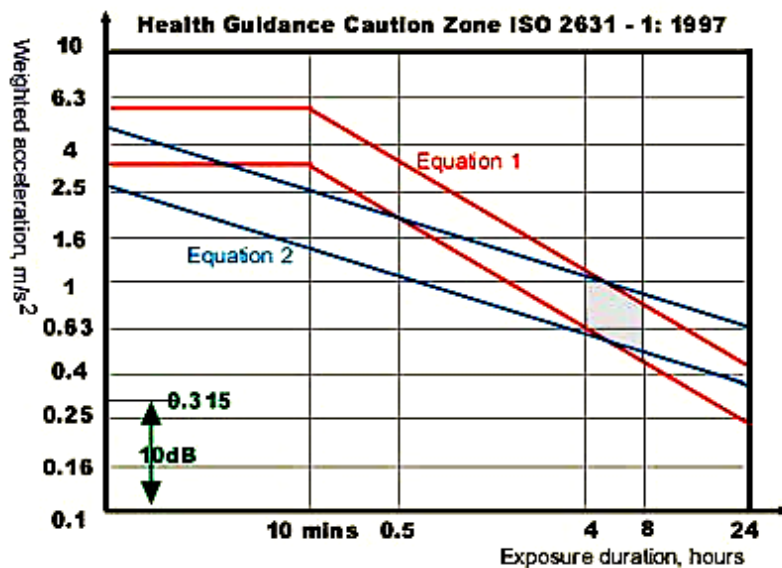
a_{wx}, a_{wy}, a_{wz} = เป็นค่ารากที่สองของค่าเฉลี่ยความเร่ง ตามแนวแกน x, y และ z ตามลำดับ

k_x, k_y, k_z = เป็นแฟกเตอร์ตัวคูณ ที่ระบุไว้ในผลกรอบต่อสุขภาพด้านต่าง ๆ

คำนวณหาค่า RMS (ค่ารากเฉลี่ยกำลังสอง) เคลื่อนทั้งหมดของความเร่ง (Aw_i) โดยสมการ (3) ต่อไปนี้

$$(Aw_i) = ((1.4Aw_x)^2 + (1.4Aw_y)^2 + (Aw_z)^2)^{1/2} \dots\dots\dots (3)$$

ค่า RMS (ค่ารากเฉลี่ยกำลังสอง) เคลื่อนทั้งหมดของความเร่ง (Aw_i) หรือค่าแรงสั่นสะเทือนที่วัดได้นี้นำไปเปรียบเทียบกับค่ามาตรฐานที่ใช้เป็นแนวทางในการเฝ้าระวังอันตรายจากความสั่นสะเทือนที่อาจมีอันตรายต่อสุขภาพ (ISO 2631-1, 1997) ดังภาพที่ 2-4



ภาพที่ 2-8 กราฟแสดงค่าความสั่นสะเทือนที่อาจมีผลต่อสุขภาพ (ISO 2631/1, 1997)

Equation 1 เพื่อให้เกิดความปลอดภัยและสุขภาพอนามัย (Preservation of health or safety) เมื่อผู้ปฏิบัติงานสัมผัสรู้ความสั่นสะเทือนภายในตัวตนแล้ว จะไม่ทำให้เกิดอันตรายต่อร่างกาย (Exposure time) ซึ่งใช้เป็นค่ามาตรฐานในการการศึกษาวิจัยนี้

Equation 2 เพื่อให้เกิดความรู้สึกสบาย (Preservation of comfort) หมายถึง หากผู้ปฏิบัติงานทำงานกับความสั่นสะเทือนภายในข้อกำหนดนี้จะยังมีความรู้สึกสบายอยู่ (Reduced Comfort Boundary: RCB)

ใช้เป็นแนวทางในการเฝ้าระวังอันตรายจากแรงสั่นสะเทือนที่อาจมีอันตรายต่อ สุขภาพ (ISO 2631-1: 1997) ที่มีค่าอยู่ในช่วงที่ใช้ระยะเวลาได้รับความสั่นสะเทือนในช่วง 4 ชั่วโมง ถึง 8 ชั่วโมง ตามข้อกำหนดของ European Commission (EC)

การศึกษาความสัมพันธ์ของตัวแปรของเวลาที่มีผลต่อสุขภาพ ที่ใช้ตัวเลขยกกำลังที่แตกต่างกัน จะได้ค่าในโซนที่เป็นเส้นจุดไปมา ดังแสดงในภาพที่ 2-8 ที่มีหลักการเดียวกันคือ พิจารณาที่ระยะเวลาได้รับความสั่นสะเทือนในช่วง 4 ถึง 8 ชั่วโมง โดยใช้สมการที่ (1) ดังต่อไปนี้

$$a_{w1} \cdot T_1^{1/4} = a_{w2} \cdot T_2^{1/4} \quad \dots \dots \quad (1)$$

สมการข้างต้นเป็นค่าประมาณการที่เป็นตรงกับค่าล่างและค่าบนของโซนที่แสดงในภาพที่ 2-8 สามารถคำนวณได้จากค่า a_w ที่กำหนดไว้เท่ากับ 0.5 เมตรต่อวินาที² เป็นค่าระดับความสั่นสะเทือนที่ต้องมีการดำเนินการ

การควบคุมแรงสั่นสะเทือนทั้งร่างกาย

การควบคุมและป้องกันแรงสั่นสะเทือนทั้งร่างกาย ในทางด้านสุขศาสตร์อุตสาหกรรม นั้น ควบคุมปัจจัยเสี่ยงทั้งด้านสิ่งแวดล้อม ลักษณะการทำงาน หรืออื่น ๆ ที่อาจมีผลกระทบต่อ สุขภาพของผู้ปฏิบัติงาน ทำให้ผู้ปฏิบัติงานเกิดความไม่สบายหรือลดประสิทธิภาพในการทำงาน โดยใช้หลักวิชาการ การควบคุมและป้องกันมือญด้วยกันหลายวิธี การเลือกใช้วิธีที่เหมาะสมจะเป็น การช่วยลดโอกาสที่จะเกิดปัญหาจากอันตรายที่จะก่อความสุขภาพอนามัยและความปลอดภัยของ ผู้ปฏิบัติงานลง ได้ ซึ่ง ประกอบด้วย 3 หลักการ (ยุวดี สิมะ โรมน์, 2554; สมาคมส่งเสริม ความปลอดภัยและอนามัยในการทำงาน, 2559) ดังนี้

1. หลักการควบคุมทางสุขศาสตร์

1.1 การควบคุมที่แหล่งกำเนิด ควบคุมไม่ให้เกิดแรงสั่นสะเทือนที่แหล่งกำเนิดหรือ เครื่องจักร เช่นการปรับตั้งความเร็วอบของเครื่องจักร การดูแลซ่อมบำรุงเครื่องจักร (จักร จันทร์ลักษณา, 2546) ทำสมดุลสาหรับความไม่สมดุลของมวลในการหมุน พยายามลดช่องว่าง ระหว่างลูกปืนกับจุดต่อ (คณะวิศวกรรมศาสตร์ มหาวิทยาลัยสรุณารี, 2554)

1.2 การควบคุมที่ทางผ่าน หรือควบคุมการส่งผ่านการสั่นสะเทือน จากเครื่องมือ เครื่องจักร ไปยังผู้ปฏิบัติงาน ที่ผ่านมา มีผู้ศึกษา ออกแบบ ไว้หลากหลายวิธี เช่น การออกแบบและ สร้างตัวคูณซับการสั่นสะเทือนแบบปรับค่าได้ที่ออกแบบให้ความถี่ธรรมชาติของตัวคูณซับการ สั่นสะเทือนเท่ากับความถี่ธรรมชาติของระบบหลักหรือแหล่งกำเนิดเมื่อแรงสั่นสะเทือนเจอกับตัว

คุณชั้บกีจะหักล้างกันทำให้ตัวคุณชั้บสามารถแรงสั่นสะเทือนได้ (สุรัตน์ ปัญญาแก้ว, 2557) เช่นเดียวกับ การลดการสั่นสะเทือนแบบที่แรงสั่นสะเทือนที่ส่งมาขังผู้ปฎิบัติงานเมื่อระบบกับ อุปกรณ์ลดการสั่นทำให้อุปกรณ์ลดการสั่นสะเทือนสั่นสะเทือนแทนทำให้แรงสั่นสะเทือนที่มาระบก แหล่งกำเนิดลดลง (Passive vibration absorbers) และความถี่ของโครงสร้างอุปกรณ์ลด แรงสั่นสะเทือนตรงความถี่ธรรมชาติ เนื่องจากแรงสั่นสะเทือนที่มากระทำต่ออุปกรณ์มีพิษทาง ตรงกันแรงสั่นสะเทือนที่มาระบกแหล่งกำเนิด (สมนึก พงษ์สิน, 2548) สอดคล้องกับออกแบบที่นั่ง ใหม่ ทำจากเหล็กด้านในทำจาก โพรี่ยูริเทน มีสปริงเหล็กอยู่ตรงกลางบุคล้ำหุ้ย vinyl upholstery สามารถความสั่นสะเทือนได้มากกว่าเบาะแบบเก่า และพบว่าเบาะรองนั่งสามารถลดความสั่นสะเทือน จากเครื่องจักรสู่คนขับรถบรรทุกหนักได้ (มนูรี หน่อพัฒน์, 2547)

1.3 การควบคุมที่ตัวผู้ปฏิบัติงาน การควบคุมที่ตัวบุคคลไม่ให้รับสัมผัส หรือรับ สัมผัสในปริมาณที่ไม่เกินค่ามาตรฐาน เช่นการอบรมพนักงาน การจำกัดระยะเวลาในการรับสัมผัส แรงสั่นสะเทือนทั้งร่างกาย การเฝ้าระวังสุขภาพ (Health and Safety Executive, 2548) การสำรวจสิ่ง อุปกรณ์คุ้มครองความปลอดภัยส่วนบุคคล การศึกษาการเปรียบเทียบค่าความสั่นสะเทือนที่มีอยู่ เมื่อ ใช้ถุงมือและวัสดุทุ่มด้านจับของคนงานเจียรหินเพื่อหาแนวทางการลดค่าการรับสัมผัสความ สั่นสะเทือนที่มีอยู่ (พรพิพพ์ เย็นใจ, 2546)

งานวิจัยในครั้นนี้เป็นการควบคุมที่ที่ทางผ่านของแรงสั่นสะเทือนที่มาสู่ตัวผู้ปฏิบัติงาน ขับรถติดตั้งตัวตอบเสาเข็มพีดระบบสั่นสะเทือน โดยการศึกษาผลของเบาะรองนั่ง ที่จะลดการ ส่งผ่านแรงสั่นสะเทือนจากเครื่องจักรเข้าสู่ร่างกายบริเวณที่นั่งขับรถติดตั้งตัวตอบเสาเข็มพีดระบบ สั่นสะเทือน

2. หลักการออกแบบเบาะรองนั่งเพื่อลดแรงสั่นสะเทือน มีหลักเกณฑ์ ดังต่อไปนี้

2.1 สามารถป้องกันจุดเสียบและอันตรายของเครื่องจักร ต้องสามารถป้องกันอวัยวะ ไม่ให้สัมผัสถกับจุดอันตรายของเครื่องจักรและจุดเสียบและจุดเสียบต่อสุขภาพของพนักงานที่ปฏิบัติงานได้

2.2 มีความมั่นคงแข็งแรง ทนทาน ต่อการใช้งานปกติและมีการบำรุงรักษาอยู่ที่สุด สามารถยึดกับเครื่องจักร ได้อย่างมั่นคง ไม่สามารถถอดหรือดึงออกได้ง่าย เอื้ออำนวยต่อการ ซ่อมแซม

2.3 ไม่เป็นสาเหตุการเกิดอันตรายใหม่ เช่นขอบแหลมคม มีรอยบรุษะ หรือเป็น เหลี่ยม เพราะจะทำให้เกิดอันตรายต่อผู้ปฏิบัติงานได้

2.4 ไม่กีดขวางการปฏิบัติงาน เพราะจะทำให้ผู้ปฏิบัติงานถอด ดัดแปลง เสียเวลา และเกิดความไม่ปลอดภัยในการปฏิบัติงาน

2.5 สามารถป้องกันความเสี่ยงและผลกระทบที่อาจเกิดขึ้นต่อสุขภาพที่เป็นไปตาม
ข้อกำหนดของกฎหมายและมาตรฐานที่แนะนำของสถาบันหรือองค์กรต่าง ๆ (ศุภักษณ์ รักพงษ์,
2558)

หลักการดังกล่าว เป็นหลักที่ใช้ออกแบบอุปกรณ์ลดความสั่นสะเทือน ที่ถูกต้องตาม
หลักวิศวกรรม สามารถใช้งานได้จริง ทำให้อุปกรณ์ลดความสั่นสะเทือน มีผลตามที่
สมมติฐาน คือ สามารถลดแรงสั่นสะเทือนชนิดทั้งร่างกายที่ส่งผ่านมาสู่พนักงานได้

3. วัสดุลดแรงสั่นสะเทือน

ในการพิจารณาวัสดุลดความสั่นสะเทือน เพื่อควบคุมความสั่นสะเทือนนั้น มีความ
จำเป็นที่จะต้องเลือกวัสดุที่มีความถี่ธรรมชาติตrig หรือไกล์เคียงกับความถี่ธรรมชาติของเครื่องจักร
ระบบหรือโครงสร้างหลักที่เกิดแรงสั่นสะเทือน เครื่องจักร ระบบหรือโครงสร้างหลักที่ถูกยึดด้วย
อุปกรณ์ลดแรงสั่นสะเทือน หรือวัสดุที่มีความสามารถลดแรงสั่นสะเทือน ณ ตำแหน่งที่มีการ
สั่นสะเทือนรุนแรง ในที่นี้คือ ณจุดที่มีการส่งผ่านแรงสั่นสะเทือนเข้าสู่ร่างกายผู้ปฏิบัติงาน จะทำให้
ความถี่ธรรมชาติของเครื่องจักร ระบบหรือโครงสร้างหลักหายไป ด้วยหลักการที่วัสดุดังกล่าว
ผลักพลังงานความสั่นสะเทือนให้ไปอยู่ในตำแหน่งความถี่ใหม่ ที่ความถี่สูงขึ้นหรือต่ำลงจาก
ความถี่ธรรมชาติเดิม (จักร จันทร์ลักษณ์, 2545) ซึ่งความถี่ธรรมชาติของระบบในกระบวนการขับ
รถติดตั้งตัวตอกเสาเข็มพื้นระบบสั่นสะเทือน นั้นถือว่า มีความถี่สูงประมาณ 2000 เฮิรต ซึ่งความถี่
ที่มีผลต่อสุขภาพคือ 0.5-80 เฮิรต แม้จะพิจารณาเรื่องการลดความถี่ของแรงสั่นสะเทือนนี้แล้ว
พิจารณาลดในช่วง ความถี่ที่มีผลต่อสุขภาพ ดังนั้นในการเลือกวัสดุจึงต้องพิจารณาถึงความถี่ที่
เหมาะสมที่สามารถลดความสั่นสะเทือนทั้งร่างกายที่อาจส่งผลกระทบต่อสุขภาพในพนักงานขั้นรถ
ติดตั้งตัวตอกเสาเข็มพื้นระบบสั่นสะเทือน

ตารางที่ 2-2 ชนิดวัสดุที่ช่วยลดความสั่นสะเทือน

ชนิดวัสดุที่ช่วยลดความสั่นสะเทือน	ความถี่
ยางกันสะเทือน	ความถี่สูง 10 Hz ขึ้นไป
สปริง	ความถี่ 3-9 Hz
อลาส โടเมอร์ เช่น ยาง NBR, TPE	ความถี่ 3-40 Hz
ยางคลอโรพรีน (CR), นีโอดรีน	ความถี่ต่ำ
รังผึ้งโพร์พิลีน	ความถี่สูง ลดการกระแทก
ซิลโคลน	ความถี่ 3-40 Hz ลดการกระแทก

ตารางที่ 2-2 (ต่อ)

ชนิดวัสดุที่ช่วยลดความสั่นสะเทือน	ความถี่
ยางสปริง	ความถี่ต่ำ
ยางไนโตรล (NBR)	ความถี่ต่ำ
ยางบิวไทร์ (IIR)	25 Hz-250 Hz
ยางธรรมชาติ (NR)	ความถี่ต่ำ ไม่เกิน 12 Hz

ที่มา: ศูนย์ทดสอบรักษาพยาบาล (2558), อุมาเรินทร์ (2553), Partnum (2016), Gelmec (2016), TDL (2016), (Farrat, 2016)

3.1 ยางไนโตรล (Nitrile or Acrylonitrile-Butadiene Rubber, NBR) คือ โคโพลิเมอร์ของอะไครโลไนโตรล และบิวไทร์ ไอดีน มีค่ากระเด้งกระดอนต่ำ นิยมใช้ผลิตยางไออลิง ประเก็น น้ำมัน สายพานลำเลียง ยางเคลือบลูกกลิ้ง รองเท้าบู๊ท พื้นและสันของรองเท้า ยางชนิดนี้จึงมีคุณสมบัติเด่นคือทนต่อน้ำมัน ปิโตรเลียม และตัวทำละลายที่ไม่มีข้าวต่าง ๆ ได้ดี เนื่องจากยางชนิดนี้ประกอบด้วยส่วนส่วนคือส่วนที่เป็นบิวไทร์ไอดีน ซึ่งจะให้ความยืดหยุ่น และส่วนที่เรียกว่าอะไครโลไนโตรลซึ่งเป็นส่วนที่จะทำให้คุณสมบัติของยาง NBR เปลี่ยนแปลงไป การกระเด้งกระดอนต่ำลง Compression Set น้อยลง อัตราการซึมผ่านก๊าซลดลง สมบัติการหักงอที่อุณหภูมิต่ำลดลง ความทนทานต่อความร้อนและโอโซนสูงขึ้น ความต้านทานการขัดถูสูงขึ้น ความแข็งและความทนทานต่อแรงดึงสูงขึ้น ความหนาแน่นสูงขึ้น (การยางแห่งประเทศไทย, 2557)

3.2 ยางคลอโรพրีน (CR) คือ ยางสังเคราะห์ที่เกิดจากมอนомерของคลอโรพรีน (Chloroprene monomer) มีความทนทานต่อแรงดึงสูง นิยมใช้ผลิตยางพื้นลูกกลิ้ง สายพานลำเลียง ในเหมืองแร่ ยางกันกระแทก ยางบู๊ทรองเท้า ยางรองคอสะพาน (พงษ์ชร แซ่อุ้ย, 2548) ยางคลอโรพรีน (Chloroprene Rubber, CR) มีชื่อทางการค้าว่า ยางนีโอพรีน (Neoprene) เป็นยางที่สังเคราะห์จากมอนомерของคลอโรพรีน ภายใต้สภาวะที่เหมาะสม ทำให้ไม่เลกอกของยางคลอโรพรีนสามารถจัดตัวได้อย่างเป็นระเบียบ ยางชนิดนี้จึงสามารถแตกผลึกได้ชิ้นเดียว กันกับยางธรรมชาติ ดังนั้นยางคลอโรพรีนจึงมีค่าความทนต่อแรงดึงสูง (โดยที่ไม่ใส่สารตัวเติม) นอกจากนั้นยังมี ความทนต่อการฉีกขาดและขัดถูสูงด้วย (การยางแห่งประเทศไทย, 2557) มีความสามารถในการแยกและลดแรงสั่นสะเทือนได้ (MASON INDUSTRIES, 2016)

3.3 ยางบิวไทล์ (Butyl Rubber, IIR) เป็นยางสังเคราะห์ จากมอนอเมอร์ของไอโซพրีน โดยใช้ตัวเร่ง Ziegler-Natta โดยปฏิกิริยา polymerization ขั้น ยางชนิดนี้ถูกเรียกอีกอย่างหนึ่งว่า “Synthetic Natural Rubber” เนื่องจากยางนี้มีโครงสร้างทางเคมีใกล้เคียงกับยางธรรมชาติทำให้คุณสมบัติต่าง ๆ ไม่แตกต่างจากยางธรรมชาติมากนัก แต่คุณสมบัติความทนต่อแรงดึงและความทานทนต่อการฉีกขาดต่ำกว่าเล็กน้อย ข้อดีของยาง IIR คือ มีสีขาว สิ่งเจือปนน้อย คุณภาพคงที่ ส่วนมากใช้ผลิตจากน้ำมัน อุปกรณ์การแพทย์รวมถึงใช้ผลิตยางในรถยนต์ มีค่ากระเด้งกระคอนต่ำที่อุณหภูมิห้องจึงทำให้คุณสมบัติพลังงานกลและการสั่นสะเทือนได้ดี ใช้ผลิตยางกันสะเทือน (Mount) ปลอกหุ้มสายไฟสายเก็บ (พงษ์ชร แซ่ อุ๊ย, 2548) (การยางแห่งประเทศไทย, 2557)

3.4 ยางธรรมชาติ (Natural Rubber; NR) ยางธรรมชาติ เป็นผลิตผลจากต้นยางพารา (Hevea brasiliensis) โดยการกรีดลำต้นและนำเอาของเหลวสีขาวคล้ายน้ำนมเรียกว่า น้ำยางสดหรือน้ำยางดิบ (Latex) ซึ่งประกอบไปด้วยพอลิเมอร์ของสารไอโซพรีนมาผ่านกระบวนการผลิตเพื่อให้เก็บไว้ได้นานและได้น้ำยางสดเข้มข้นที่มีสมบัติเด่นหลายประการ เช่น มีสมบัติเชิงกลดี มีความยืดหยุ่น (Elastic) สูง มีความเหนียว (Toughness) มีความต้านทานต่อการขัดถู (Abrasion resistance) สูง และสามารถยึดติดกับวัสดุได้ดี จึงสามารถนำไปใช้งานทางวิศวกรรมได้หลากหลาย (การยางแห่งประเทศไทย, 2557) มีความสามารถในการแยกและลดแรงสั่นสะเทือนได้ (Mason Industries, 2016) เหมาะสมที่จะแยกความถี่ในช่วงความถี่ต่ำ ไม่เกิน 12 Hz (Farrat, 2016)

3.5 วัสดุประสานสังเคราะห์เป็นการที่ผลิตขึ้นจากสารเคมีโดยการสังเคราะห์ เพื่อให้มีคุณสมบัติตามที่ต้องการ ซึ่งในปัจจุบันได้รับความนิยมเป็นอย่างยิ่ง มีความหลากหลายต่อการใช้งาน แข็งแรงยืดหยุ่น ได้ดี ทนต่ออุณหภูมิ อุณหภูมิที่ทนความชื้น วัสดุประสานสังเคราะห์ที่ใช้ คือ การโพลีคลอโรพրีน มีความหนืดสูง และเนื้อมาก เหมาะสมสำหรับติดวัสดุทั่ว ๆ ไป เก็บทุกประเภท เช่น วัสดุหนังแท้ หนังเทียม พีพี พีวีซี ยาง ผ้าใบ เป็นต้น และดูดซึมน้ำได้ดี เป็นการที่ให้ความยืดหยุ่นในการใช้งานสามารถติดได้ทั้งเร็วและช้า เนื่องจากการแข็งตัวค่อนข้างช้า ขณะเดียวกันก็มีแรงยึดเริ่มต้นสูง (ทวีศักดิ์ แก้วประดับ, 2555)

จากการศึกษาประสิทธิภาพของวัสดุที่ลดความสั่นสะเทือนที่ทำจากยางสังเคราะห์ (อุมารินทร์, 2552) พบว่า วัสดุที่ทำจากยางสังเคราะห์สามารถประยุกต์เป็นวัสดุลดการสั่นแรงสั่นสะเทือนจากเครื่องจักรได้ เช่นการศึกษาประสิทธิผลของอุปกรณ์ลดแรงสั่นสะเทือนที่เท้าในพนักงานแผนกเย็บผ้าของโรงงานแห่งหนึ่งในจังหวัดชลบุรี พบว่าออกแบบอุปกรณ์ลดแรงสั่นสะเทือนที่เท้าจากการใช้วัสดุจากยางกันสะเทือน รังผึ้งโพลีไพรพลีน อิลาสโตร์ (โพฟยาง) สามารถลดแรงสั่นสะเทือนที่เท้าได้ (ศุภัทัณฑ์ รักพงษ์, 2558)

4. เบ่าร่องนั่งเพื่อลดแรงสั่นสะเทือน

4.1 การเลือกวัสดุ พิจารณาค่าความสั่นสะเทือนที่สูงจากการตรวจวัดความสั่นสะเทือนเบื้องต้นพบว่าอยู่ในช่วงความถี่ 1.6 เฮิร์ต-315 เฮิร์ต พิจารณาช่วงความถี่ที่มีผลกระทบต่อสุขภาพตามมาตรฐาน ISO 2631 คือ ช่วง 0.5 เฮิร์ต to 80 เฮิร์ต ร่วมกับการพิจารณาคุณสมบัติ วัสดุที่จะนำมาลดจึงได้คัดเลือก ยางบิวไทร์ ที่สามารถได้ในช่วงความถี่ 25Hz-250Hz (TDL., 2016) และยางในไตรล์ลดได้ในช่วงความถี่ ความถี่ 3-40 Hz (ศุภัทัณฑ์ รักพงษ์, 2558) และยาง ธรรมชาติที่สามารถลดความสั่นสะเทือนได้ที่ความถี่ต่ำ ไม่เกิน 12 Hz (Farrat, 2016) โดย ชั้นแรกเป็น ยางบิวไทร์ที่สามารถลดได้ในช่วงความถี่ 25 Hz-250 Hz (TDL., 2016) เนื่องจากเป็นชนิดยางที่ดูดซับแรงสั่นสะเทือนในช่วงความถี่ใกล้เคียง ความถี่แรงสั่นสะเทือนเบื้องต้นของกลุ่มตัวอย่างที่ตรวจวัดได้ 1.6-315 Hz ชั้นกลางคือยางในไตรล์ลดได้ในช่วงความถี่ ความถี่ 3-40 Hz (ศุภัทัณฑ์ รักพงษ์, 2558) และบนสุดของเบาะคือ ธรรมชาติอยู่บนสุดเนื่องจากช่วงความถี่ที่ลดได้อยู่ไม่เกิน 12 Hz (Farrat., 2016) ซึ่งในช่องห้องจะมีความถี่ 3-9 Hz ป้องกันการเกิดการสั่นพ้องที่จะทำอันตรายต่อ อวัยวะภายในช่องห้อง(สำนักวิชาชีวกรรมศาสตร์ ม.สุรนารี, 2554)

4.2 กำหนดขนาด

4.2.1 ความกว้าง ใช้ระยะค่าความกว้างของเบาาร่องนั่งเพื่อลดแรงสั่นสะเทือน ใช้ค่าเปอร์เซนไทร์ที่ 95 ของความกว้างสะสมพอกพนักงานทั้ง 15 คน

4.2.2 ความลึกของเบาาร่องนั่งเพื่อลดแรงสั่นสะเทือนใช้ค่า เปอร์เซนไทร์ที่ 5 ของระยะจากสะสมพอกลึ่งข้อพับขาด้านใน

4.2.3 ความหนา ใช้ค่าความสูงของเบาะเดินเพิ่มเบาร่องนั่งให้อยู่ภายใต้ค่า มาตรฐาน (Haworth, 2002) ที่แนะนำแนวทางเบาะที่เป็นไปตามหลักการยศาสตร์ค่ามาตรฐานให้อยู่ในช่วง 15-19.9 นิ้ว

ดังนั้นวัสดุของเบาาร่องนั่งเพื่อลดแรงสั่นสะเทือนในงานวิจัยนี้คือ ยางธรรมชาติ ยางในไตรล์ ยางบิวไทร์ และผ้า丹ดิววัสดุประสาน โดยขนาดกว้างเท่ากับค่าเปอร์เซนไทร์ที่ 95 ของความกว้างสะสมพอกพนักงานทั้ง 15 คน ความลึก กำหนดความลึกของเบาาร่องนั่งเพื่อลดแรงสั่นสะเทือนทั้งร่างกาย โดยใช้ค่าเปอร์เซนไทร์ที่ 5 ของระยะจากสะสมพอกลึ่งข้อพับขาด้านในของพนักงานทั้ง 15 คน ความหนาใช้ค่ามาตรฐานความสูงของเบาะตามมาตรฐาน (Haworth, 2002) ที่แนะนำแนวทางเบาะที่เป็นไปตามหลักการยศาสตร์ค่ามาตรฐานคือ 15-19.9 นิ้ว คือยางแต่ละชนิดหนาชั้นละ 20 มิลลิเมตร ดังแสดงในภาพที่ 2-9



ภาพที่ 2-9 เบาะรองนั่งเพื่อลดแรงสั่นสะเทือนทั้งร่างกาย (Seat cushion)

การประเมินความรู้สึกปวดหลังส่วนล่าง

ความรู้สึกปวดบริเวณหลังส่วนล่าง (Low back pain) หมายถึง ความรู้สึกปวดบริเวณหลังส่วนล่าง ที่เกิดจากการขับรถติดตั้งตัวตอกเสานี้มีระบบสั่นสะเทือน โดยใช้แบบสอบถามจากแบบสอบถามอาการปวดกล้ามเนื้อและกระดูกนอร์ดิกเคลพะหลังส่วนล่าง (Nordic Musculoskeletal Questionnaire: NMQ) (Kuorinka et al., 1987) ประยุกต์ประเมินผลร่วมกับแบบประเมินวัดระดับความรุนแรงของความรู้สึกปวดคือ Visual Analogue Scale (VAS) (Crichton, 2011) ซึ่งบ่งระดับอาการผิดปกติออกมาเป็นตัวเลขเป็นคะแนนตั้งแต่ 0-10 คะแนน จากการสอบถามจากกลุ่มตัวอย่าง) และแปลผลความรู้สึกปวดหลังส่วนล่างออกเป็น 5 ระดับตั้งแต่ไม่ปวด ปวดน้อย ปวดปานกลาง ปวดมาก และปวดรุนแรง (Wewers & Lowe, 1990)

จากการทบทวนวรรณกรรมที่ผ่านมาผู้วิจัยพบว่า มีการศึกษาที่นำความรู้สึกปวดหลังส่วนล่าง โดยใช้ แบบสอบถามความรู้สึกปวดกล้ามเนื้อและกระดูกนอร์ดิกเคลพะหลังส่วนล่าง (Nordic Musculoskeletal Questionnaire: NMQ) ต่อไปนี้ การศึกษาความผิดปกติทางระบบโครงร่างและกล้ามเนื้อ ตามส่วนต่าง ๆ ของร่างกายในเกยตระผู้ป่วยมันสำปะหลัง ในเกยตระผู้ป่วยมันสำปะหลังบ้านชั้นกลาง ตำบลโนนดินแดง อำเภอโนนดินแดง จังหวัดบุรีรัมย์ พบว่า เกยตระผู้ป่วยมันสำปะหลังบ้านชั้นกลาง ในการ 7 วัน มีความผิดปกติของหลังส่วนล่าง มากที่สุดภายใน 7 วัน มีความผิดปกติของหลังส่วนล่าง ได้รับการใส่เสื้อพยุงหลัง มีคะแนนความรู้สึกปวดกล้ามเนื้อ น้อยกว่าก่อน ได้รับการใส่เสื้อพยุงหลัง (ปรารถนาพร จินประโคน และ กัลยา ปานะโยปิ, 2555) และ การวิเคราะห์ความเครียดจากการทำงานคอนกรีต ของผู้ใช้แรงงานก่อสร้างอาคาร โดยมีการประเมินความเสี่ยงต่อการบาดเจ็บของ

ร่างกายใช้แบบสอบถามมาตราฐานนอร์ดิก เพื่อบ่งชี้การบาดเจ็บตามส่วนต่าง ๆ ของร่างกายของผู้ใช้ แรงงานผลการศึกษาพบว่าการทำงานค่อนกรีตในการก่อสร้างอาคารมีความเสี่ยงต่อการเกิดอาการบาดเจ็บต่อส่วนต่าง ๆ ของร่างกาย โดยเฉพาะหลังส่วนล่างมากถึงร้อยละ 100 ของผู้ใช้แรงงานทั้งหมด จึงควรมีการปรับปรุงวิธีการทำงานต่อไป (olsongrn' พัตรเมืองปัก, 2555) การศึกษาความชุกของความผิดปกติทางระบบโครงร่างและกล้ามเนื้อในแรงงานอุตสาหกรรม กลุ่มดัดเหล็กปลอกเสาระบบมือโยก ได้ประยุกต์ใช้แบบสอบถามมาตราฐาน Standardized Nordic questionnaire ที่ได้แปลเป็นภาษาไทย ใน การสัมภาษณ์ ผลการวิจัยพบว่าความชุกในรอบ 12 เดือนที่ผ่าน มาสูง 3 อันดับแรกคือในบริเวณข้อมือ/มือ หลังส่วนล่าง และ ไหล่ ร้อยละ 78.8, 68.9, 46.9 ตามลำดับ สำหรับในรอบ 7 วันที่ผ่าน มาพบความชุกสูงบริเวณเดียวกัน โดยความรู้สึกปวดที่รบกวนการทำพากลุ่มสูงสุดที่ข้อมือ หลังส่วนล่าง และคอ ตามลำดับ (วิวัฒน์ สังฆะบุตรและสุนิสา ชาญเกลี้ยง, 2556) เช่นเดียวกับการศึกษาประสิทธิผลของการบริหารร่างกายแบบมีไวซ์ เพื่อลดความรู้สึกปวดเมื่อย กล้ามเนื้อจากการทำงานในกลุ่มพนักงานอوفฟิศ ประเมิน ความรู้สึกปวดเมื่อยกล้ามเนื้อจากการทำงานด้วยแบบสอบถาม Wong-Baker faces pain rating scale ร่วมกับ Modified Nordic questionnaire พบว่า มีความรู้สึกปวดเมื่อยกล้ามเนื้อมากที่สุดก่อนการบริหารร่างกายคือ คอ ไหล่ หลังส่วนบน หลังส่วนล่างและข้อมือ/มือ ตามลำดับ ของร่างกายที่มีความรู้สึกปวดเมื่อยจนต้องหยุดงานในช่วง 12 เดือนที่ผ่านมา มากที่สุดคือ หลังส่วนบน คอและ ไหล่ (วิทวัส สิทธิวัชรพงศ์, 2556) และมีการประเมินการบาดเจ็บจากการทำงาน ในกลุ่มผู้ชักстан ผักตบชวา ดำเนลันป์ นำร่อง จำนวนเมือง จังหวัดพะเยา ด้วยแบบประเมิน Standard Nordic Questionnaires ฉบับภาษาไทยพบว่าอาสาสมัครส่วนใหญ่มีความรู้สึกปวดหลังส่วนล่าง (อรุณี พรหมศรี, 2557) และการศึกษาความชุกของอาการผิดปกติทางระบบ กล้ามเนื้อและโครงร่าง อันเกี่ยวเนื่องจากการทำงาน (WMSDs) ของคนงานโรงพยาบาลราชวิถีราชนครินทร์ โดยใช้ แบบสอบถามมาตราฐานที่ใช้ในการวิเคราะห์อาการผิดปกติของกล้ามเนื้อและกระดูก (Standardized Nordic questionnaires for the analysis of musculoskeletal symptoms) ผลการศึกษา พบว่าแผนกซักฟอก มีความชุกของ WMSDs สูงกว่าแผนกอื่น ๆ ตำแหน่งที่เกิด WMSDs บ่อยที่สุด ของคนงานคือบริเวณหลังส่วนล่าง (สุวินันท์ ทวีพิริยะจินดา, 2558) อีกทั้งการดำเนินงานด้านการยศาสตร์อย่างมีส่วนร่วม เพื่อลดปัจจัยเสี่ยงต่อการเกิดอาการผิดปกติทางระบบกล้ามเนื้อ โครงสร้างกระดูก ในโรงงานยางร่มกวัน จังหวัดระยอง ใช้แบบสอบถาม นอร์ดิก ของคุริเกและคณะ ประเมินอาการผิดปกติทางระบบกล้ามเนื้อ โครงสร้างกระดูก ที่เกี่ยวเนื่องจากการทำงาน ของพนักงานในช่วง 7 วันที่ผ่านมา พบว่าหลังปรับปรุงการปฏิบัติงาน มีคะแนนความรุนแรงของอาการเจ็บปวดลดลง (ฉันทนา จันทวงศ์, 2559) และมีการนำแบบสอบถาม Standard Nordic Questionnaire ฉบับภาษาไทยใช้ศึกษา ความชุกของความผิดปกติ

ทางระบบกระดูกและกล้ามเนื้อในกลุ่มอาชีพอุตสาหกรรมสิ่งทอ จังหวัดขอนแก่น ผลกระทบการศึกษาพบว่า ความชุกของความผิดปกติทาง ระบบกระดูกและกล้ามเนื้อ 3 อันดับแรกในรอบ 7 วัน คือ ข้อไหล่ หลังส่วนล่าง และข้อมือ/ มือ ตามลำดับ ความชุกของความผิดปกติทางระบบกระดูกและกล้ามเนื้อ 3 อันดับแรก ในรอบ 12 เดือน คือ ข้อไหล่ หลังส่วนล่าง และคอ ตามลำดับและความผิดปกติที่ทำให้ต้องหยุดงาน 3 อันดับแรกคือ หลังส่วนล่าง (สะโพก) และข้อไหล่ ตามลำดับ (เพชรรัตน์ แก้วดวงดี และคณะ, 2559)

จากที่กล่าวมาจะพบว่า แบบสอบถามความรู้สึกปวดกล้ามเนื้อและกระดูกที่ประยุกต์มา จากนอร์ดิกเฉพาะหลังส่วนล่าง (Nordic Musculoskeletal Questionnaire: NMQ) (Kuorinka et al., 1987) ที่ประยุกต์ประเมินผลร่วมกับแบบประเมินวัดระดับความรุนแรงของความรู้สึกปวด คือ Visual Analogue Scal (VAS) (Crichton, 2001) มีมาตรฐานเป็นที่ยอมรับในการประเมิน ความรู้สึกปวดหลังส่วนล่าง (Low back pain) ดังนั้น ผู้วิจัยจึง ใช้เป็นแบบสอบถามความรู้สึกปวดหลังส่วนล่าง ที่เกิดจากการขับรถติดตั้งตัวออกเสาเข้มพีดระบบสันสะเทือน

บทที่ 3

วิธีดำเนินการวิจัย

การศึกษาการวิจัยแบบกึ่งทดลอง (Quasi-experimental research) โดยเป็นการศึกษาเพียงกลุ่มเดียวแบบไม่มีกลุ่มควบคุม วัดผลก่อนและหลังการทดลอง (Pretest-posttest design) เพื่อศึกษาผลของ变量ของนั้นเพื่อทดสอบสัณฐานะเทือนในพนักงานขับรถติดตั้งตัวตอกเสาเข็มพีดระบบสัณฐานะเทือน ของงานก่อสร้างเขื่อนป้องกันคลื่นพังในโครงการก่อสร้างแห่งหนึ่งในจังหวัดพระนครศรีอยุธยา และศึกษาความรู้สึกปวดหลังส่วนล่างของพนักงานขับรถติดตั้งตัวตอกเสาเข็มพีดระบบสัณฐานะเทือน

1. รูปแบบวิธีการวิจัย
2. ประชากรและกลุ่มตัวอย่าง
3. เครื่องมือที่ใช้ในการวิจัย
4. การตรวจสอบคุณภาพของเครื่องมือ
5. จริยธรรมการวิจัย
6. การรวบรวมและวิเคราะห์ข้อมูล

รูปแบบวิธีการวิจัย

การวิจัยนี้เป็นการวิจัยกึ่งทดลอง (Pretest and posttest quasi-experimental research) เพื่อวัดผลของ变量ของนั้นโดยมีการวัดค่าแรงสัณฐานะเทือนและความรู้สึกปวดหลังส่วนล่าง ก่อนและหลังการใช้变量ของนั้นในพนักงานขับรถติดตั้งตัวตอกเสาเข็มพีด

ประชากรและกลุ่มตัวอย่าง

1. กลุ่มประชากรที่ใช้ในการวิจัย

กลุ่มประชากรที่ใช้ในการวิจัยในครั้งนี้ เป็นพนักงานขับรถติดตั้งตัวตอกเสาเข็มพีดระบบสัณฐานะเทือน ในงานก่อสร้างเขื่อนป้องกันคลื่นพังในโครงการก่อสร้างแห่งหนึ่งในจังหวัดพระนครศรีอยุธยา ซึ่งมีอายุงานการขับรถติดตั้งตัวตอกเสาเข็มพีดระบบสัณฐานะเทือน ตั้งแต่ 1 ปี ขึ้นไป จำนวน 15 คน

2. กลุ่มตัวอย่างที่ใช้ในงานวิจัย

กลุ่มตัวอย่างที่ใช้ในงานวิจัย พนักงานขับรถติดตั้งตัวตอกเสาเข็มพีดระบบสัณฐานะเทือน

ในงานก่อสร้างเขื่อนป้องกันคลิ่งพังในโครงการก่อสร้างแห่งหนึ่งในจังหวัดพระนครศรีอยุธยาจำนวน 15 คน โดยมีเกณฑ์ในการคัดเลือกแบบเฉพาะเจาะจง ดังนี้

เกณฑ์ในการคัดเลือกกลุ่มตัวอย่างเข้าในการศึกษา

1. ปฏิบัติงานในการขับรถติดตั้งตัวตอกเสาเข็มพีระบบสันสะเทือน ในช่วงระยะเวลาที่ทำการศึกษา
2. ไม่เป็นประจำตัวที่เกี่ยวกับกล้ามเนื้อและกระดูก เช่น โรคเก้าท์ หรือมีประวัติเคยได้รับการผ่าตัดกระดูกสันหลัง
3. ยินดีเข้าร่วมในการศึกษาวิจัย

เครื่องมือที่ใช้ในการวิจัย

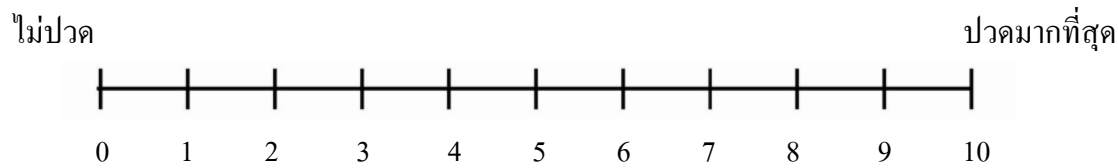
เครื่องมือที่ใช้ในการศึกษาครั้งนี้ ใช้เครื่องมือวัดแรงสั่นสะเทือน แบบสอบถามข้อมูลทั่วไป แบบสอบถามอาการผิดปกติของกล้ามเนื้อหรือกระดูกส่วนหลังส่วนล่าง และแบบสอบถามความพึงพอใจ

ส่วนที่ 1 แบบสอบถามข้อมูลทั่วไป ได้แก่ ลักษณะประชากร ระยะเวลาในการปฏิบัติงานใน 1 วัน ระยะเวลาในการปฏิบัติงานต่อเนื่องที่ยาวนานที่สุดใน 1 วัน ประสบการณ์ในการขับรถติดตั้งตัวตอกเสาเข็มพีระบบสันสะเทือน

ส่วนที่ 2 แบบสอบถามความรู้สึกปวดหลังส่วนล่าง ปรับปรุงมาจากแบบสอบถามอาการปวดกล้ามเนื้อและกระดูกนอร์ดิกเฉพาหลังส่วนล่าง (Nordic Musculoskeletal Questionnaire: NMQ) (Kuorinka et al., 1987) ประยุกต์ประเมินผลร่วมกับแบบประเมินวัดระดับความรุนแรงของความรู้สึกปวดคือ Visual Analogue Scale (VAS) (Crichton, 2011) ซึ่งแบ่งระดับอาการผิดปกติออกมาเป็นตัวเลขเป็นคะแนนตั้งแต่ 0-10 คะแนน และแปลผลความรู้สึกปวดหลังส่วนล่าง ออกเป็น 5 ระดับตั้งแต่ไม่มีความรู้สึกปวด มีความรู้สึกปวดเล็กน้อย ปวดปานกลาง ปวดมาก จนถึงปวดรุนแรง (Wewers & Lowe, 1990)

จากแบบสอบถามนอร์ดิก เฉพาหลังส่วนล่าง Standardized Nordic Questionnaire (เฉพาหลังส่วนล่าง) และ เพื่อใช้สัมภาษณ์อาการความรู้สึกปวดหลังส่วนล่างที่มีผลต่อการทำงาน หรือการใช้ชีวิตประจำวันของพนักงานขับรถติดตั้งตัวตอกเสาเข็มพีระบบสันสะเทือน

เกณฑ์การให้คะแนน โดยใช้ Visual Analog Scale (VAS) ซึ่งแบ่งเป็น 10 คะแนน ตั้งแต่ 0 คือ ไม่มีความรู้สึกปวด จนถึง 10 คือ ปวดมากที่สุด (Crichton, 2001) ดังนี้



ภาพที่ 3-1 การประเมินความรู้สึกปวดของหลังส่วนล่างโดยการให้คะแนน

การแปลผลความรู้สึกปวดหลังส่วนล่างออกเป็น 5 ระดับ ดังนี้ (Wewers & Lowe, 1990)

คะแนน 0	หมายถึง ไม่มีความรู้สึกปวด
คะแนน 1-3	หมายถึง มีความรู้สึกปวดน้อย
คะแนน 4-6	หมายถึง มีความรู้สึกปวดปานกลาง
คะแนน 7-9	หมายถึง มีความรู้สึกปวดมาก
คะแนน 10	หมายถึง มีความรู้สึกปวดมากที่สุด(รุนแรงจนทนไม่ไหว)

ส่วนที่ 3 แบบสอบถามความพึงพอใจหลังการใช้เบาร่องนั่งเพื่อลดแรงสั่นสะเทือนของพนักงานขับรถติดตั้งตัวตอกเสาเข็มพีดระบบสั่นสะเทือน เช่น ใช้สะดวก ไม่ขัดขวางการปฏิบัติงาน ปกติของพนักงานขับรถติดตั้งตัวตอกเสาเข็มพีดระบบสั่นสะเทือน วัดจากแบบสอบถามความพึงพอใจหลังการใช้เบาร่องนั่งเพื่อลดความสั่นสะเทือน ประยุกต์มาจากศูนย์ธนันท์ รักษพงษ์ ประเมินผล 5 ระดับ คือ มากที่สุด มาก ปานกลาง น้อย น้อยที่สุด โดยพัฒนาแบบสอบถามความพึงพอใจเป็นแบบมาตราส่วนประมาณค่า (Rating scale) 5 ระดับ ตามเทคนิคของลิกเคนร์ท (Likert) (บุญชุม ศรีสะอาด, 2545) ดังนี้

ระดับ ความพึงพอใจ	มากที่สุด	5	คะแนน
ระดับ ความพึงพอใจ	มาก	4	คะแนน
ระดับ ความพึงพอใจ	ปานกลาง	3	คะแนน
ระดับ ความพึงพอใจ	น้อย	2	คะแนน
ระดับ ความพึงพอใจ	น้อยที่สุด	1	คะแนน

วิธีการแปลผลแบบสอบถามส่วนนี้ได้ใช้คะแนนเฉลี่ยในแต่ละระดับชั้น โดยการใช้สัดสีพื้นฐาน คือการหาค่าพิสัย (ค่ามากสุด – ค่าน้อยสุด) และการใช้สูตรการคำนวณหาความกว้างของอันตรภาคชั้น (วิชิต อุ่อัน, 2548) ได้ดังนี้

$$\text{ความกว้างของอันตรภาคชั้น} = \frac{\text{คะแนนที่มีค่ามากสุด} - \text{คะแนนที่มีค่าน้อยสุด}}{\text{จำนวนชั้น}}$$

$$\text{ความกว้างของอันตรภาคชั้น} = \frac{5-1}{5} = 0.8$$

ดังนั้น สามารถกำหนดเกณฑ์เฉลี่ยของระดับความพึงพอใจหลังการใช้เบาะรองนั่งเพื่อลดแรงสั่นสะเทือนของพนักงานขับรถติดตั้งตัวตอกเสาเข็มพีรูบบสั่นสะเทือน ได้ดังนี้

ค่าเฉลี่ย 4.21 – 5.00 หมายถึง ระดับ ความพึงพอใจมากที่สุด

ค่าเฉลี่ย 3.41 – 4.20 หมายถึง ระดับ ความพึงพอใจมาก

ค่าเฉลี่ย 2.61 – 3.40 หมายถึง ระดับ ความพึงพอใจกลาง

ค่าเฉลี่ย 1.81 – 2.60 หมายถึง ระดับ ความพึงพอใจ น้อย

ค่าเฉลี่ย 1.00 – 1.80 หมายถึง ระดับ ความพึงพอใจ น้อยที่สุด

ส่วนที่ 4 ข้อเสนอแนะเพิ่มเติมของผู้ตอบแบบสอบถาม

4. เครื่องมือในการตรวจวัดแรงสั่นสะเทือน (Vibration meter) ใช้เครื่องมือวัดแรงสั่นสะเทือน ที่ประกอบด้วยตัวเครื่องและหัววัด ติดตั้งตามมาตรฐานที่กำหนดใน ISO 2631-1: 1997 การติดตั้งหัววัดต้องเป็นไปตามทิศทางแนวแกน x, y และ z ที่มีความสั่นสะเทือนที่ยอมให้เบี่ยงเบนได้ 15 องศา เครื่องมือวัดแรงสั่นสะเทือนที่เป็นไปตามมาตรฐาน ISO 8041: 2005 หรือมาตรฐานอื่นที่เทียบเท่า และสอบเทียบเครื่องมือและอุปกรณ์เกี่ยวกับความสั่นสะเทือนจะทำการปรับความถูกต้องตามมาตรฐานปัจจุบันโดยวิธี Laser Interferometer ที่จะทำการสอบเทียบหัววัดความเร่ง (Accelerometer) ในช่วงความถี่ 50-50,000 Hz

4.1 เครื่องวัดความสั่นสะเทือน (Vibration meter) มีส่วนประกอบของเครื่องวัดคือหัววัด (Transducer) ที่มีหน้าที่ในการเปลี่ยนพลังงานในภาพของความสั่นสะเทือนเป็นพลังงานไฟฟ้า กระบวนการส่งสัญญาณ และจอภาพ ที่มีค่าพารามิเตอร์ต่าง ๆ ของความสั่นสะเทือนที่เกิดกับผู้ปฏิบัติงาน จะประกอบไปด้วย ตัวเครื่องที่มีจอยแสดงผลการตรวจวัด โดยมีช่องเสียงสำหรับต่อสายวัดที่มีหัวดอยู่ด้วย สำหรับวัดความสั่นสะเทือนทั้งสามตัว จะมีลักษณะเป็นแผ่น ดังภาพที่ 3-2 โดยวางหัววัดไว้ระหว่างร่างกายกับตำแหน่งที่สัมผัสกับร่างกายในการวัดความสั่นสะเทือน และมีส่วนประกอบหลัก ๆ อよ 4 ส่วน คือ

4.1.1 ตัวรับสัญญาณ ซึ่งสามารถวัดได้ทั้งการเคลื่อนที่ ความเร็ว และความเร่ง แต่ที่นิยมใช้คือความเร่ง ภายในตัวรับสัญญาณจะบรรจุ Piezoelectric element ซึ่งมีลักษณะเป็นผลึกแร่อัดแน่นอยู่ จะเกิดประจุไฟฟ้าเมื่อมีความสั่นสะเทือนเกิดขึ้น

4.1.2 เครื่องขยายสัญญาณ (Amplifier) มีหน้าที่ขยายสัญญาณไฟฟ้าที่ได้รับจากตัวรับสัญญาณ

4.1.3 เครื่องวิเคราะห์ความสั่นสะเทือน (Analyzer) จะทำการตรวจวิเคราะห์สัญญาณไฟฟ้าที่ได้รับการขยายสัญญาณแล้วออกมาเป็นค่าต่าง ๆ

4.1.4 เครื่องบันทึกความสั่นสะเทือน (Vibration recorder) จะทำการบันทึกและแปลผลการตรวจวัด ซึ่งอาจจะแสดงเป็นตัวเลขหรือเป็นเข็มชี้บนหน้าปัด



ภาพที่ 3-2 เครื่องมือวิเคราะห์ความสั่นสะเทือน (Vibration Meter) ยี่ห้อ Quest Technologies, Inc.

รุ่น:VI-410SN :21729

4.2 วิธีการใช้เครื่องมือวัดความสั่นสะเทือน

เมื่อติดตั้งแผ่นวัดความสั่นสะเทือนตามจุดต่าง ๆ ที่ความสั่นสะเทือนเข้าสู่ร่างกายตรงตำแหน่งที่ร่างกายสัมผัสกันแหล่งความสั่นสะเทือน ตามที่ได้กล่าวไว้ก่อนหน้านี้แล้ว การวัดความสั่นสะเทือนทั้งร่างกายแนะนำให้วัดอย่างน้อย 20 นาที ให้ปรับเครื่องมือตามค่าฟังชั่นไปที่การถ่วงตามความถี่ เช่น เลือก W_k สำหรับการประเมินความสั่นสะเทือนที่มีผลต่อสุขภาพ ที่เกิดตามแนวแกน z หรือเลือก W_c สำหรับการประเมินความสั่นสะเทือนที่มีผลต่อสุขภาพ

4.2.1 การติดตั้งหัววัด ติดตั้งอยู่ระหว่างแหล่งกำเนิดความสั่นสะเทือนกับร่างกายของผู้ปฏิบัติงาน คือติดตั้งหัววัดที่บนที่นั่งของเก้าอี้

4.2.2 ทิศทางการวัด วัดในทิศทางเดียวกันกับแรงสั่นสะเทือนที่เกิดขึ้น ติดตั้งหัววัดตามแนวแกน x, y และ z ย้อมให้เบี่ยงเบนໄได้ 15 องศา ติดตั้งหัววัดเพื่อวัดความสั่นสะเทือนตามแนวแกนอื่นที่เหลือ (x, y) ควรติดหัววัดตามลักษณะมุนที่ตั้งจากกันทั้งสามแกน

4.3 ตรวจวัดค่าความเร่งของแรงสั่นสะเทือนก่อนการใช้เบาะรองนั่งและนำเบาะรองนั่งติดตัวในการปฏิบัติงานตามภาพที่ 3-6 และดำเนินการตรวจวัดค่าความเร่งของแรงสั่นสะเทือนทันทีเพื่อควบคุมความคลาดเคลื่อนความแตกต่างของชั้นดินที่อาจส่งผลต่อค่าความสั่นสะเทือนโดยกำหนดค่าความเร่งของแรงสั่นสะเทือนที่ต้องมีอยู่ในช่วง 0.5 - 8 m/s² สำหรับการรับแรงสั่นสะเทือนที่ต้องมากกว่า 20 นาที ทำการคำนวณนำหน้ากับความถี่ คำนวณหาค่าความสั่นสะเทือนรวม จากแต่ละแนวแกน แล้วคำนวณหาค่า RMS เทียบกับค่ามาตรฐาน 8 ชั่วโมงการทำงาน แล้วแปลงผล

โดยทำการคำนวณค่าความเร่ง ที่ปรับลดลงนำหน้ากับการติดตัว บริเวณที่นั่งของผู้ปฏิบัติงานซึ่งเป็นบริเวณส่วนที่ได้รับการรับแรงสั่นสะเทือน ระยะเวลาการวัดต้องมากกว่า 20 นาที ทำการคำนวณนำหน้ากับความถี่ คำนวณหาค่าความสั่นสะเทือนรวม จากแต่ละแนวแกน แล้วคำนวณหาค่า RMS เทียบกับค่ามาตรฐาน 8 ชั่วโมงการทำงาน แล้วแปลงผล

$$a_v = \left(k_x^2 a_{wx}^2 + k_y^2 a_{wy}^2 + k_z^2 a_{wz}^2 \right)^{\frac{1}{2}}$$

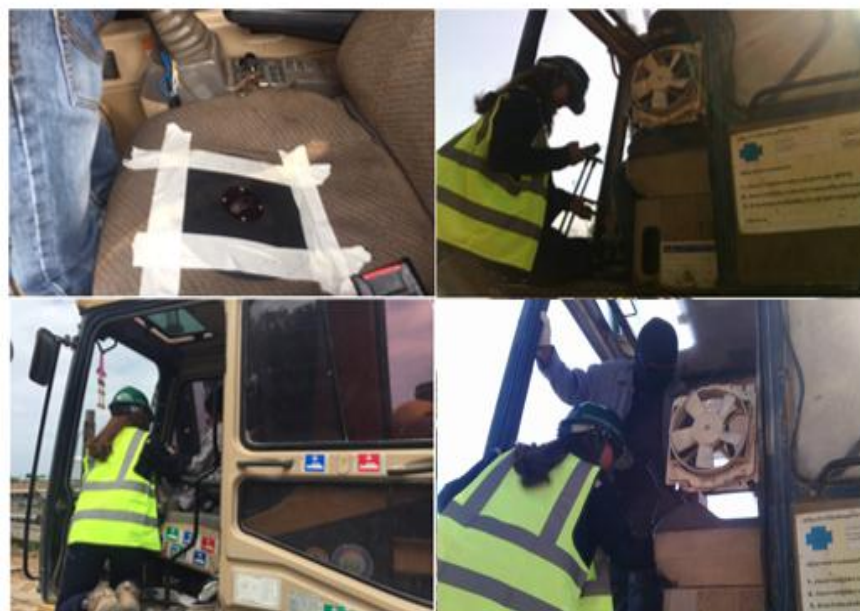
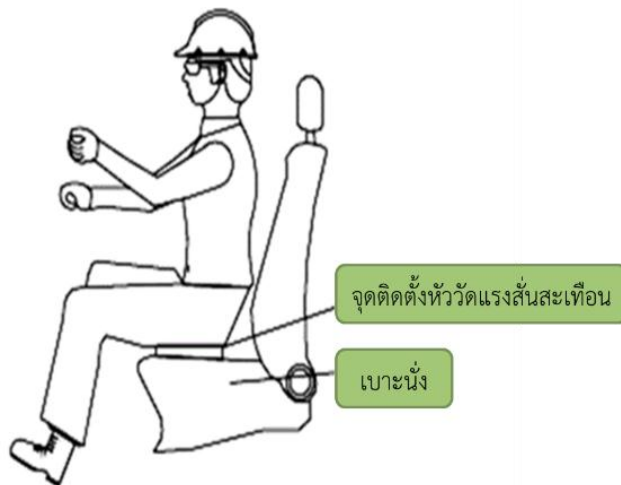
เมื่อ a_{wx}, a_{wy}, a_{wz} = ค่ารากที่สองของค่าเฉลี่ยความเร่ง ตามแนวแกน x,y และ z
 k_x, k_y, k_z = แฟกเตอร์ตัวคูณ ที่ระบุไว้ในผลกระแทกต่อสุขภาพในแนวแกน X และ Y = 1.4 และแนวแกน Z = 1

และคำนวณเป็นค่าความเร่งที่ได้รับสมมติ 8 ชั่วโมงการทำงานจากสูตร

$$A(8) = a_{hw} \sqrt{\frac{T}{T_0}}$$

เมื่อ A(8) = ค่าแรงสั่นสะเทือนที่ผู้ปฏิบัติงานได้รับในหนึ่งวัน (8 ชั่วโมง)
T = ระยะเวลาที่ได้รับแรงสั่นสะเทือนในขณะทำงาน
T₀ = เวลาที่ทำงานอ้างอิงที่ 8 ชั่วโมง

โดยประเมินผลค่าความเร่งรวม 3 แนวแกนตามมาตรฐานที่กำหนดใน ISO 2631 ซึ่งไม่ควรเกิน 0.5 m/s² (ISO 2631-1: 1997)



ภาพที่ 3-3 ลักษณะการตรวจวัดแรงสั่นสะเทือนและตำแหน่งการวางเบาะรองนั่ง

5. การออกแบบเบาะรองนั่งเพื่อลดแรงสั่นสะเทือน

วัสดุของเบาะรองนั่งเพื่อลดแรงสั่นสะเทือนในงานวิจัยนี้คือ ยางธรรมชาติ ยางไนไตรด์ ยางบิวไทร์ และพسانด้วยวัสดุประสาน โดยขนาดกว้างเท่ากับค่าเบอร์เซนไทร์ที่ 95 ของความกว้างสะโพกกลุ่มตัวอย่าง ความลึกกำหนดจากค่าเบอร์เซนไทร์ที่ 5 ของระยะจากสะโพกถึงข้อพับขาด้านในของกลุ่มตัวอย่าง ความหนาใช้ค่ามาตรฐานความสูงของเบาะตามมาตรฐาน (Haworth, 2002) ที่แนะนำแนวทางเบาะที่เป็นไปตามหลักการยศาสตร์ค่ามาตรฐานคือ 15-19.9 นิ้ว คือ ยางแต่ละชนิดหนาชั้นละ 20 มิลลิเมตร

ขั้นที่ 1 ย่างธรรมชาติ ความลึกของเบาะรองนั่งใช้ค่าเปอร์เซนไทล์ที่ 5 ของระยะจากสะโพกถึงข้อพับขาด้านในมีขนาดความกว้าง 380 มม. ความกว้างของเบาะรองนั่งค่าเปอร์เซนไทล์ที่ 95 ของความกว้างสะโพก ความยาว 390 มม. และความหนา 20 มม.อยู่ในค่ามาตรฐานการแนะนำของ Haworth ที่แนะนำแนวทางเบะที่เป็นไปตามหลักการยศาสตร์อยู่ในช่วง 15-19.9 นิ้ว จากพื้นถึงที่นั่ง (Haworth, 2002)



ภาพที่ 3-4 ภาพประกอบเบาะขั้นที่ 1 ด้วยย่างธรรมชาติ

ขั้นที่ 2 ย่างไนโตรล์ ความลึกของเบาะรองนั่งใช้ค่าเปอร์เซนไทล์ที่ 5 ของระยะจากสะโพกถึงข้อพับขาด้านในมีขนาดความกว้าง 380 มม. ความกว้างของเบาะรองนั่งค่าเปอร์เซนไทล์ที่ 95 ของความกว้างสะโพก ความยาว 390 มม. และความหนา 20 มม.อยู่ในค่ามาตรฐานการแนะนำของ Haworth ที่แนะนำแนวทางเบะที่เป็นไปตามหลักการยศาสตร์อยู่ในช่วง 15-19.9 นิ้ว จากพื้นถึงที่นั่ง (Haworth, 2002)



ภาพที่ 3-5 ภาพประกอบเบาะขั้นที่ 2 ด้วยย่างไนโตรล์

ขั้นที่ 3 ยางบิวไทร์ ความลึกของเบาะรองนั่งใช้ค่าเบอร์เซนไทร์ที่ 5 ของระยะจากสะโพกถึงข้อพับขาด้านในมีขนาดความกว้าง 380 มม. ความกว้างของเบาะรองนั่งค่าเบอร์เซนไทร์ที่ 95 ของความกว้างสะโพก ความยาว 390 มม. และความหนา 20 มม. อุญี่สูนค่ามาตรฐานการแนะนำของ Haworth ที่แนะนำแนวทางเบาะที่เป็นไปตามหลักการยศาสตร์อยู่ในช่วง 15-19.9 นิ้ว จากพื้นถึงที่นั่ง (Haworth, 2002)



ภาพที่ 3-6 ภาพประกอบเบาะชั้นที่ 3 ด้วยยางบิวไทร์

การตรวจสอบคุณภาพของเครื่องมือ

1. ความเที่ยงตรงเชิงเนื้อหา (Content validity) นำแบบสอบถามซึ่งประกอบไปด้วย ข้อมูลทั่วไปของผู้ตอบแบบสอบถาม และความพึงพอใจหลังการใช้เบาะรองนั่งเพื่อลดแรงสั่นสะเทือน ตรวจสอบความถูกต้องเชิงเนื้อหาโดยผู้เชี่ยวชาญ 3 ท่าน แล้วนำมาปรับปรุงแก้ไขตามข้อเสนอแนะของผู้เชี่ยวชาญก่อนที่จะนำไปทดลองใช้ต่อไป

2. เครื่องวัดแรงสั่นสะเทือนผ่านการรับรองการสอบเทียบเครื่องมือตามมาตรฐาน ISO 8041:2005 และสอบเทียบเครื่องมือและอุปกรณ์เกี่ยวกับความสั่นสะเทือนจะทำการปรับความถูกต้องตามมาตรฐานปัจจุบันโดยวัดด้วย Laser Interferometer ที่จะทำการสอบเทียบหัววัดความเร่ง (Accelerometer) ในช่วงความถี่ 50-50,000 Hz รับรองการสอบเทียบหมายเลขอ 0307/10760 จากกรมวิทยาศาสตร์บริการ เมื่อวันที่ 13 กันยายน 2559 ซึ่งทำให้เครื่องวัดแรงสั่นสะเทือนที่ตรวจวัดได้มีความน่าเชื่อถือ

การพิทักษ์สิทธิของกลุ่มตัวอย่าง

การศึกษาวิจัยในครั้งนี้ ก่อนทำการเก็บรวบรวมข้อมูล ผู้วิจัยได้ขอรับรองจริยธรรม การวิจัยจากคณะกรรมการพิจารณาจริยธรรมการวิจัยในมนุษย์ คณะสาธารณสุขศาสตร์ มหาวิทยาลัยบูรพา หมายเลขอ้างอิง IRB 002/2560 ผู้วิจัยได้เข้าไปชี้แจงวัตถุประสงค์ของการวิจัย ขั้นตอนการเก็บข้อมูล ระยะเวลาในการเก็บรวบรวมข้อมูล และแจ้งให้กลุ่มตัวอย่างเข้าใจถึงการพิทักษ์สิทธิของกลุ่มตัวอย่าง การเข้าร่วมการศึกษาวิจัยเป็นไปด้วยความสมัครใจ ไม่มีการบังคับ โดยกลุ่มตัวอย่างมีสิทธิ์ในการตัดสินใจเข้าร่วมหรือถอนตัวระหว่างทำการวิจัยซึ่งจะไม่เกิดผลกระทบใด ๆ ต่อกลุ่มตัวอย่าง ผลการวิจัยครั้งนี้จะปกปิดเป็นความลับ การนำเสนอข้อมูลของกลุ่มตัวอย่าง จะนำเสนอในภาพรวม ไม่มีการระบุชื่อหน่วยงาน ชื่อกลุ่มตัวอย่างก่อนการได้รับอนุญาต ผู้วิจัยจะดำเนินการด้วยความระมัดระวัง รักภูมิ ผู้ยินดีเข้าร่วมเป็นกลุ่มตัวอย่างทุกคน ได้ลงนามในใบยินยอม เข้าร่วมเป็นกลุ่มตัวอย่าง และงานวิจัยนี้ผ่านการรับรองจริยธรรมการวิจัยจากคณะกรรมการพิจารณาจริยธรรมการวิจัยในมนุษย์ คณะสาธารณสุขศาสตร์ มหาวิทยาลัยบูรพา ก่อนดำเนินการวิจัย

การเก็บรวบรวมข้อมูล

ขั้นตอนในการเก็บรวบรวมข้อมูลมีดังนี้ คือ

1. นำหนังสือขออนุญาตเก็บรวบรวมข้อมูลจากภาควิชาสุขศาสตร์ อุตสาหกรรมและความปลอดภัย คณะสาธารณสุขศาสตร์ มหาวิทยาลัยบูรพา ขอความร่วมมือผู้จัดการของโครงการก่อสร้างแห่งหนึ่งในจังหวัดพระนครศรีอยุธยา เพื่อชี้แจงวัตถุประสงค์ รายละเอียดเกี่ยวกับการเก็บข้อมูลและขออนุญาตในการเก็บข้อมูล
2. พบผู้จัดการของโครงการก่อสร้างแห่งหนึ่ง โดยการชี้แจงวัตถุประสงค์ข้อมูลสำหรับผู้ที่เข้าร่วมในการวิจัย เช่นยินยอมเข้าร่วมการวิจัย รายละเอียดเกี่ยวกับการเก็บข้อมูล ขออนุญาตเก็บข้อมูล โดยกำหนด วันที่ 19 มีนาคม 2560 เพื่อดำเนินการเก็บรวบรวมข้อมูล
3. ผู้วิจัยดำเนินการชี้แจงข้อมูลสำหรับผู้ที่เข้าร่วมในการวิจัยและการเชื่อมโยงเข้าร่วมการวิจัย โดยขอความร่วมมือพนักงานที่เป็นกลุ่มตัวอย่างของงานก่อสร้างเขื่อนป้องกันตลิ่งแห่งหนึ่งในจังหวัดพระนครศรีอยุธยา
4. ผู้วิจัยดำเนินการเก็บรวบรวมข้อมูล โดยการสำรวจขั้นตอนการก่อสร้างประเมินความรู้สึกปวดหลังส่วนล่างก่อนใช้เบาะรองนั่ง
5. ตรวจวัดค่าความเร่งของแรงสั่นสะเทือนก่อนการใช้เบาะรองนั่งและนำเบาะรองนั่งติดตั้งใช้ในการปฏิบัติงานตามภาพที่ 3-6 และดำเนินการตรวจวัดค่าความเร่งของแรงสั่นสะเทือนทันทีเพื่อควบคุมความคลาดเคลื่อนความแตกต่างของชั้นดินที่อาจส่งผลต่อค่าความสั่นสะเทือน

โดยกำหนดด้วยการวัดทิศทางแกนตามมาตรฐานการตรวจวัด สอบเทียบมาตรฐานเครื่องมือกับหน่วยงานที่ได้รับการรับรองการสอบเทียบ ดำเนินการติดตั้งหัววัด บริเวณที่นั่งของผู้ปฏิบัติงานซึ่งเป็นบริเวณส่งผ่านแรงสั่นสะเทือน ระยะเวลาการวัดต้องมากกว่า 20 นาที ทำการน้ำหนักตามความถี่คำนวณหาค่าความสั่นสะเทือนรวม จากแต่ละแนวแกน แล้วคำนวณหาค่า RMS เทียบกับค่ามาตรฐาน 8 ชั่วโมงการทำงาน แล้วแปลผล

ก่อนการใช้เบาะรองนั่ง



หลังการใช้เบาะรองนั่ง



ภาพ 3-7 การตรวจวัดค่าความเร่งของแรงสั่นสะเทือนก่อนการใช้เบาะรองนั่ง



ภาพ 3-8 การตรวจวัดค่าความเร่งของแรงสั่นสะเทือนหลังการใช้เบาะรองนั่ง

6. เก็บแบบสอบถามการปัดหลังส่วนล่าง ความพึงพอใจหลังการใช้เบาะรองนั่งเพื่อลดค่าแรงสั่นสะเทือนเมื่อระยะเวลา ผ่านไป 1 เดือนทุกคน



ภาพ 3-9 ภาพการสอบความรู้สึกปวดบริเวณหลังส่วนล่าง

7. เมื่อเปรียบเทียบค่าแรงสั่นสะเทือน ความรู้สึกปวดหลังส่วนล่างก่อนหลัง ใช้เบารองนั่ง เพื่อลดแรงสั่นสะเทือน
8. บันทึกผลและทำการวิเคราะห์ผลที่ได้จากและนำไปอภิปรายผลการวิจัยต่อไป

การวิเคราะห์ข้อมูล

1. สัมมติพิรรณานา (Descriptive statistics) ใช้หาจำนวน ร้อยละ ค่าเฉลี่ย ส่วนเบี่ยงเบนมาตรฐานลักษณะประชากร ระยะเวลาในการปฏิบัติงานใน 1 วัน ระยะเวลาในการปฏิบัติงานต่อเนื่องที่ยาวนานที่สุดใน 1 วัน ประสบการณ์ในการขับรถติดตั้งตัวตอกเสาเข็มพีดระบบสั่นสะเทือน ข้อมูลทั่วไป จำนวน 4 ข้อ ประกอบไปด้วย อายุ น้ำหนัก ส่วนสูง ประสบการณ์ในการควบคุมเครื่องจักร ระยะเวลาในการปฏิบัติงานใน 1 วัน ระยะเวลาในการปฏิบัติงานต่อเนื่องที่ยาวนานที่สุดใน 1 วัน ความรู้สึกปวดหลังส่วนล่าง ความพึงพอใจ โดยใช้โปรแกรมสำหรับป

2. สัมมติวิเคราะห์ (Analysis statistics) เปรียบเทียบความแตกต่างของแรงสั่นสะเทือน หรือค่าเฉลี่ยความเร่งแรงสั่นสะเทือนที่ผู้ปฏิบัติงานขับรถติดตั้งตัวตอกเสาเข็มพีดระบบสั่นสะเทือน ได้รับสัมผัสที่เบาะนั่งส่งผ่านมาซึ่งร่างกายของพนักงานก่อนและหลังการใช้เบารองนั่งเพื่อลดแรงสั่นสะเทือน นำค่าที่ได้มาหาค่าเฉลี่ยและใช้สัมมติวิเคราะห์ The Wilcoxon Signed-Ranks Test วิเคราะห์โดยใช้โปรแกรมสำหรับป เปรียบเทียบค่าเฉลี่ยความเร่งของแรงสั่นสะเทือนก่อนและหลังการใช้เบารองนั่ง

บทที่ 4

ผลการวิจัย

การศึกษาวิจัยครั้งนี้ เพื่อศึกษาเปรียบเทียบค่าความเร่งของแรงสั่นสะเทือนในการขับรถติดตั้งตัวตอกเสาเข็มพีดระบบสั่นสะเทือน ก่อนและหลังการใช้เบาะรองนั่ง ศึกษาเปรียบเทียบความรู้สึกปวดหลังส่วนล่างก่อนและหลังการใช้เบาะรองนั่งและความพึงพอใจหลังใช้เบาะรองนั่งในงานก่อสร้างเพื่อนป้องกันคลื่นพังแห่งหนึ่งในจังหวัดพระนครศรีอยุธยา โดยศึกษากลุ่มของพนักงานขับรถติดตั้งตัวตอกเสาเข็มพีดระบบสั่นสะเทือน ซึ่งเมื่อนำผลที่ได้จากการศึกษาวิจัยมาวิเคราะห์ สามารถแสดงรายละเอียดของผลการวิจัยออกเป็น 4 ส่วน

ส่วนที่ 1 ข้อมูลทั่วไปของกลุ่มตัวอย่าง

ส่วนที่ 2 การประเมินและการเปรียบเทียบการรับสัมผัสแรงสั่นสะเทือน

ส่วนที่ 3 การประเมินและการเปรียบเทียบความรู้สึกปวดบริเวณหลังส่วนล่าง

ส่วนที่ 4 ความพึงพอใจหลังการใช้เบาะรองนั่ง

ส่วนที่ 1 ข้อมูลทั่วไปของกลุ่มตัวอย่าง

จากการศึกษาพนักงานขับรถติดตั้งตัวตอกเสาเข็มพีดระบบสั่นสะเทือนของงานก่อสร้างเพื่อนป้องกันคลื่นพังแห่งหนึ่งในจังหวัดพระนครศรีอยุธยา จำนวน 15 คน ผลการศึกษาพบว่า มีอายุเฉลี่ย 43 ปี ส่วนเมี้ยงเบนมาตรฐาน (SD) เท่ากับ 10.62 ส่วนใหญ่มีอายุระหว่าง 30-39 ปี จำนวน 7 คน กิตดีเป็นร้อยละ 46.67 รองลงมา คือ อายุระหว่าง 40-49 ปี จำนวน 4 คน กิตดีเป็นร้อยละ 26.67 อายุระหว่าง 50-59 ปี และ 60 ปี ขึ้นไป จำนวนช่วงอายุละ 2 คน กิตดีเป็นร้อยละ 13.33 เท่ากับน้ำหนักตัวเฉลี่ยของพนักงานขับรถติดตั้งตัวตอกเสาเข็มพีดระบบสั่นสะเทือน เท่ากับ 68 กิโลกรัม ($SD = 6.6$) ส่วนใหญ่มีน้ำหนักตัว 60-69 กิโลกรัม จำนวน 9 คน กิตดีเป็นร้อยละ 60 รองลงมา คือ 70-79 กิโลกรัม จำนวน 4 คน กิตดีเป็นร้อยละ 26.67 และน้อยที่สุดคือ 80-89 กิโลกรัม จำนวน 2 คน กิตดีเป็นร้อยละ 13.33 พนักงานขับรถติดตั้งตัวตอกเสาเข็มพีดระบบสั่นสะเทือนขับรถต่อวันเฉลี่ยคือ 8 ชั่วโมง ขับรถต่อเนื่องขากวนานที่สุดต่อวันโดยเฉลี่ยคือ 4.6 ชั่วโมง ($SD = 1.18$) พนักงานขับรถติดตั้งตัวตอกเสาเข็มพีดระบบสั่นสะเทือน มีประสบการณ์ในการขับรถติดตั้งตัวตอกเสาเข็มพีดระบบสั่นสะเทือน โดยเฉลี่ยคือ 15.87 ปี ($SD = 9.87$) ดังแสดงในตารางที่ 4-1

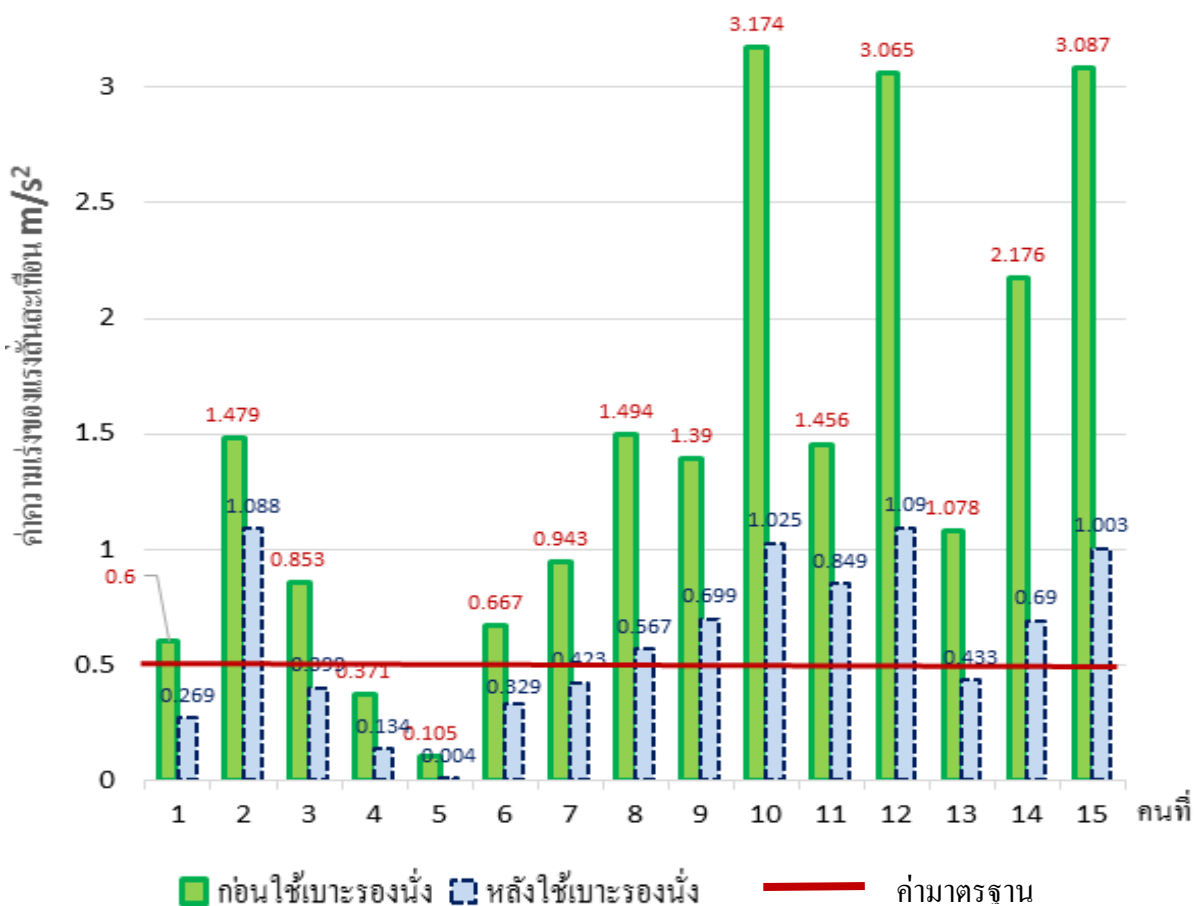
ตารางที่ 4-1 ข้อมูลทั่วไปของกลุ่มตัวอย่าง

ข้อมูลทั่วไปของกลุ่มตัวอย่าง	จำนวน (คน)	ร้อยละ (n = 15)
อายุ		
30-39 ปี	7	46.67
40-49 ปี	4	26.67
50-59 ปี	2	13.33
60 ปี ขึ้นไป	2	13.33
$(\bar{x} = 43.6 \text{ ปี}, SD = 10.62, Max = 65 \text{ ปี}, Min = 31 \text{ ปี})$		
น้ำหนัก		
60-69 กิโลกรัม	9	60.00
70-79 กิโลกรัม	4	26.67
80-89 กิโลกรัม	2	13.33
$(\bar{x} = 68 \text{ กก.}, SD = 6.6, Max = 80 \text{ กก.}, Min = 60 \text{ กก.})$		
ระยะเวลาในขับรถต่อวัน		
8 ชั่วโมง	15	100
$(\bar{x} = 8 \text{ ชม.}, SD = 0, Max = 8 \text{ ชม.}, Min = 8 \text{ ชม.})$		
ระยะเวลาขับรถต่อเนื่องยาวนานที่สุดต่อวัน		
1-2 ชั่วโมง	1	6.67
3-4 ชั่วโมง	6	40.00
5-6 ชั่วโมง	8	5.33
$(\bar{x} = 4.6 \text{ ชม.}, SD = 1.18, Max = 6 \text{ ชม.}, Min = 2 \text{ ชม.})$		
ประสบการณ์ในการขับรถติดตั้งตัวตลอดเส้นทางพื้นถนนสั้นสะเทือน		
1-5 ปี	4	26.67
6-10 ปี	1	6.66
11-15 ปี	3	20.00
16-20 ปี	3	20.00
26-30 ปี	4	26.67
$(\bar{x} = 15.87 \text{ ปี}, SD = 9.87, Max = 30 \text{ ปี}, Min = 3 \text{ ปี})$		

ส่วนที่ 2 การประเมินและการเปรียบเทียบการรับสัมผัสแรงสั่นสะเทือน

2.1 การประเมินการรับสัมผัสแรงสั่นสะเทือน

จากการประเมินการรับสัมผัสแรงสั่นสะเทือนของพนักงานขับรถคิดตั้งตัวตอนเสาเข็มพีดระบบสั่นสะเทือนของงานก่อสร้างเบื้องต้นป้องกันตลิ่งพังแห่งหนึ่งในจังหวัดพระนครศรีอยุธยา ก่อนการใช้เบาะรองนั่งจำนวน 15 คน โดยการตรวจวัดบริเวณที่นั่ง ผลการศึกษาพบว่า ก่อนการใช้เบาะรองนั่งกลุ่มตัวอย่างรับสัมผัสแรงสั่นสะเทือน สูงสุด 3.174 m/s^2 รองลงมาคือ 3.087 m/s^2 และต่ำสุดคือ 0.105 m/s^2 โดยแรงสั่นสะเทือนที่รับสัมผัสมากที่สุดอยู่ในแกน X รองลงมาคือแกน Y และแกน Z ตามลำดับ และหลังจากการใช้เบาะรองนั่ง กลุ่มตัวอย่างรับสัมผัสแรงสั่นสะเทือน สูงสุด 1.090 m/s^2 รองลงมาคือ 1.088 m/s^2 และต่ำสุดคือ 0.004 m/s^2 เมื่อพิจารณาจะพบว่าค่าความเร่งของแรงสั่นสะเทือนหลังการใช้เบาะรองนั่งทั้ง 7 คนที่ลดลงอยู่ในเกณฑ์มาตรฐาน ไม่เกิน 0.5 m/s^2 มีค่าไม่เกิน 1 m/s^2 ส่วนค่าความเร่งของแรงสั่นสะเทือนที่เกินกว่า 1 m/s^2 ทั้ง 8 คนนั้นไม่สามารถให้อยู่ภายใต้ค่ามาตรฐานได้ ดังแสดงในภาพที่ 4-1 และตารางที่ 4-2



ภาพที่ 4-1 ค่าความเร่งของแรงสั่นสะเทือนที่กลุ่มตัวอย่างรับสัมผัส ก่อนและหลังการใช้เบาะรองนั่ง

เมื่อพิจารณา พบว่า เบารองนั่งสามารถ ลดแรงสั่นสะเทือนได้ตั้งแต่ 26.44 % - 96.19 % โดยค่าเฉลี่ยของค่าความเร่งของแรงสั่นสะเทือนหลังการใช้เบารองนั่งสามารถได้โดยเฉลี่ยอยู่ที่ 58.80 % โดยลดลงสุดอยู่ที่ คนที่ 5 คนที่ 14 คนที่ 10 โดยลดได้ร้อยละ 96.19 , 68.29 และ 67.71 ตามลำดับ

ตารางที่ 4-2 ค่าร้อยละของค่าความเร่งของแรงสั่นสะเทือนที่ลดหลังจากการใช้เบารองนั่ง

คนที่	ค่าความเร่งของแรงสั่นสะเทือน m/s^2		ผลการลดแรงสั่นสะเทือน (%)
	ก่อนการใช้	หลังการใช้	
1	0.600	0.269	55.17
2	1.479	1.088	26.44
3	0.853	0.399	53.22
4	0.371	0.134	63.88
5	0.105	0.004	96.19
6	0.667	0.329	50.67
7	0.943	0.423	55.14
8	1.494	0.567	62.05
9	1.390	0.699	49.71
10	3.174	1.025	67.71
11	1.456	0.849	41.69
12	3.065	1.090	64.44
13	1.078	0.433	59.83
14	2.176	0.690	68.29
15	3.087	1.003	67.51
เฉลี่ย	1.46	0.60	58.80

ค่าความเร่งของแรงสั่นสะเทือนที่กลุ่มตัวอย่างรับสัมผัสเทียบกับค่าแนะนำการเฝ้าระวัง อันตรายต่อสุขภาพ ISO 2631-1 1997 สำหรับระยะเวลาปฏิบัติงาน 8 ชั่วโมง / วัน พบว่า ก่อนการใช้เบารองนั่งกลุ่มตัวอย่างรับสัมผัสแรงสั่นสะเทือนเกินกว่าค่าปีกด้วยที่แนะนำที่ไม่ให้พนักงานรับสัมผัสแรงสั่นสะเทือนอยู่ในช่วงที่ต้องดำเนินการเฝ้าระวังอันตรายต่อสุขภาพ (เกินกว่า 0.5 เมตร/

วินาที²จำนวน 13 คน คิดเป็นร้อยละ 86.67 และ น้อยกว่าค่าแนะนำการเฝ้าระวังอันตรายต่อสุขภาพ (น้อยกว่า 0.5 เมตร/วินาที²) จำนวน 2 คน คิดเป็นร้อยละ 13.33 และหลังการใช้เบารองนั่งกลุ่มตัวอย่างรับสัมผัสแรงสั่นสะเทือนเกินอยู่ในช่วงที่ต้องดำเนินการเฝ้าระวังอันตรายต่อสุขภาพ (เกินกว่า 0.5 เมตร/วินาที²) จำนวน 8 คน คิดเป็นร้อยละ 53.33 และ น้อยกว่าค่าแนะนำการเฝ้าระวังอันตรายต่อสุขภาพ (น้อยกว่า 0.5 เมตร/วินาที²) จำนวน 7 คน คิดเป็นร้อยละ 46.67 ดังแสดงในตารางที่ 4-3

ตารางที่ 4-3 ค่าแรงสั่นสะเทือนที่กลุ่มตัวอย่างรับสัมผัสเทียบกับค่าแนะนำการเฝ้าระวังอันตรายต่อสุขภาพ ISO 2631-1,1997

ค่าความเร่งของแรงสั่นสะเทือนเทียบกับค่ามาตรฐาน ISO 2631-1	จำนวน (ร้อยละ) (n = 15)	
	ก่อน	หลัง
แรงสั่นสะเทือน		
ไม่เกิน 0.5 เมตร/วินาที ²	2(13.33)	7(46.67)
เกิน 0.5 เมตร/วินาที ²	13(86.67)	8(53.33)

จากการทดลองพบว่าแรงสั่นสะเทือนที่รับสัมผasmak กว่าสุดอยู่ในแกน X รองลงมาคือ แกน Y และแกน Z ตามลำดับเช่นกัน ดังแสดงในตารางที่ 4-3

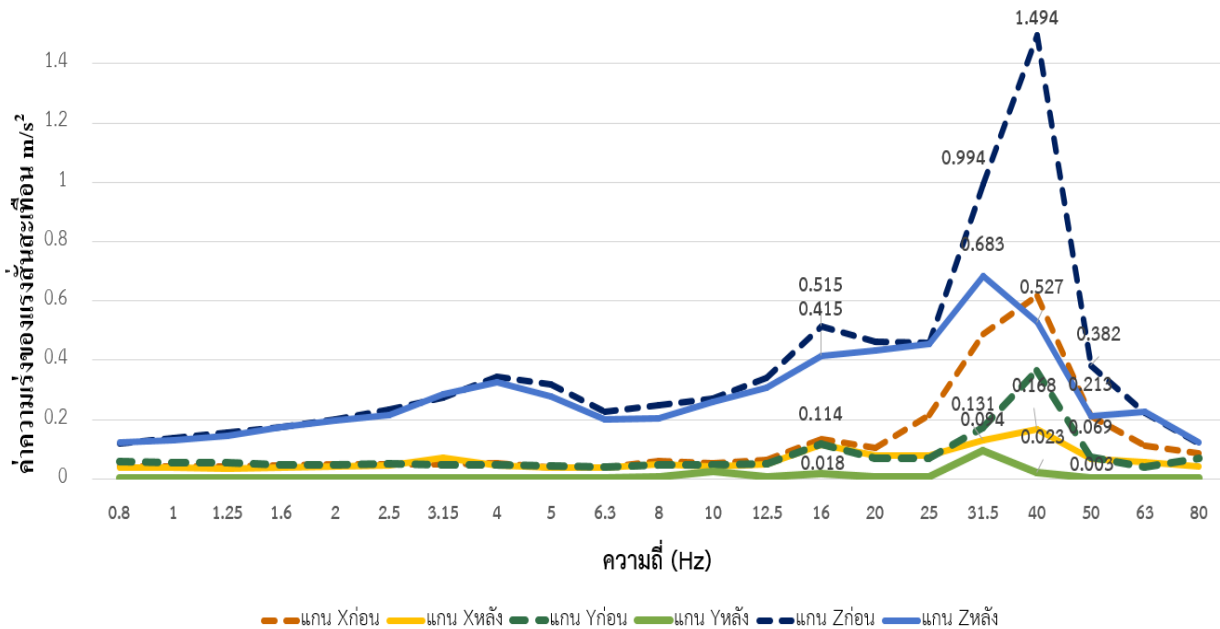
ตารางที่ 4-4 ค่าความเร่งเฉลี่ยของแรงสั่นสะเทือนที่กลุ่มตัวอย่างรับสัมผัส ก่อนและหลังการใช้เบารองนั่ง

ลำดับ ที่	ค่าความเร่งของแรงสั่นสะเทือน (m/s^2)				ค่าความเร่งของแรงสั่นสะเทือน (m/s^2)			
	ก่อนการใช้เบารองนั่ง				หลังการใช้เบารองนั่ง			
	แกน X	แกน Y	แกน Z	รวม	แกน X	แกน Y	แกน Z	รวม
1	0.808	0.005	0.000	0.600	0.398	0.004	0.000	0.269
2	1.141	0.006	0.000	1.479	0.577	0.004	0.000	1.088
3	0.795	0.005	0.000	0.853	0.319	0.003	0.000	0.399
4	1.974	0.012	0.000	0.371	0.242	0.002	0.000	0.134
5	0.945	0.009	0.000	0.105	0.507	0.004	0.000	0.004

ตารางที่ 4-4 (ต่อ)

ลำดับ ที่	ค่าความเร่งของแรงสั่นสะเทือน (m/s^2)				ค่าความเร่งของแรงสั่นสะเทือน (m/s^2)			
	ก่อนการใช้เบาะรองนั่ง				หลังการใช้เบาะรองนั่ง			
	แกน X	แกน Y	แกน Z	รวม	แกน X	แกน Y	แกน Z	รวม
6	0.753	0.004	0.000	0.667	0.490	0.004	0.001	0.329
7	1.498	0.008	0.000	0.943	0.615	0.004	0.000	0.423
8	0.944	0.005	0.000	1.494	0.616	0.004	0.000	0.567
9	1.512	0.008	0.000	1.390	0.795	0.005	0.000	0.699
10	0.799	0.005	0.000	3.174	0.627	0.003	0.000	1.025
11	1.428	0.007	0.000	1.456	0.472	0.003	0.000	0.849
12	1.253	0.006	0.000	3.065	0.515	0.003	0.000	1.090
13	0.973	0.005	0.000	1.078	0.437	0.004	0.000	0.433
14	1.315	0.006	0.000	2.176	0.538	0.003	0.000	0.690
15	1.596	0.008	0.000	3.087	0.682	0.003	0.000	1.003

และเมื่อพิจารณา แยกตามความถี่ที่ส่งผลกระทบต่อสุขภาพ ตั้งแต่ 0.8-80 Hz พบร่วมกัน การใช้เบาะรองนั่งแรงสั่นสะเทือนสูงสุดที่ความถี่ 40 Hz, 31.5 Hz และ 50 Hz ตามลำดับ หลังการใช้เบาะรองนั่งแรงสั่นสะเทือนสูงสุดที่ความถี่ 40 Hz, 31.5 Hz และ 16 Hz ตามลำดับ ดังแสดงในภาพที่ 4-2



ภาพที่ 4-2 ค่าความเร่งเฉลี่ยของแรงสั่นสะเทือนในแต่ละความถี่ ก่อนและหลังการใช้เบาะรองนั่ง

2.2 การเปรียบเทียบการรับสัมผัสแรงสั่นสะเทือน

2.2.1 การเปรียบเทียบค่าเฉลี่ยความเร่งของแรงสั่นสะเทือน ผลการเปรียบเทียบความแตกต่างของค่าเฉลี่ยของค่าความเร่งของแรงสั่นสะเทือนก่อนและหลังการใช้เบาะรองนั่ง ที่พนักงานขับรถติดตั้งตัวอยู่เป็นพีดระบบทันสะเทือน ได้รับจากการส่งผ่านบริเวณที่นั่งพบว่ามีค่าเฉลี่ยก่อนการใช้เบาะรองนั่งเท่ากับ 1.46 m/s^2 และหลังการใช้เบาะรองนั่ง 0.60 m/s^2 โดยมีความแตกต่างกันอย่างมีนัยสำคัญทางสถิติที่ระดับ 0.01 ค่า P-value เท่ากับ 0.001 ดังแสดงในตารางที่ 4-5

ตารางที่ 4-5 ผลการเปรียบเทียบ ความแตกต่างของค่าเฉลี่ยของค่าความเร่งของแรงสั่นสะเทือน ก่อนและหลังการใช้เบาะรองนั่ง

ค่าความเร่งของแรงสั่นสะเทือน	จำนวน (คน)	ค่าเฉลี่ย (m/s^2)	P-value
ก่อนใช้เบาะรองนั่ง	15	1.46	0.001*
หลังใช้เบาะรองนั่ง	15	.600	

* มีนัยสำคัญทางสถิติที่ระดับ 0.01

4.2 ผลการเปรียบเทียบความแตกต่างของค่าเฉลี่ยของค่าความเร่งของแรงสั่นสะเทือนของแต่ละความถี่ พบว่า ความแตกต่างของค่าเฉลี่ยของค่าความเร่งของแรงสั่นสะเทือนของแต่ละความถี่ ก่อนและหลังการใช้เบาะรองนั่งมีความแตกต่างกันมีนัยสำคัญทางสถิติที่ระดับ 0.05 แกน X ที่ความถี่ 0.8 Hz, 25 Hz, 31.5 Hz, 40 Hz, 50 Hz แกน Y ที่ความถี่ 31.5 Hz, 40 Hz และ 50 Hz แกน Z ที่ความถี่ 40 Hz และ 80 Hz โดยสามารถได้ทั้งสามแนวแกน X Y Z ได้ที่ความถี่เดียว คือ 40 Hz ดังแสดงในตารางที่ 4-6

ตารางที่ 4-6 ผลการเปรียบเทียบความแตกต่างของค่าเฉลี่ยของค่าความเร่งของแรงสั่นสะเทือนของแต่ละความถี่ ก่อนและหลังการใช้เบาะรองนั่ง

ความถี่ (Frequency)	ค่าความเร่งของแรงสั่นสะเทือน (m/s^2)		
	แกน X	แกน Y	แกน Z
0.8 Hz			
ก่อนการใช้เบาะรองนั่ง	0.042(0.015)	0.057(0.151)	0.120(0.035)
หลังการใช้เบาะรองนั่ง	0.037(0.022)	0.003(0.009)	0.122(0.050)
P-value	.034*	.460	0.820
1 Hz			
ก่อนการใช้เบาะรองนั่ง	0.043(0.014)	0.056(0.147)	0.136(0.038)
หลังการใช้เบาะรองนั่ง	0.037(0.017)	0.003(0.011)	0.129(0.052)
P-value	.379	.307	.629
1.25 Hz			
ก่อนการใช้เบาะรองนั่ง	0.043(0.015)	0.053(0.140)	0.157(0.051)
หลังการใช้เบาะรองนั่ง	0.036(0.015)	0.003(0.011)	0.146(0.068)
P-value	.306	.776	.427
1.6 Hz			
ก่อนการใช้เบาะรองนั่ง	0.046(0.023)	0.048(0.126)	0.173(0.067)
หลังการใช้เบาะรองนั่ง	0.039(0.017)	0.003(0.010)	0.175(0.095)
P-value	.955	.691	.712

* มีนัยสำคัญทางสถิติที่ระดับ 0.05

ตารางที่ 4-6 (ต่อ)

ความถี่ (Frequency)	ค่าความเร่งของแรงสั่นสะเทือน (m/s^2)		
	แกน X	แกน Y	แกน Z
2 Hz			
ก่อนการใช้เบาะรองนั่ง	0.050(0.035)	0.048(0.125)	0.199(0.093)
หลังการใช้เบาะรองนั่ง	0.041(0.019)	0.003(0.011)	0.198(0.120)
P-value	.776	.379	.427
2.5 Hz			
ก่อนการใช้เบาะรองนั่ง	0.051(0.030)	0.051(0.135)	0.233(0.086)
หลังการใช้เบาะรองนั่ง	0.044(0.020)	0.004(0.014)	0.217(0.117)
P-value	.766	.211	.798
3.15 Hz			
ก่อนการใช้เบาะรองนั่ง	0.051(0.017)	0.048(0.127)	0.275(0.110)
หลังการใช้เบาะรองนั่ง	0.073(0.085)	0.004(0.014)	0.285(0.165)
P-value	.078	.147	.955
4 Hz			
ก่อนการใช้เบาะรองนั่ง	0.052(0.013)	0.047(0.125)	0.344(0.112)
หลังการใช้เบาะรองนั่ง	0.047(0.018)	0.004(0.016)	0.325(0.159)
P-value	.910	.363	.776
5 Hz			
ก่อนการใช้เบาะรองนั่ง	0.039(0.015)	0.045(0.118)	0.319(0.112)
หลังการใช้เบาะรองนั่ง	0.038(0.016)	0.004(0.014)	0.277(0.140)
P-value	.650	.099	.820
6.3 Hz			
ก่อนการใช้เบาะรองนั่ง	0.040(0.047)	0.040(0.105)	0.228(0.074)
หลังการใช้เบาะรองนั่ง	0.038(0.016)	0.003(0.010)	0.199(0.105)
P-value	.078	.507	.932

* มีนัยสำคัญทางสถิติที่ระดับ 0.05, ** มีนัยสำคัญทางสถิติที่ระดับ 0.01

ตารางที่ 4-6 (ต่อ)

ความถี่ (Frequency)	ค่าความเร่งของแรงสั่นสะเทือน (m/s^2)		
	แกน X	แกน Y	แกน Z
8 Hz			
ก่อนการใช้เบาะรองนั่ง	0.060(0.057)	0.048(0.127)	0.249(0.129)
หลังการใช้เบาะรองนั่ง	0.049(0.021)	0.005(0.019)	0.205(0.091)
P-value	.334	.088	.842
10 Hz			
ก่อนการใช้เบาะรองนั่ง	0.054(0.045)	0.049(0.130)	0.272(0.094)
หลังการใช้เบาะรองนั่ง	0.041(0.018)	0.025(0.077)	0.260(0.127)
P-value	.691	.173	.570
12.5 Hz			
ก่อนการใช้เบาะรองนั่ง	0.063(0.033)	0.050(0.132)	0.342(0.118)
หลังการใช้เบาะรองนั่ง	0.048(0.025)	0.006(0.022)	0.306(0.147)
P-value	.910	.334	.820
16 Hz			
ก่อนการใช้เบาะรองนั่ง	0.135(0.052)	0.118(0.326)	0.515(0.224)
หลังการใช้เบาะรองนั่ง	0.114(0.078)	0.018(0.067)	0.415(0.205)
P-value	.691	.755	.776
20 Hz			
ก่อนการใช้เบาะรองนั่ง	0.105(0.040)	0.071(0.187)	0.463(0.236)
หลังการใช้เบาะรองนั่ง	0.077(0.034)	0.007(0.027)	0.433(0.272)
P-value	.061	.955	.495
25 Hz			
ก่อนการใช้เบาะรองนั่ง	0.217(0.190)	0.069(0.182)	0.458(0.279)
หลังการใช้เบาะรองนั่ง	0.077(0.035)	0.008(0.029)	0.456(0.237)
P-value	.001**	.281	.955

* มีนัยสำคัญทางสถิติที่ระดับ 0.05, ** มีนัยสำคัญทางสถิติที่ระดับ 0.05

ตารางที่ 4-6 (ต่อ)

ความถี่ (Frequency)	ค่าความเร่งของแรงสั่นสะเทือน (m/s^2)		
	แกน X	แกน Y	แกน Z
31.5 Hz			
ก่อนการใช้เบาะรองนั่ง	0.488(0.256)	0.172(0.480)	0.994(0.511)
หลังการใช้เบาะรองนั่ง	0.131(0.089)	0.094(0.289)	0.683(0.329)
P-value	0.001**	0.001**	0.078
40 Hz			
ก่อนการใช้เบาะรองนั่ง	0.619(0.331)	0.366(0.987)	1.494(0.869)
หลังการใช้เบาะรองนั่ง	0.168(0.112)	0.023(0.085)	0.527(0.443)
P-value	0.001**	0.001**	0.002**
50 Hz			
ก่อนการใช้เบาะรองนั่ง	0.213(0.318)	0.074(0.216)	0.382(0.267)
หลังการใช้เบาะรองนั่ง	0.069(0.032)	0.003(0.009)	0.213(0.147)
P-value	.012*	.032*	.245
63 Hz			
ก่อนการใช้เบาะรองนั่ง	0.113(0.075)	0.041(0.109)	0.222(0.150)
หลังการใช้เบาะรองนั่ง	0.057(0.056)	0.002(0.007)	0.228(0.249)
P-value	.125	.100	.910
80 Hz			
ก่อนการใช้เบาะรองนั่ง	0.085(0.052)	0.069(0.207)	0.384(0.249)
หลังการใช้เบาะรองนั่ง	0.042(0.052)	0.002(0.004)	0.160(0.143)
P-value	.053	.069	.041*

* มีนัยสำคัญทางสถิติที่ระดับ 0.05, ** มีนัยสำคัญทางสถิติที่ระดับ 0.01

ส่วนที่ 3 การประเมินและการเปรียบเทียบความรู้สึกปวคบริเวณหลังส่วนล่างระหว่างก่อนและหลังการใช้เบาะรองนั่ง

1. การประเมินความรู้สึกปวคบริเวณหลังส่วนล่าง

จากการประเมินความรู้สึกปวคบริเวณหลังส่วนล่าง ของพนักงานขับรถติดตั้งตัวตอกเสาเข็มพีดีระบบสั่นสะเทือนของงานก่อสร้างเพื่อนป้องกันตลิ่งพังแห่งหนึ่งในจังหวัดพระนครศรีอยุธยาจำนวน 15 คน ผลการศึกษาพบว่า ก่อนใช้เบาะรองนั่ง กลุ่มตัวอย่างมีความรู้สึกปวคบริเวณหลังส่วนล่างมาก จำนวน 8 คน คิดเป็นร้อยละ 53.33 หลังใช้ความรู้สึกปวคบริเวณหลังระดับมากลดลงเหลือจำนวน 2 คน คิดเป็นร้อยละ 13.33 ก่อนใช้เบาะรองนั่งมีความรู้สึกปวคบริเวณหลังส่วนล่างปานกลาง จำนวน 7 คน คิดเป็นร้อยละ 46.67 หลังการใช้เบาะรองนั่ง มีความรู้สึกปวคบริเวณหลังส่วนล่างปานกลาง จำนวน 7 คน คิดเป็นร้อยละ 46.67 และมีความรู้สึกปวนน้อย 3 คน คิดเป็นร้อยละ 20.00 ดังรายละเอียดในตารางที่ 4-7

ตารางที่ 4-7 ผลการประเมินความรู้สึกปวคบริเวณหลังส่วนล่างก่อนการใช้เบาะรองนั่ง

ระดับความรู้สึกปวคบริเวณหลังส่วนล่าง	ก่อนใช้เบาะรองนั่ง		หลังใช้เบาะรองนั่ง	
	จำนวน (คน) (n=15)	ร้อย%	จำนวน (คน) (n=15)	ร้อย%
ระดับความรู้สึกปวคบริเวณหลังส่วนล่าง				
ไม่ปวด	0	0.00	0	0.00
ปวดน้อย	0	0.00	3	20.00
ปวดปานกลาง	7	46.67	10	66.67
ปวดมาก	8	53.33	2	13.33
ปวดรุนแรงจนทนไม่ไหว	0	0.00	0	0.00

2. ผลการเปรียบเทียบความรู้สึกปวคบริเวณหลังส่วนล่าง

ผลการเปรียบเทียบความรู้สึกปวคบริเวณหลังส่วนล่างกือ การเปรียบเทียบความแตกต่างของคะแนนความรู้สึกปวคบริเวณหลังส่วนล่างก่อนและหลังการใช้เบาะรองนั่ง ที่พนักงานขับรถติดตั้งตัวตอกเข็มพีดีระบบสั่นสะเทือนได้รับ พบว่าก่อนการใช้เบาะรองนั่งกลุ่มตัวอย่างมีค่าเฉลี่ยคะแนนความรู้สึกปวคบริเวณหลังส่วนล่างเท่ากับ 6.60 คะแนน หลังการใช้เบาะรองนั่งกลุ่มตัวอย่างมีคะแนนเฉลี่ย

ความรู้สึกปวดหลังส่วนล่าง เท่ากับ 4.93 คะแนน โดยมีความแตกต่างกันอย่างมีนัยสำคัญทางสถิติที่ระดับ 0.01 ค่า P-value เท่ากับ 0.001 ดังแสดงในตารางที่ 4-8

ตารางที่ 4-8 ผลการเปรียบเทียบความแตกต่างของคะแนนความรู้สึกปวดหลังส่วนล่างก่อน และหลังการใช้เบาะรองนั่ง

คะแนนความรู้สึกปวดหลัง ส่วนล่าง	จำนวน (คน)	ค่าเฉลี่ย (คะแนน)	SD	P-value
ก่อนใช้เบาะรองนั่ง	15	6.60	1.35	0.001*
หลังใช้เบาะรองนั่ง	15	4.93	1.34	

* มีนัยสำคัญทางสถิติที่ระดับ 0.01

ส่วนที่ 4 ความพึงพอใจหลังการใช้เบาะรองนั่ง

คะแนนเฉลี่ยความพึงพอใจหลังการใช้เบาะรองนั่งของกลุ่มตัวอย่างพบว่า ความพึงพอใจโดยรวมหลังการใช้เบาะรองนั่ง เท่ากับ 4.04 ± 0.12 คือ มีความพึงพอใจอยู่ในระดับมาก คะแนนเฉลี่ยความพึงพอใจต่อการใช้เบาะรองนั่งเท่ากับ 4.47 ± 0.52 คะแนนเฉลี่ยความพึงพอใจเบารองนั่งมีขนาดเหมาะสมต่อการใช้งาน เท่ากับ 4.40 ± 0.51 คะแนนเฉลี่ย ความพึงพอใจเบารองนั่งไม่ขวางการทำงานปกติเท่ากับ 3.93 ± 0.59 คะแนนเฉลี่ย ความพึงพอใจเบารองนั่นนำไปใช้งานเท่ากับ 3.53 ± 0.74 คะแนนเฉลี่ย ความพึงพอใจเบารองนั่งสามารถลดความรู้สึกปวดหลังส่วนล่างได้เท่ากับ 3.87 ± 0.74 คะแนนเฉลี่ย ความพึงพอใจเบารองนั่งจะทำให้ท่านปฏิบัติงานได้ดีกว่าเก่าเท่ากับ 4.07 ± 0.46 ดังแสดงในตารางที่ 4-9

ตารางที่ 4-9 ผลการศึกษาความพึงพอใจหลังการใช้เบารองนั่ง

คำถาม	ความพึงพอใจ			
	n	\bar{x}	SD	ระดับ (คะแนน)
1. ความพึงพอใจต่อการใช้เบารองนั่ง	15	4.47	0.52	มากที่สุด
2. เบารองนั่งมีขนาดเหมาะสมต่อการใช้งาน	15	4.40	0.51	มากที่สุด
3. เบารองนั่งไม่ขวางการทำงานปกติ	15	3.93	0.59	มากที่สุด
4. เบารองนั่งน่าใช้งาน	15	3.53	0.74	มาก
5. เบารองนั่งสามารถลดความรู้สึกปวดหลัง ส่วนล่างได้	15	3.87	0.74	มาก
6. เบารองนั่งจะทำให้ปฏิบัติงานได้ดีกว่าเก่า	15	4.07	0.46	มาก
ความพึงพอใจโดยรวม	15	4.04	0.12	มาก

บทที่ 5

สรุป อภิปรายผล และข้อเสนอแนะ

การวิจัยครั้งนี้ เพื่อศึกษาผลของเบาะรองนั่งเพื่อลดแรงสั่นสะเทือนในพนักงานขับรถ ติดตั้งตัวตอกเสาเข็มพีดระบบสั่นสะเทือนของงานก่อสร้างเบื้องกันคลึงพังในงานก่อสร้างแห่งหนึ่งในจังหวัดพระนครศรีอยุธยา การศึกษาครั้งนี้เป็นแบบกึ่งทดลอง (Quasi-experimental research) แบบภาคตัดขวาง (Cross sectional study) วัดผลก่อนและหลังการทดลอง (Pretest-posttest design) โดยมีวัตถุประสงค์เพื่อศึกษาเปรียบเทียบความเร่งของแรงสั่นสะเทือนในการขับรถ ติดตั้งตัวตอกเสาเข็มพีดระบบสั่นสะเทือนและความรู้สึกปวดหลังส่วนล่างก่อน-หลังการใช้เบาะรองนั่ง และวัดความพึงพอใจหลังใช้เบาะรองนั่ง การเก็บรวบรวมข้อมูลโดยใช้แบบสอบถาม ความรู้สึกปวดหลังส่วนล่างที่ผู้วิจัยประยุกต์จากแบบสอบถามนอร์ดิก เนพาส่วนหลัง Standardized Nordic Questionnaire (เนพาส่วนล่างล่าง) เพื่อความเหมาะสมกับลักษณะการทำงานของพนักงานขับรถติดตั้งตัวตอกเสาเข็มพีดระบบสั่นสะเทือน โดยใช้การสัมภาษณ์อาชาร ความรู้สึกปวดหลังส่วนล่างและเครื่องตรวจวัดแรงสั่นสะเทือน (Vibration meter) ที่เป็นไปตามมาตรฐาน ISO 8041: 2005 ติดตั้งตามมาตรฐานที่กำหนดใน ISO 2631-1: 1997 ทำการวัดแรงสั่นสะเทือนชนิดทึบร่างกาย ที่ส่งผ่านมาซึ่งบริเวณที่นั่งของกลุ่มตัวอย่าง เมื่อนำผลที่ได้จากการศึกษามาวิเคราะห์สามารถสรุปและอภิปรายผลการศึกษาได้ดังนี้

สรุปผลการวิจัย

ผลการศึกษาผลของเบาะรองนั่งเพื่อลดแรงสั่นสะเทือนในพนักงานขับรถติดตั้งตัวตอกเสาเข็มพีดระบบสั่นสะเทือนของงานก่อสร้างเบื้องกันคลึงพังในงานก่อสร้างแห่งหนึ่งในจังหวัดพระนครศรีอยุธยา สรุปผลการศึกษาได้ดังนี้

1. ข้อมูลทั่วไปของกลุ่มตัวอย่าง กลุ่มตัวอย่างมีอายุเฉลี่ย 43 ปี ส่วนเบี่ยงเบนมาตรฐาน (SD) เท่ากับ 10.62 ส่วนใหญ่มีอายุระหว่าง 30-39 น้ำหนักตัวเฉลี่ยของพนักงานขับรถติดตั้งตัวตอกเสาเข็มพีดระบบสั่นสะเทือน เท่ากับ 68 กิโลกรัม ($SD = 6.6$) ส่วนใหญ่มีน้ำหนักตัว 60-69 กิโลกรัม ขับรถต่อวันเฉลี่ยคือ 8 ชั่วโมง ขับรถต่อเนื่องยาวนานที่สุดต่อวัน โดยเฉลี่ยคือ 4.6 ชั่วโมง ($SD = 1.18$) มีประสบการณ์ในการขับรถติดตั้งตัวตอกเสาเข็มพีดระบบสั่นสะเทือน โดยเฉลี่ยคือ 15.87 ปี ($SD = 9.87$)

2. การรับสัมผัสแรงสั่นสะเทือนของกลุ่มตัวอย่างก่อนและหลังการใช้เบาะรองนั่ง

การประเมินการรับสัมผัสค่าแรงสั่นสะเทือนที่มีผลกระทบต่อสุขภาพ ในพนักงานขับรถติดตั้งตัว ตัวอคเสานี้มีศีริระบบสั่นสะเทือน ซึ่งเป็นการรับสัมผัสแรงสั่นสะเทือนชนิดทึบร่างกาย เทียบกับค่า มาตรฐานของ ISO 2631-1:1997 แนะนำสำหรับการรับสัมผัสใน 8 ชั่วโมงการทำงานในหนึ่งวัน ไม่ควรเกิน 0.5 m/s^2 ผลการประเมินการรับสัมผัสแรงสั่นสะเทือนของกลุ่มตัวอย่าง พบว่า

2.1 ก่อนการใช้เบาะรองนั่ง จำนวน 15 คน โดยการตรวจวัดบริเวณที่นั่งของพนักงาน ขับรถติดตั้งตัวตัวอคเสานี้มีศีริระบบสั่นสะเทือน ผลการศึกษาพบว่า ก่อนการใช้เบาะรองนั่งกลุ่ม ตัวอย่างรับสัมผัสแรงสั่นสะเทือน สูงสุด 3.174 m/s^2 รองลงมาคือ 3.087 m/s^2 และต่ำสุดคือ 0.105 m/s^2 โดยแรงสั่นสะเทือนที่รับสัมผัสมากที่สุดอยู่ในแกน x รองลงมาคือแกน Y และแกน Z ตามลำดับ และกลุ่มตัวอย่างรับสัมผัสแรงสั่นสะเทือนเกินกว่าค่ามาตรฐานการรับสัมผัส แรงสั่นสะเทือน (เกินกว่า $0.5 \text{ เมตร/วินาที}^2$) ต้องดำเนินการเฝ้าระวังอันตรายต่อสุขภาพ จำนวน 13 คน คิดเป็นร้อยละ 86.67 และอยู่ในเกณฑ์มาตรฐาน (น้อยกว่า $0.5 \text{ เมตร/วินาที}^2$) จำนวน 2 คน คิดเป็นร้อยละ 13.33

2.2 ก่อนการใช้เบาะรองนั่ง จำนวน 15 คน โดยการตรวจวัดบริเวณที่นั่งของพนักงาน ขับรถติดตั้งตัวตัวอคเสานี้มีศีริระบบสั่นสะเทือน ผลการศึกษาพบว่า หลังการใช้เบาะรองนั่งกลุ่ม ตัวอย่างรับสัมผัสแรงสั่นสะเทือน สูงสุด 1.090 m/s^2 รองลงมาคือ 1.088 m/s^2 และต่ำสุดคือ 0.004 m/s^2 โดยแรงสั่นสะเทือนที่รับสัมผัสมากที่สุดอยู่ในแกน x รองลงมาคือแกน Y และแกน Z ตามลำดับ เช่นกัน หลังการใช้เบาะรองนั่ง กลุ่มตัวอย่างรับสัมผัสแรงสั่นสะเทือนเกินค่ามาตรฐาน (เกินกว่า $0.5 \text{ เมตร/วินาที}^2$) ต้องดำเนินการเฝ้าระวังอันตรายต่อสุขภาพ จำนวน 8 คน คิดเป็นร้อยละ 53.33 และอยู่ในค่ามาตรฐาน (น้อยกว่า $0.5 \text{ เมตร/วินาที}^2$) จำนวน 7 คน คิดเป็นร้อยละ 46.67

2.3 เปรียบเทียบความแตกต่างของค่าความเร่งของแรงสั่นสะเทือนที่พนักงานขับรถ ติดตั้งตัวตัวอคเสานี้มีศีริระบบสั่นสะเทือนรับสัมผัสผ่านบริเวณที่นั่ง ก่อนและหลังการใช้เบาะรองนั่งพบว่า ค่าความเร่งของแรงสั่นสะเทือนที่พนักงานขับรถติดตั้งตัวตัวอคเสานี้มีศีริระบบสั่นสะเทือนรับสัมผัสผ่านบริเวณที่นั่ง ก่อนและหลังการใช้เบาะรองนั่ง มีความแตกต่างกันอย่างมีนัยสำคัญ $P\text{-value} = 0.001$ เบาะรองนั่งสามารถแรงสั่นสะเทือนได้ร้อยละ 58.8 ซึ่งเป็นไปตาม สมมติฐานที่ตั้งไว้ เมื่อพิจารณาค่าความเร่งของแรงสั่นสะเทือนที่พนักงานขับรถติดตั้งตัวตัวอคเสานี้มีศีริระบบสั่นสะเทือนรับสัมผัสผ่านบริเวณที่นั่ง แยกตามความถี่พบว่า ก่อนและหลังการใช้เบาะรองนั่งค่าเฉลี่ยของค่าความเร่งของแรงสั่นสะเทือนของแต่ละความถี่ มีความแตกต่างกันมีนัยสำคัญทางสถิติที่ระดับ 0.05 แกน X ที่ความถี่ $0.8 \text{ Hz}, 25 \text{ Hz}, 31.5 \text{ Hz}, 40 \text{ Hz}, 50 \text{ Hz}$ แกน Y ที่ความถี่ $31.5 \text{ Hz}, 40 \text{ Hz}$ และ 50 Hz แกน Z ที่ความถี่ 40 Hz และ 80 Hz แตกต่างกันทั้งสาม

แนวแกน X Y Z ได้ที่ความถี่เดียวกัน คือ 40 Hz โดยนัยสำคัญทางสถิติที่ระดับ 0.01 ค่า P-value เท่ากับ 0.001, 0.001 และ 0.002 ตามลำดับ

2.4 ความพึงพอใจหลังการใช้เบาะรองนั่ง หลังการใช้เบาะรองนั่ง พบว่าพนักงานขับรถติดตั้งตัวตอกเสาเข็มพีระบบสั่นสะเทือนมีความพึงพอใจมากในการใช้เบาะรองนั่งซึ่งมีค่าเฉลี่ย คะแนนเฉลี่ยความพึงพอใจต่อการใช้เบาะรองนั่งเท่ากับ 4.47 ความพึงพอใจเบะรองนั่งมีขนาดเหมาะสมต่อการใช้งาน เท่ากับ 4.40 ความพึงพอใจเบะรองนั่งไม่ขวางการทำงานปกติเท่ากับ 3.93 ความพึงพอใจเบะรองนั่งน่าใช้งานเท่ากับ 3.53 ความพึงพอใจเบะรองนั่งสามารถความรู้สึกปวดหลังส่วนล่างได้เท่ากับ 3.87 ความพึงพอใจเบะรองนั่งจะทำให้ท่านปฏิบัติงานได้ดีกว่าเก่าเท่ากับ 4.07

3. ความรู้สึกปวดหลังส่วนล่างของกลุ่มตัวอย่าง ก่อนและหลังการใช้เบาะรองนั่ง ในพนักงานขับรถติดตั้งตัวตอกเสาเข็มพีระบบสั่นสะเทือน พนักงานก่อนการใช้เบาะรองนั่ง พนักงานขับรถติดตั้งตัวตอกเสาเข็มพีระบบสั่นสะเทือนทั้ง 15 คน ผลการศึกษาพบว่า ก่อนการใช้เบะรองนั่งกลุ่มตัวอย่าง มีความรู้สึกปวดหลังส่วนล่าง มีความรู้สึกปวดมาก จำนวน 8 คน คิดเป็นร้อยละ 53.33 และมีความรู้สึกปวดปานกลาง จำนวน 7 คน คิดเป็นร้อยละ 46.67 และหลังการใช้เบะรองนั่ง พนักงานขับรถติดตั้งตัวตอกเสาเข็มพีระบบสั่นสะเทือนทั้ง 15 คน ผลการศึกษาพบว่า หลังการใช้เบะรองนั่ง มีความรู้สึกปวดปานกลาง จำนวน 10 คน คิดเป็นร้อยละ 66.67 มีและความรู้สึกปวดมาก จำนวน 3 คน คิดเป็นร้อยละ 20.00 เมื่อเปรียบเทียบความแตกต่างของคะแนนความรู้สึกปวดหลังส่วนล่างในพนักงานขับรถติดตั้งตัวตอกเสาเข็มพีระบบสั่นสะเทือน ก่อนและหลังการใช้เบะรองนั่ง พบว่า คะแนนความรู้สึกปวดหลังส่วนล่างของพนักงานขับรถติดตั้งตัวตอกเสาเข็มพีระบบสั่นสะเทือน ก่อนและหลังการใช้เบะรองนั่ง มีความแตกต่างกันอย่างมีนัยสำคัญ $P\text{-Value} = 0.001$ ซึ่งเป็นไปตามสมมติฐานที่ตั้งไว้

อภิปรายผลการวิจัย

จากการศึกษาผลของเบะรองนั่งเพื่อลดแรงสั่นสะเทือนในพนักงานขับรถติดตั้งตัวตอกเสาเข็มพีระบบสั่นสะเทือน ในงานก่อสร้างที่อยู่ป้องกันตลอดพัฒนาจนที่ในจังหวัดพระนครศรีอยุธยา อภิปรายผลการวิจัยได้ดังนี้

1. การประเมินการรับสัมผัสแรงสั่นสะเทือนและผลการเปรียบเทียบ

1.1 วิธีการประเมิน โดยใช้เครื่องมือที่ใช้วัดค่าความเร่งของแรงสั่นสะเทือน โดยใช้เครื่องตรวจแรงสั่นสะเทือน (Vibration meter) เป็นไปตามมาตรฐาน ISO 8041: 2005 ยี่ห้อ Quest Technologies, Inc. รุ่น: VI-410 SN: 21729 / SENSOR: 4146 ติดตั้งตามมาตรฐานที่กำหนด

ใน ISO 2631-1: 1997

แม้วิธีการตรวจวัดค่าความเร่งของแรงสั่นสะเทือนนี้จะตรวจวัดก่อนและหลังการใช้เบาะรองนั่งทันที เพื่อควบคุมปัจจัยด้านสภาพของเบ็งของคินที่อาจส่งผลกระทบต่อแรงสั่นสะเทือนที่เกิดขึ้น แต่ ดินในพื้นที่ที่ทำการศึกษามีความแปรปรวนสูง (ศูนย์วิจัยและพัฒนาปฐพีและฐานราก, 2560) สภาพดินแม่จะห่างกันและน้อยในบางจุดคุณสมบัติดินต่างกัน (กรมเจ้าท่า, 2558) จึงทำให้ไม่สามารถควบคุมปัจจัยด้านสภาพพื้นที่ในการปฏิบัติงานได้อ漾สมบูรณ์

1.2 ค่าความเร่งของแรงสั่นสะเทือนที่พนักงานรับสัมผัสขณะนั่งขับรถติดตั้งตัวตอกเข็นพีระบบสั่นสะเทือน ค่าแรงสั่นสะเทือนที่รับสัมผัสสูงสุดอยู่ในแกน X สอดคล้องกับ Blood et al. ที่พบว่า การควบคุมเครื่องจักรกลหนักในงานบุกดักและการด้มเทมีการรับสัมผัสแรงสั่นสะเทือนทั้งร่างกายในแกน X มากที่สุด (Blood et al., 2012) เมื่อเปรียบเทียบแรงสั่นสะเทือนที่กลุ่มตัวอย่างรับสัมผัสก่อน-หลังการใช้เบาะรองนั่ง พบร่วมกัน X จาก 0.124 m/s^2 เป็น 0.062 m/s^2 แกน Y จาก 0.077 m/s^2 เป็น 0.011 m/s^2 แกน Z จาก 0.366 m/s^2 เป็น 0.282 m/s^2 และสอดคล้องกับ อุมารินทร์ เตมีย์ วัสดุจากยางสั่นเคราะห์ สามารถใช้เป็นวัสดุลดการส่งผ่านแรงสั่นสะเทือนของเครื่องจักรได้ (อุมารินทร์ เตมีย์, 2552) จากการทดลองใช้เบาะรองนั่ง ทำจาก ยางธรรมชาติ ยางในไตรล์ และยางบิวไทรล์ ประสานด้วยการยาง เมื่อพิจารณาช่วงความถี่ของแรงสั่นสะเทือนที่มีผลกระทบต่อสุขภาพตามมาตรฐาน ISO 2631 คือ ช่วง 0.5 เฮิร์ต ถึง 80 เฮิร์ต พบว่าเบาะรองนั่งสามารถลดแรงสั่นสะเทือนได้ในช่วงความถี่ 0.8 Hz , 25 Hz , 31.5 Hz , 40 Hz , 50 Hz , 80 Hz สอดคล้องกับ Farrat ที่กล่าวว่า ยางบิวไทรล์ ที่สามารถได้ในช่วงความถี่ $25\text{Hz} - 250\text{Hz}$ (TDL., 2016) และยางในไตรล์ ลดได้ในช่วงความถี่ ความถี่ $3-40 \text{ Hz}$ (ศุภัชนันท์ รักพงษ์, 2558) และยางธรรมชาติที่สามารถความสั่นสะเทือนได้ที่ความถี่ต่ำ ไม่เกิน 12 Hz (Farrat, 2016)

เนื่องจากคุณสมบัติของวัสดุที่นำมาใช้ทำเบาะเพื่อลดแรงสั่นสะเทือนนั้น มี 2 ชนิดที่สามารถลดในช่วงความถี่ 40 Hz คือ ยางในไตรล์และยางบิวไทรล์ จึงทำให้ช่วงความถี่ 40 Hz ลดในทั้งสามแนวแกน (X Y Z)

1.3 ความพึงพอใจในการใช้เบาะรองนั่ง

เพื่อให้คุณชินกับลักษณะของเบาะเดิม ป้องกันมุนยางที่ตัดเป็นรูปทรงสี่เหลี่ยม เป็นการควบคุมที่ทางผ่าน สามารถลดการรับสัมผัสแรงสั่นสะเทือน ได้ประมาณร้อยละ 58.80 แต่ยังไม่สามารถลดแรงสั่นสะเทือนที่เกินกว่า 2 m/s^2 ให้อยู่ภายใต้ค่ามาตรฐาน (0.5 m/s^2) ได้ เมื่อวัดความพึงพอใจหลังใช้เบาะรองนั่ง พบร่วมกับกลุ่มตัวอย่างมีความพึงพอใจระดับมากต่อการใช้เบาะรองนั่ง เช่นเดียวกับงานวิจัยประสิทธิผลของอุปกรณ์ลดแรงสั่นสะเทือนที่เท่าในพนักงานแผนกเย็บผ้าของ ศุภัชนันท์ รักพงษ์ อีกทั้งเบาะรองนั่งเป็นการควบคุมที่ทางผ่าน การติดตั้งเบาะรองนั่งนั้น

ติดตั้งเข้ากับเบาะนั่งเดิม ทำให้พนักงานรู้สึกไม่กีดขวางการปฏิบัติงานปกติ (ศุภักษณ์ รักพงษ์, 2558)

2. ผลการประเมินความรู้สึกปวดหลังส่วนล่างและผลการเปรียบเทียบ เมื่อประเมินโดยใช้แบบสอบถามประยุกต์จาก Nordic Musculoskeletal Questionnaire (NMQ) (Kuorinka et al., 1987) โดยใช้เฉพาะหลังส่วนล่าง ร่วมกับแบบประเมินวัดระดับความรุนแรงของความรู้สึกปวด คือ Visual Analog scale (VAS) (Crichton, 2011) และผ่านการตรวจสอบเครื่องมือจากผู้เชี่ยวชาญ 3 ท่าน การวิจัยในครั้งนี้เป็นการวัดผลของเบาะรองนั่งเพื่อลดแรงสั่นสะเทือน ระยะเวลาในการทดลองใช้เบาะรองนั่ง 1 เดือน จากการรวบรวมข้อมูลจากแบบสอบถาม และวิเคราะห์ผล พบว่า ความรู้สึกปวดบริเวณหลังส่วนล่างลดลงกับกลุ่มน้ำหนัก หน่อพัฒน์ ที่ศึกษาการออกแบบเบาะรองนั่งรับรถบรรทุกหนัก เพื่อลดความสั่นสะเทือน และความรู้สึกเมื่อยล้าของพนักงานขับรถบรรทุกหนัก พนบ. เนื่องจากความต้องการของคนขับรถบรรทุกหนัก ที่ต้องการลดความรู้สึกเมื่อยล้าในพนักงานขับรถบรรทุกหนักได้ (น้ำหนัก หน่อพัฒน์, 2546) และ Olanrewaju et al. ที่พบว่า การรับสัมผัสแรงสั่นสะเทือนทำให้เกิดความชุกต่อการปวดหลังส่วนล่าง (Olanrewaju et al., 2006) เช่นเดียวกับ Johanning et al. พบว่า การรับสัมผัสแรงสั่นสะเทือนสูงมาตรฐาน ISO 2631 มีความชุก ระดับสูงที่บริเวณหลัง โดยเฉพาะหลังส่วนล่าง (Johanning et al., 1991) สอดคล้องกับ Lyons ที่ พบว่า ผู้ที่ขับรถมีความเสี่ยงต่อความรู้สึกปวดหลังส่วนล่าง (Lyons, 2002) เมื่อวิเคราะห์ ความรู้สึกปวดหลังส่วนล่างกลุ่มตัวอย่างหลังการใช้เบาะรองนั่ง เพื่อลดการรับสัมผัสแรงสั่นสะเทือนที่ส่งผ่านจากที่นั่งเข้าสู่ร่างกายพนักงานและเมื่อทำการทดลองใช้เบาะรองนั่ง ทำให้ ความรู้สึกปวดหลังส่วนล่างในกลุ่มตัวอย่างลดลง สอดคล้องกับ อนุชิต เกตุรวม ที่พบว่า ขนาดของความสั่นสะเทือนที่เข้าสู่ร่างกาย มีความสัมพันธ์กับความรู้สึกปวดหลังส่วนล่างของพนักงานควบคุมเครื่องจักรกลหนักในเหมืองหิน (อนุชิต เกตุรวม, 2545)

ข้อเสนอแนะ

จากการศึกษาผลของเบาะรองนั่งเพื่อลดแรงสั่นสะเทือนในพนักงานขับรถติดตั้งตัวตอก เสาเข็มพีดระบบสั่นสะเทือน ในงานก่อสร้างเขื่อนป้องกันคลื่นพังแห่งหนึ่งในจังหวัดพระนครศรีอยุธยา ผู้วิจัยมีข้อเสนอแนะ ดังนี้

1. ข้อเสนอแนะจากการวิจัย

1.1 เบาะรองนั่งที่ออกแบบเหมาะสมกับการลดแรงสั่นสะเทือนที่เกิน ค่ามาตรฐาน ISO 2631 (0.5 m/s^2) แต่ไม่เกิน ไม่สามารถลดให้ค่าแรงสั่นสะเทือนที่เกินกว่า 1 m/s^2 อยู่ในกรอบ มาตรฐาน

1.2 สามารถได้ที่ช่วงความถี่ 0.8 Hz, 25 Hz, 31.5 Hz, 40 Hz, 50 Hz, 80Hz

2. การวิจัยครั้งต่อไป

- 2.1 ควรมีการศึกษาเรื่องความหนาที่เหมาะสมสำหรับแต่ละชนิดวัสดุ เพื่อให้ตรงกับช่วงความถี่ที่ต้องการลด เพื่อให้ได้ประสิทธิภาพยิ่งขึ้น
- 2.2 ควรมีการศึกษาเรื่องBMI กลุ่มตัวอย่างกับความพึงพอใจของการใช้รวมถึงการรับสัมผัสค่าความเร่งของแรงสั่นสะเทือน
- 2.3 ควรมีการศึกษาชิงลีกในเรื่องของพื้นที่การทำงานจุดที่ตอกเสาเข็ม ว่ามีความสัมพันธ์กับค่าความเร่งของแรงสั่นสะเทือนที่รับสัมผัสหรือไม่
- 2.4 ควรมีการพิจารณาลักษณะของงานที่ทำแต่ละคนว่ามีความแตกต่างกันหรือไม่ อาชญากรรมจัด มีผลต่อค่าความเร่งของแรงสั่นสะเทือนที่พนักงานรับสัมผัสใหม่

บรรณานุกรม

กรมชลประทาน. (2557). ความรู้เบื้องต้นเกี่ยวกับเขื่อนป้องกันคลิ่ง. เข้าถึงได้จาก

http://kmcenter.rid.go.th/kmc08/km_57/book57/18.pdf

กรมชลประทาน. (2552). มาตรฐานรายละเอียดคุณลักษณะทางวิศวกรรมงานเสาเข็ม. เข้าถึงได้จาก

http://kmcenter.rid.go.th/kmc08/km_54/e_exam_km54/images5/EN_17.pdf

กรมเจ้าท่า กระทรวงคมนาคม. (2558). โครงการก่อสร้างเขื่อนป้องกันคลิ่งพังในแม่น้ำป่าสัก.

เข้าถึงได้จาก <https://sites.google.com/site/mdpasak/about-us>

กัลยา ปานะ โภป แพร์ ประตอนพาร จินประโคน. (2555). ผลการใช้เสื่อพยุงหลังเพื่อลดการใช้ยากลุ่ม

แก้ปวดในเกษตรกร ผู้ปลูกมันสำปะหลังบ้านชาวชนิด ตำบลโนนดินแดง

อำเภอโนนดินแดง จังหวัดบุรีรัมย์. วารสารวิชาการสาธารณสุข.

การยางแห่งประเทศไทย. (2557). สมบัติทั่วไปของยาง. เข้าถึงได้จาก rubber.oie.go.th/box/Article/21039/1.สมบัติทั่วไปของยางสังเคราะห์.pdf

คณะวิศวกรรมศาสตร์ มหาวิทยาลัยสุรนารี. (2554). *Vibration suppression*. เข้าถึงได้จาก

eng.sut.ac.th/me/box/1_54/425304/vibration%20suppression.pdf

จักร จันทรลักษณา. (2545). ความลับของอุปกรณ์ลดความสั่นสะเทือน (Vibration absorber).

วารสารพัฒนาเทคโนโลยีกษาฯ. 14(43), 26-31.

จักร จันทรลักษณา. (2546). การออกแบบอุปกรณ์ดูดกลืนความสั่นสะเทือน (Vibration absorber).

Mechanical Technology Magazine, (16), 85-88.

นันทนา จันทางศ. (2559). การดำเนินงานด้านการยศาสตร์อย่างมีส่วนร่วม เพื่อลดปัจจัยเสี่ยงต่อการ

เกิดอาการผิดปกติทางระบบกล้ามเนื้อ โครงสร้างกระดูก ในโรงงานยางرمควัน จังหวัด

ระยอง. วารสารพยาบาลสาธารณสุข, 30(1), 76-86.

ทวีศักดิ์ แก้วประดับ. (2555). วัสดุประسان. เข้าถึงได้จาก http://building.cmtc.ac.th/main/images/stories/Taweesak/unit_1.11.pdf

บุญชุม ศรีสะอาด. (2545). การวิจัยเบื้องต้น (พิมพ์ครั้งที่ 7). กรุงเทพฯ: สุวิริยาสาส์น.

ประมุข โอดิริ. (2555). การตรวจวัดและประเมินความสั่นสะเทือน แสงสว่าง และความดัน

บรรยายกาศ (ชุดวิชาสุขศาสตร์อุตสาหกรรม : การประเมิน).

เข้าถึงได้จาก www.safety-stou.com/UserFiles/File/54113%20unit%207.doc

- ปริyaภรณ์ โภนหงส์สา . (2558). การประเมินการสั่นสะเทือนทั้งร่างกายของพนักงานขับรถยกในบริเวณคลังสินค้า. *วิศวกรรมสาร มก*, 29(95), 63-70
- เพชรรัตน์ แก้วดวงดีและคณะ. (2559). ความชุกของความผิดปกติทางระบบกระดูกและกล้ามเนื้อในกลุ่มอาชีพอุตสาหกรรมลิ่งทอง จังหวัดขอนแก่น. *วารสารเทคนิคการแพทย์และกายภาพบำบัด*, 22(3), 292-301.
- พงษ์ธร แซ่อย. (2548). ยาง: ชนิด สมบูรณ์ และการใช้งาน (พิมพ์ครั้งที่ 2). กรุงเทพฯ: ศูนย์เทคโนโลยีโลหะและวัสดุแห่งชาติ (เอ็มเทค).
- พรพิพย์ เย็นใจ. (2546). การปรับเปลี่ยนความสั่นสะเทือนที่มือ เมื่อใช้ถุงมือและวัสดุหุ้มค้ำมั่นขับของคนงานชี้ยว hin. *วิทยานิพนธ์วิทยาศาสตร์มหาบัณฑิต*, สาขาวิชาสุขศาสตร์ อุตสาหกรรมและความปลอดภัย, บัณฑิตวิทยาลัย, มหาวิทยาลัยมหิดล.
- พรรศrin ลังกาพินธุ. (1997). การคูณและสูขภาพอนามัยของตนเอง ในผู้ใช้แรงงานก่อสร้าง ศึกษาเฉพาะกรณี: ผู้ใช้แรงงานก่อสร้างที่มารับบริการจากงานสังคมสงเคราะห์ โรงพยาบาลราชวิถี. *สังคมสงเคราะห์ศาสตร์มหาบัณฑิต*, บัณฑิตวิทยาลัย, มหาวิทยาลัยธรรมศาสตร์.
- กุชชก ทับทอง. (2554). ยางกันสะเทือน (Anti-vibration mounts). *วิทยาศาสตร์และเทคโนโลยีการยาง วารสารเพื่อการพัฒนาไทย*, 5(1).
- มยุรี หน่อพัฒน์. (2547). การออกแบบเบาะรองนั่งรถบรรทุกเพื่อลดความสั่นสะเทือนและความรู้สึกเมื่อยล้าของพนักงานขับรถบรรทุกหนัก. *วิทยานิพนธ์วิทยาศาสตร์มหาบัณฑิต*, สาขาวิชาสุขศาสตร์ อุตสาหกรรมและความปลอดภัย, บัณฑิตวิทยาลัย, มหาวิทยาลัยมหิดล.
- เมฆา สุวรรณสาร. (2554). แนวทางการบริหารแผนงาน/ โครงการ. เข้าถึงได้จาก <http://www.itgthailand.com>
- บุวดี สิมะ โภจน์. (2554). หลักการควบคุมค้านสุขศาสตร์อุตสาหกรรม.
- เข้าถึงได้จาก <http://www.safety-stou.com/UserFiles/File/54114-1.pdf>
- วิทวัส สิทธิชัยพรวงศ์. (2556). ประสิทธิผลของการบริหารร่างกายแบบมีเวช เพื่อลดอาการปวดเมื่อย กล้ามเนื้อจากการทำงานในกลุ่มพนักงานออฟฟิศ. *วิทยานิพนธ์วิทยาศาสตร์ มหาบัณฑิต*, สาขาวิชาเวชศาสตร์ ชลOLLOW และพื้นฟูสุขภาพ, มหาวิทยาลัยแม่ฟ้าหลวง.
- วิวัฒน์ สังฆะบุตรและสุนิสา ชัยเกลี้ยง. (2556). ความผิดปกติทางระบบโครงสร้างร่างและกล้ามเนื้อในแรงงานอุตสาหกรรม กลุ่มดัดเหล็กปลอกเสาระบบมือโยก : การศึกษานำร่อง. *ศринครินทร์ เวชสาร*, 26(3), 205-232.
- วิชิต อุ่น. (2548). การวิจัยและการสืบค้นข้อมูลทางธุรกิจ. กรุงเทพฯ: พรินท์แอนด์ (ประเทศไทย).

ศุภัชนันท์ รักพงษ์. (2558). ประสิทธิผลของอุปกรณ์ลดแรงสั่นสะเทือนที่เท้าในพนักงานแผนกเย็บผ้าของโรงงานแห่งหนึ่งในจังหวัดชลบุรี. วิทยานิพนธ์วิทยาศาสตร์มหาบัณฑิต, สาขาวิชาอาชีวอนามัยและความปลอดภัย, บัณฑิตวิทยาลัย, มหาวิทยาลัยบูรพา.

ศุนย์วิจัยและพัฒนาอุตสาหกรรมยางไทย. (2558). คำศัพท์ค้านเทคโนโลยีการยาง.

เข้าถึงได้จาก <http://www.rubbercenter.org/dictionary/index.php?char=B>
สมาคมส่งเสริมความปลอดภัยและอนามัยในการทำงาน. (2559). สุขศาสตร์อุตสาหกรรม.

เข้าถึงได้จาก http://www.shawpat.or.th/index.php?option=com_content&view=article&id=486:-m-m-s&catid=47:-m---m-s&Itemid=201
สมนึก พงษ์สิน. (2548). การศึกษาและการออกแบบอุปกรณ์ลดแรงสั่นสะเทือนเชิงบุนของเพลา. วิทยานิพนธ์วิศวกรรมมหาบัณฑิต, บัณฑิตวิทยาลัย, สถาบันเทคโนโลยีพระจอมเกล้าพระนครเหนือ.

สำนักงานกองทุนเงินทดแทน. (2559). สถานการณ์การประสบอันตรายหรือเจ็บป่วย เนื่องจากการทำงาน ปี 2554 – 2558 ประจำกิจการ ก่อสร้าง ปี. เข้าถึงได้จาก <http://www.sso.go.th/wpr/uploads/uploadImages/file/accidentbuild54-58.pdf>

สำนักวิศวกรรมศาสตร์ ม.สุรนารี. (2554). *Vibration Suppression*. เข้าถึงได้จาก http://eng.sut.ac.th/me/box/1_54/425304/vibration%20suppression.pdf
สำนักเครื่องกลและสื่อสาร กรมทางหลวง. (2554). ชุดความรู้การขับและควบคุมเครื่องจักรกลขนาดหนัก (รถชุด). เข้าถึงได้จาก <http://km.doh.go.th/doh/uploads/Knowledge/3131/>
สุรัตน์ ปัญญาแก้ว. (2557). การออกแบบและสร้างตัวคุณภาพการสั่นสะเทือนแบบปรับค่าได้. เข้าถึงได้จาก http://web2.eng.nu.ac.th/nuej/file/journal/NUEJ_Vol9_1_2014_paper05.pdf.

สุวินันท์ ทวีพิริยะจินดา. (2558). ท่าทางการทำงานที่เป็นอันตรายและความชอกของอาการผิดปกติทางระบบกล้ามเนื้อและโครงร่าง อันเกี่ยวเนื่องจากการทำงาน ในคนงานโรงงานพยาบาล นราธิวาสราชนครินทร์. วิทยานิพนธ์วิทยาศาสตร์มหาบัณฑิต, สาขาวิชาอาชีวเวชศาสตร์, คณะแพทยศาสตร์มหาวิทยาลัยสงขลานครินทร์.

ห้างหุ้นส่วนจำกัด จีทีอาร์ ซัพพลาย. (2557). เครื่องจักรกลหนัก. เข้าถึงได้จาก <http://www.gtrsupply.com/article/5/เครื่องมือกล-เครื่องจักรกลหนัก>
อนามัย ชีริวิโรจน์. (2556). อาชีวอนามัยและความปลอดภัย (ครั้งที่ 5). กรุงเทพฯ: โอดีเยนสโตร์.

อนุชิต เกตุรวม. (2545). การศึกษาผลผลกระทบของความสั่นสะเทือนที่ทำให้เกิดความรู้สึกไม่สบาย และอาการปวดหลังแก่พนักงานควบคุมเครื่องจักรกลหนักในเหมืองหิน.

วิทยานิพนธ์วิศวกรรมมหาบัณฑิต, สาขาวิชาการจัดการอุตสาหกรรม, บัณฑิตวิทยาลัย,
สถาบันเทคโนโลยีพระจอมเกล้าพระนครเหนือ.

อรุณี พรหมศรี. (2557). ท่าทางและการนาดเจ็บจากการทำงานในกลุ่มผู้จัดงานผักกาดขาว:

การศึกษานำร่อง. *Naresuan Phayao Journal*, 7(3), 204-211.

olsongron' นัตตรเมืองปัก. (2555). การวิเคราะห์ความเครียดจากการทำงานคอนกรีต ของผู้ใช้แรงงาน ก่อสร้างอาคาร. วิทยานิพนธ์วิศวกรรมศาสตรมหาบัณฑิต, สาขาวิศวกรรมอุตสาหกรรม,
บัณฑิตวิทยาลัย, มหาวิทยาลัยเทคโนโลยีสุรนารี.

อุมารินทร์ เตมิร์. (2552). ศึกษาการลดความสั่นสะเทือน โดยใช้วัสดุสังเคราะห์ที่ผ่านการใช้งาน แล้ว. วิทยานิพนธ์วิทยาศาสตรมหาบัณฑิต, สาขาวิชาสุขศาสตร์อุตสาหกรรมและ ความปลอดภัย, บัณฑิตวิทยาลัย, มหาวิทยาลัยมหิดล.

Bovenzi, M. (2005). Health effects of mechanical vibration. *G Ital Med Lav Erg*, 27, 58-64.

Cambridge dictionary online. (2016). *Heavy machinery definition*. Retrieved from

<http://dictionary.cambridge.org/dictionary/english/heavy-machinery>

Carel Hulshof, Brinio Veldhuijen van Zanten. (1987). Whole-body vibration and low-back pain. *Int Arch Occup Environ Health*, 59, 205-220.

Crichton, N. (2001). Information point: visual Analogue Scale (VAS). *Journal of Clinical Nursing*, 10, 697-706.

Farrat. (2016). *Detailed vibration isolation theory*. Retrieved from <http://www.farrat.com/resources/detailed-vibration-isolation-theory>

Gelmec. (2016). *Rubber metal isolators*. Retrieved from <http://www.gelmec.co.uk/product216.php?url=1&page=245&ty=9&gr=9&fg=126http://www.acecontrols.com/us/products/vibration-control/rubber-metal-isolators/bm/bm-5068.html>

Hammersteel. (2008). *Excavator Mounted Vibratory Pile Driver*. Retrieved from <http://www.hammersteel.com/abi-excavator-mounted-vibratory-pile-driver.html>

Haworth. (2002). The Ergonomic Seating Guide Retrieved from http://media.haworth.com/asset/13337/Ergonomic_Seating_Guide_Handbook.pdf

International Construction Equipment (I.C.E.). (2016). *vibratory-hammers*. Retrieved from <http://www.iceusa.com/vibratory-hammers/>

- International Standard (ISO) 2631. (1997). *Evaluation of Whole-body vibration involves the assessment of risk associated with exposure to vibration*. Switzerland: International Organization for Standardization.
- Johanning, E., Wilder, D. G., Landrigan, P. E., Philip, J., Pope, M. H. (1991). Whole-Body Vibration Exposure in Subway Cars and Review of Adverse Health Effects. *Journal of Occupational and Environmental Medicine, 33*(5).
- Kuorinka, B. I., et al. (1987). *Standardised Nordic questionnaire for the analysis of musculoskeletal symptoms*. *Applied Ergonomics, 18*(3), 233-237.
- Lyons, J. (2002). *Factors Contributing to Low Back Pain Among Professional Driver. A review of Current Literature and Possible Ergonomic Control*. *19*, 95-102
- Mason Industries. (2016). *Building Isolation brochure*. Retrieved from www.mason-industries.com/masonind/_doc/pdf/ab104v2.pdf
- Olanrewaju, O., Okunribidoa, M. M., & Malcolm, P. (2006). Delivery drivers and low-back pain: A study of the exposures to posture demands, manual materials handling and whole-body vibration. *International Journal of Industrial Ergonomics, 36*, 265-273.
- Partnum. (2016). *Vibration Isolation Pads*. Retrieved from <http://www.partnum.info/enclosures-storage-amp-material-handling/levelling-amp-vibration-control/anti-vibration-pads-chips-amp-tape/fabcel-50-pad-150mm-x-150mm-x-8mm-thick-2311157-755-3772>
- Signhit. (2016). *Vibration Safety*. Retrieved from <http://signhit.com/wordpress/safety-guidelines/vibration-safety/>
- Tammy, E., & Alison, G. (2014). *Whole-body Vibration Exposure: What you need to know to prevent vibration induced injuries*. Retrieved from <https://www.workplacesafetynorth.ca/sites/default/files/resources/Whole-body%20Vibrations%20Exposure%20-%20Dr.%20Tammy%20Eger%20-%20CROSH.pdf>

TDL. (2016). *Butyl rubber frequency*. Retrieved from <https://books.google.co.th/books?id=tRaHBAAAQBAJ&pg=PA220&lpg=PA220&dq=%22butyl+rubber%2Bfrequency%22&source=bl&ots=fby363mwIy&sig=raWPgL12uutHQZrgN1lXiIu0D7w&hl=th&sa=X&ved=0ahUKEwj71fqr4zQAhUIu48KHbEGAsEQ6AEIIDAB#v=onepage&q=%22butyl%20rubber%2Bfrequency%20%22&f=false>

Wewers, M. E., & Lowe, N. K. (1990). A critical review of visual analogue scales in the measurement of clinical phenomena. *Research in Nursing and Health*, 13, 227-236.

ภาคผนวก

ภาคผนวก ก

รายนามผู้เชี่ยวชาญตรวจเครื่องมือ

รายงานผู้เขี่ยวน้ำตรวจเครื่องมือ

- | | |
|----------------------------|---|
| 1. รศ.ดร.อนามัย เทศกะทีก | ภาควิชาสุขศาสตร์อุตสาหกรรมและความปลอดภัย
คณะสาธารณสุขศาสตร์ มหาวิทยาลัยบูรพา |
| 2. รศ.ดร.นันทพร กัธรพุทธ | ภาควิชาสุขศาสตร์อุตสาหกรรมและความปลอดภัย
คณะสาธารณสุขศาสตร์ มหาวิทยาลัยบูรพา |
| 3. ดร.ธีรยุทธ เสنجิมศักดิ์ | ภาควิชาสุขศาสตร์อุตสาหกรรมและความปลอดภัย
คณะสาธารณสุขศาสตร์ มหาวิทยาลัยบูรพา |

ภาคผนวก ฯ
เครื่องมือที่ใช้ในการวิจัย

แบบสอบถาม

**เรื่อง ผลของเบาะรองนั่งเพื่อลดแรงสั่นสะเทือนในพนักงานขับรถติดตั้งตัวตอกเสาเข็มพีคระบบ
สั่นสะเทือน (THE EFFECTS OF SEAT CUSHION ON REDUCING VIBRATION AMONG
VIBRATORY HAMMER PILE DRIVERS)**

คำชี้แจง:

แบบสอบถามนี้จัดทำขึ้นเพื่อศึกษาผลเบาะรองนั่งเพื่อลดแรงสั่นสะเทือนในพนักงานขับรถติดตั้งตัวตอกเสาเข็มพีคระบบ ขอความกรุณาท่านตอบตามความเป็นจริง ผู้วิจัยขอรับรองว่าการตอบแบบสอบถามนี้จะไม่มีผลกระทบด้านลบต่อตัวท่านแต่อย่างใด

แบบสอบถามประกอบด้วย 3 ส่วน ดังต่อไปนี้

ส่วนที่ 1 ข้อมูลทั่วไปของผู้แบบสอบถาม

ส่วนที่ 2 ความรู้สึกปวดบริเวณหลังส่วนล่าง

ส่วนที่ 3 ความพึงพอใจต่อการใช้เบาะรองนั่งเพื่อลดแรงสั่นสะเทือน

ส่วนที่ 4 ข้อคิดเห็นของผู้ตอบแบบสอบถาม

เพื่อความครบถ้วนของข้อมูลอันจะนำไปสู่ประโยชน์สูงสุดของการศึกษา โปรดตรวจสอบความครบถ้วน ของการตอบทุกข้อ

ขอขอบพระคุณที่ให้ความร่วมมือ

สุภาวดี บุญจง

ส่วนที่ 1 ข้อมูลทั่วไปของผู้แบบสอบถาม

คำชี้แจง: โปรดเติมข้อความที่ตรงกับตัวท่านมากที่สุด ลงในช่องว่าง

1. อายุ.....ปีเดือน
 2. น้ำหนัก.....กก.
 3. ส่วนสูง.....เซนติเมตร
 4. ระยะเวลาในการปฏิบัติงานใน 1 วันจำนวน.....ชั่วโมง
 5. ระยะเวลาในการปฏิบัติงานต่อเนื่องที่ยาวนานที่สุดใน 1 วัน
 - จำนวน.....ชั่วโมง
 6. ประสบการณ์ในการขับรถติดตัวตอกเสาเข็มพีดีระบบสั่นสะเทือน.....ปี

ส่วนที่ 2 ความรู้สึกปวดหลังส่วนล่าง

คำชี้แจง: โปรดเติมเครื่องหมาย ✓ ลงในช่องว่างที่ตรงกับอาการที่ตรงกับร่างกายของท่านเพียงช่องเดียว

ข้อคำถาม											
		ถ้าท่านตอบเคยให้ระบุระดับความรุนแรงของอาการเพียงตัวเลขเดียว									
1	หลังส่วนล่าง	ไม่มีเลย			ปานกลาง				มากที่สุด		
		0	1	2	3	4	5	6	7	8	9

ส่วนที่ 3 ความพึงพอใจต่อการใช้เบารองนั่งเพื่อลดแรงสั่นสะเทือนทั้งร่างกาย

คำชี้แจง: โปรดเดิมเครื่องหมาย ✓ ลงในช่องว่างที่ตรงกับความรู้สึกของท่านมากที่สุด หลังจากได้ใช้เบารองนั่งเพื่อลดแรงสั่นสะเทือน

- 5 หมายถึง มีความพึงพอใจระดับ 高มากที่สุด
- 4 หมายถึง มีความพึงพอใจระดับ 高มาก
- 3 หมายถึง มีความพึงพอใจระดับ ปานกลาง
- 2 หมายถึง มีความพึงพอใจระดับ น้อย
- 1 หมายถึง มีความพึงพอใจระดับ น้อยที่สุด

ข้อคำถาม		5	4	3	2	1
1	ท่านมีความพึงพอใจต่อการใช้เบารองนั่ง					
2	ท่านคิดว่าเบารองนั่งมีขนาดเหมาะสมสมต่อการใช้งาน					
3	ท่านรู้สึกว่าเบารองนั่งไม่ห่วงการทำงานปกติของท่าน					
4	ท่านคิดว่าเบารองนั่งน่าใช้งาน					
5	เบารองนั่งสามารถลดความรู้สึกปวดหลังส่วนล่างได้					
6	ท่านคิดว่าการใช้เบารองนั่งจะทำให้ท่านปฏิบัติงานได้ดีกว่าเก่า					

ส่วนที่ 3 ข้อคิดเห็นของผู้ตอบแบบสอบถาม

.....

.....

.....

.....

.....



NSC-MSITS 17025
CALIBRATION 0142



No. 2559/321

DEPARTMENT OF SCIENCE SERVICE
MINISTRY OF SCIENCE AND TECHNOLOGY

CERTIFICATE OF CALIBRATION

FOR: VIBRATION METER (LAB No. L59/03369.1)
MODEL: VI-410
SERIAL No.: 21729 / SENSOR: 4146
MAKER: QUEST TECHNOLOGIES, INC.

TO
BURAPHA UNIVERSITY

DATE OF CALIBRATION: SEPTEMBER 13, 2016 EXPIRED DATE: -

REPORT OF CALIBRATION WITH OUR REF.No. 0307/10760 , SEPTEMBER 23 , 2016.

(MR.TEPWITTON THONGSRI)

ACTING DIRECTOR, PHYSICS AND ENGINEERING PROGRAM



No. 0307/ 10760

To Burapha University

The Department of Science Service presents the calibration report for "Vibration Meter" Laboratory No. L59/03369.1 as the total of 1 item with reference to the request No. L59/03369 dated June 30, 2016.

Enclosed herewith the following result avails for your acknowledgement.



Physics and Engineering Program
Tel 0 2201 7130
Fax 0 2201 7127
E-mail : physics@dss.go.th

Page 1/4

Scanned by CamScanner



DEPARTMENT OF SCIENCE SERVICE

NSC/MSI-TS 17025
CAL BEATION 0142

CALIBRATION REPORT

Customer's name	Burapha University
Customer's address	169 Long-Hard Bangsaen Road, Saen Sook Sub-district, Mueang District, Chonburi 20131
Equipment name	Vibration Meter
Manufacturer	Quest Technologies, Inc.
Model/Type	VI-410
Serial No.	21729 / Sensor: 4146
Range	2-50 m/s ² , 2-50 mm/s and 2-50 μm
Resolution	0.1 m/s ² , 0.1 mm/s and 0.1 μm respectively
Laboratory No.	L59/03369.1
Date of calibration	September 13, 2016
Place of calibration	Physics and Engineering Program, Department of Science Service
Environmental conditions	Temperature (23±3) °C, Relative Humidity (60±10)
Calibration method	In-house method CP.AV.CB.01 based on ISO 16063- 21:2003 at frequency of 160 Hz with using stud mounting technique
Traceability	The accelerometer type 8305 S of Department of Science Service has been traceable to National Institute of Metrology Thailand
Uncertainty of measurement	The reported expanded uncertainty is based on a standard uncertainty multiplied by a coverage factor k=2, providing a level of confidence of approximately 95%

W. Varyart

This report is only valid for the sample received. The above statement is not intended for advertising purposes and shall not be reproduced or shall not manifest partially without the written permission of the Department of Science Service.

Department of Science Service, Ministry of Science and Technology
Rama VI Road, Ratchathewi, Bangkok 10400, Thailand

Page 2/4

Department of Science Service

Laboratory No. L59/03369.1

Department of Science Service

Calibration Equipment

Apparatus	Certificate No	Traceable to	Calibration Date
B&K 8305 S Accelerometer	AV-0015-15	NIMT	July 7, 2015
B&K 2635 Charge Amplifier	AV-0013-15	NIMT	May 28, 2015
FLUKE PM6666 Programmable Timer/Coun	115-4001	Thai Airways International Public Co., Ltd.	May 10, 2015
FLUKE 89 IV True RMS Multimeter	115-3008	Thai Airways International Public Co., Ltd.	May 10, 2015
B&K 3560 Pulse Multi-analyzer System Factory Standard Calibration	BR 1622-11	B&K	N/A
B&K 2719 Power Amplifier Test of conformance	# 108	B&K	N/A
B&K 4808 Vibration Exciter Test of conformance	112	B&K	N/A
RUSKA 2456-LEM Laboratory Environment Monitor	2558/308	DSS	Sept 28, 2015

Remark: N/A is done by a performance check.

This report is only valid for the sample received. The above statement is not intended for advertising purposes and shall not be reproduced or shall not manifest partially without the written permission of the Department of Science Service.

Department of Science Service, Ministry of Science and Technology
Rama VI Road, Ratchathewi, Bangkok 10400, Thailand

Page 3/4

W. Variyat

Laboratory No. L59/03369.1

Calibration Result**Table 1: Displacement measured in the RMS Mode**

Nominal Value Displacement (μm)	Correction (μm)	Uncertainty \pm (μm)
2.00	-0.03	0.60
5.00	-0.03	0.60
10.0	0	1.3
20.0	0	1.3
50.0	-0.1	1.3

Table 2: Velocity measured in the RMS Mode

Nominal Value Velocity (mm/s)	Correction (mm/s)	Uncertainty \pm (mm/s)
2.00	-0.04	0.14
5.00	-0.04	0.14
10.0	0	0.14
20.0	0	1.3
50.0	-0.1	1.3

Table 3: Acceleration measured in the RMS Mode

Nominal Value Acceleration (m/s^2)	Correction (m/s^2)	Uncertainty \pm (m/s^2)
2.00	0	0.14
5.00	-0.02	0.14
10.0	0	0.14
20.0	0	1.3
50.0	-0.2	1.3

Remark: UUC was set for "Sensitivity" of 9.77 mV/ms² and "Calibration Factor of 0.2 DB

Approved by

Lmm
 (Mr.Boontham Limpiyapun)
 Scientist, Senior Professional Level

Reported by

w. Variyart
 (Ms. Weerachai Variyart)
 Scientist, Professional Level

This report is only valid for the sample received. The above statement is not intended for advertising purposes and shall not be reproduced or shall not manifest partially without the written permission of the Department of Science Service.

Department of Science Service, Ministry of Science and Technology
 Rama VI Road, Ratchathewi, Bangkok 10400, Thailand

Page 4/4

ภาคผนวก ค

ข้อมูลความพึงพอใจ แยกตามแต่ละด้าน

ข้อมูลความพึงพอใจ แยกตามแต่ละด้าน

คน ที่	WBV (m/s^2)			BMI	เพศ	ชั้นรัฐต่อหน้อง (น.ร.)	อายุงาน (ปี)	อายุครัวเรือน (ปี)	ความพึงพอใจ	
	ก่อน	หลัง	ลด(%)						คะแนน	ระดับ
1	0.600	0.269	55.17	26.08	อ้วน2	3	20	8	5	มากที่สุด
2	1.479	1.088	26.44	23.88	อ้วน1	5	30	20	3.5	ปานกลาง
3	0.853	0.399	53.22	23.88	อ้วน1	4	20	22	4.5	มาก
4	0.371	0.134	63.88	25.71	อ้วน2	6	2	4	4.3	มาก
5	0.105	0.004	96.19	22.04	ปกติ	4	5	2	3.7	ปานกลาง
6	0.667	0.329	50.67	22.77	ปกติ	4	3	6	3.7	ปานกลาง
7	0.943	0.423	55.14	29.38	อ้วน2	5	7	15	4	มาก
8	1.494	0.567	62.05	22.77	ปกติ	6	15	19	3.8	ปานกลาง
9	1.390	0.699	49.71	23.51	อ้วน1	5	27	15	3.8	ปานกลาง
10	3.174	1.025	67.71	23.88	อ้วน1	2	20	24	3.8	ปานกลาง
11	1.456	0.849	41.69	27.55	อ้วน2	6	14	20	4.3	มาก
12	3.065	1.090	64.44	29.38	อ้วน2	4	30	25	4.3	มาก
13	1.078	0.433	59.83	23.88	อ้วน1	6	3	9	5	มากที่สุด
14	2.176	0.690	68.29	22.77	ปกติ	5	12	17	3.5	ปานกลาง
15	3.087	1.003	67.51	27.18	อ้วน2	4	27	15	3.3	ปานกลาง